(12) ОПИСАНИЕ ИЗОБРЕТЕНИЯ К ЕВРАЗИЙСКОЙ ЗАЯВКЕ

- (43)Дата публикации заявки 2019.12.30
- Дата подачи заявки (22)2017.12.21

(51) Int. Cl. A61K 49/14 (2006.01) **A61K 51/08** (2006.01) **A61P 35/00** (2006.01) A61P 29/00 (2006.01)

(54) ВИЗУАЛИЗАЦИЯ ОПУХОЛЕВЫХ И ИММУННЫХ КЛЕТОК НА ОСНОВЕ ЭКСПРЕССИИ PD-L1

- (31) 62/438,575; 62/519,534
- (32) 2016.12.23; 2017.06.14
- (33) US
- (86)PCT/US2017/068025
- (87)WO 2018/119313 2018.06.28
- (71) Заявитель: дзе джонс хопкинс ЮНИВЕРСИТИ (US)
- (72) Изобретатель: Ниммагадда Сридхар, Помпер Мартин Г., Чаттерджи Самит, Лесняк Войцех Г. (US), Кумар Дхирадж (IN)
- (74) Представитель: Медведев В.Н. (RU)

(57) В качестве раскрываемого объекта изобретения предлагаются композиции, наборы и способы, включающие визуализирующие средства, которые позволяют осуществлять детекцию лиганда 1 белка программируемой смерти клеток (PD-L1). Раскрытые в настоящем изобретении визуализирующие средства могут применяться для детекции заболеваний и расстройств у субъекта, таких как рак, инфекция и воспаление.

ОПИСАНИЕ ИЗОБРЕТЕНИЯ

2420-557671EA/032

ВИЗУАЛИЗАЦИЯ ОПУХОЛЕВЫХ И ИММУННЫХ КЛЕТОК НА ОСНОВЕ ЭКСПРЕССИИ $\mathtt{PD-L1}$

ПЕРЕКРЕСТНАЯ ССЫЛКА НА РОДСТВЕННЫЕ ЗАЯВКИ

В этой заявке испрашивается приоритет предварительных заявок на патент США № 62/438575, зарегистрированной 23 декабря 2016 года, и № 62/519534, зарегистрированной 14 июня 2017 года, содержание которых включено в настоящее изобретение путем ссылок на них.

ИССЛЕДОВАНИЕ ИЛИ РАЗРАБОТКА, ФИНАНСИРУЕМАЯ ИЗ ФЕДЕРАЛЬНОГО БЮДЖЕТА

Это изобретение было создано при государственной поддержке в процессе проведения исследований по гранту NIH R01CA16631, который был предоставлен Национальным институтом здравоохранения США (NIH). Правительство обладает определенными правами на это изобретение.

УРОВЕНЬ ТЕХНИКИ

Молекулярная визуализация позволяет получать важную информацию о состоянии иммунного микроокружения опухоли И иммунотерапевтические подходы ДЛЯ повышения эффективности применения методов иммуномодуляции. Известно которые немногого средств визуализации, МОГУТ быстро предоставить информацию об объектах-мишенях иммуномодулирующей терапии.

Иммунотерапия, которая вовлекает собственную иммунную систему пациента в процесс уничтожения раковых клеток, играет центральную роль при лечении различных типов paka (Topalian et al., 2016). Несмотря на то, что уже достигнуты значительные терапевтические эффекты, многие типы рака не реагируют иммуномодулирующую терапию. Существующая сопутствующая диагностика, при которой используют методы иммуногистохимии (IHC), дает только моментальный снимок окружающей опухоль динамической иммунной позволяет и часто не среды ТОЧНО предсказать эффект лечение (Mansfield and Dong, 2016). Неинвазивные методы визуализации дают возможность получать

режиме реального времени количественную оценку биологической природы опухоли и проводить целенаправленную разработку лекарственных средств (Willmann et al., 2008).

Позитронно-эмиссионная томография (РЕТ), наиболее известный молекулярный и количественный метод трансляционной визуализации, периодически повторяющегося измерения общей применяется для экспрессии мишени во всех очагах поражения у данного пациента. Молекулярно нацеленные меченые вещества для использования в РЕТ, [¹⁸F] фторэстрадиол $(^{18}F-FES)$, такие как ДЛЯ обнаружения положительного по эстрогеновому рецептору (ЕR) рака молочной железы, позволяют предсказать результат лечения и выживаемость без прогрессирования заболевания (Peterson et al., 2008 и Linden еt al., 2006). Меченые вещества для использования в РЕТ, а также визуализирующие средства для других методов визуализации, включающих, НО MNTE не ограничивая, магнитно-резонансную (MRI), томографию флуоресцентную визуализацию, ближнюю инфракрасную (NIR) визуализацию, фотоакустическую визуализацию и рамановскую визуализацию, которые могут обеспечить быструю и в реальном режиме времени оценку экспрессии мишени, имеющей к иммуномодулирующей терапии, могли бы обеспечить отношение значительный положительный эффект при проводимых в настоящее время клинических испытаний.

Лиганд программируемой смерти клеток (PD-L1) белка представляет собой белок иммунной контрольной точки, сверхэкспрессирующийся при некоторых типах рака, способствует подавлению иммунитета опухоли. Экспрессия PD-L1 в опухоли служит признаком ответа опухоли на терапию, нацеленную на PD-1 и PD-L1. Было показано, что радиоактивно меченные антитела против PD-L1 могут быть использованы для неинвазивной оценки экспрессии PD-L1 в ксенотрансплантатах опухолей человека и на моделях сингенных опухолей (Heskamp et al., 2015; Maute et 2015; Chatterjee et al. al., 2016; Deng et al., Hettich et al., 2016; Josefsson et al., 2016). Несмотря на то, что конъюгаты радиоактивно меченых антител все чаще используются для визуализации опухолеспецифических белков, тем не менее, для увеличения контраста и выявления очага поражения требуется более

длительное время их выведения (до нескольких дней) (Pandit-Taskar et al., 2015; Oosting et al., 2016).

СУЩНОСТЬ ИЗОБРЕТЕНИЯ

В некоторых аспектах, в качестве раскрываемого объекта изобретения предлагается визуализирующее средство, включающее конъюгат пептида, обладающего специфичностью связывания лиганда 1 белка программируемой смерти клеток (PD-L1), и репортерный фрагмент, и, необязательно, линкер, где линкер, в случае его присутствия, соединяет пептид и репортерный фрагмент, и, в случае отсутствия линкера, репортерный фрагмент присоединен непосредственно к пептиду через первичный амин аминокислоты пептида. В других аспектах, репортерный фрагмент, например, непосредственно вводят в пептид, где репортерный фрагмент включает меченную радиоактивным изотопом аминокислоту пептида, такую как меченный радиоактивным изотопом йодтирозин или фтортирозин.

В конкретных аспектах, пептид, обладающий специфичностью связывания PD-L1, взаимодействует с аминокислотами Y56, E58, A113, M115 и Y123 лиганда 1 белка программируемой смерти клеток (PD-L1).

В некоторых аспектах, пептид представляет собой WL12, и визуализирующее средство представляет собой соединение, выбранное из группы, состоящей из формулы (I), формулы (II) и формулы (III):

DK-A-221- (L)_n-Rpt (II) или DK-A-222- (L)_n-Rpt (III);

где n представляет собой целое число, выбранное из группы, состоящей из 0 и 1; L представляет собой линкер; и Rpt представляет собой репортерный фрагмент; и rge репортерный

фрагмент или линкер, в случае его присутствия, присоединены к первичной аминогруппе аминокислоты пептида, включающего визуализирующее средство формулы (I), формулы (II) или формулы (III).

В конкретных аспектах, соединение формулы (I) представляет собой WL12 DOTA:

других аспектах, в качестве раскрываемого объекта В изобретения предлагается способ визуализации для детекции лиганда 1 белка программируемой смерти клеток (PD-L1), где включает: (а) обеспечение эффективного количества способ визуализирующего средства, включающего конъюгат пептида, обладающего специфичностью связывания лиганда программируемой смерти клеток (PD-L1), и репортерный фрагмент, и, необязательно, линкер, где линкер, в случае его присутствия, соединяет пептид и репортерный фрагмент, и, в случае отсутствия линкера, репортерный фрагмент присоединен непосредственно к пептиду через первичный амин аминокислоты пептида; (b) контактирование одной или более клеток или тканей визуализирующим средством; и (с) создание изображения для детекции PD-L1. В конкретных аспектах, визуализирующее средство представляет собой соединение формулы (I) или пептид, который взаимодействует с Y56, E58, A113, M115 и Y123 лиганда 1 белка программируемой смерти клеток (PD-L1).

В некоторых аспектах, раскрытые визуализирующие средства могут быть применены для детекции заболеваний и расстройств, таких как рак, инфекция и воспаление, у субъекта.

В еще одних аспектах, в качестве раскрываемого объекта изобретения предлагается набор реагентов для детекции лиганда 1

белка программируемой смерти клеток (PD-L1), где набор реагентов включает визуализирующее средство, включающее конъюгат пептида, обладающего специфичностью связывания лиганда 1 белка программируемой смерти клеток (PD-L1), и репортерный фрагмент, и, необязательно, линкер, где линкер, в случае его присутствия, соединяет пептид и репортерный фрагмент, и, в случае отсутствия линкера, репортерный фрагмент присоединен непосредственно к пептиду через первичный амин аминокислоты пептида.

Изложенные выше конкретные аспекты раскрытого объекта настоящего изобретения полностью или частично рассмотрены путем обсуждения раскрытого объекта настоящего изобретения, другие аспекты станут очевидными в процессе дальнейшего знакомства с описанием изобретения в сочетании с сопровождающими примерами и фигурами, описанными более подробно ниже.

КРАТКОЕ ОПИСАНИЕ ЧЕРТЕЖЕЙ

Поэтому, после описания раскрытого объекта настоящего изобретения в общих чертах, далее будут даны разъяснения относительно сопровождающих фигур, которые не обязательно изображены в масштабе.

фигуре 1А, фигуре 1В и фигуре 1С показано WL12 На фигуре PD-L1. На 1А приведено структурное WL12 его аналогов представление И И аминокислотная WI.12 последовательность (WL12 аминокислотная последовательность=цикло-(-Ac-Tyr-NMeAla-Asn-Pro-His-Leu-Hyp-Trp-Ser-Trp (метил) -NMeNle-NMeNle-Lys-Cys-) -Gly-NH2). 1В показан предполагаемый способ связывания WL12 с PD-L1. WL12 образует подобную бета-складчатому слою структуру в бороздке PD-L1. WL12 изображен в голубом цвете. Представление поверхности PD-L1 изображено в сером цвете, с ленточками и ключевыми боковыми цепями, изображенными в пурпурном цвете. И на фигуре 1С показано, что WL12 имитирует PD-1 связывание с PD-L1. Структура PD-1 изображена в бирюзовом цвете. Две главные взаимодействующие бета стяжей PD-1 хорошо совпадают с конформацией, принимаемой WL12, связанным с PD-L1.

На фигуре 2 приведен спектр кругового дихроизма в далекой ультрафиолетовой области для пептида WL12.

На фигуре 3 приведен масс-спектр WL в режиме электрораспылительной ионизации (ESI). Теоретическая химическая формула: $C_{91}H_{128}N_{22}O_{20}S_2$. Наблюдаемая величина m/z: 1882,7 - $(M+1)^{+1}$, 941,9 - $(M+2)^{+2}/2$. Рассчитанная величина: 1882,19.

На фигуре 4 показана очистка WL12D методом высокоэффективной жидкостной хроматографией с обращенной фазой (RP-HPLC).

На фигуре 5 приведен масс-спектр PDL1-PD в режиме низкого разрешения. Теоретическая химическая формула: $C_{91}H_{128}N_{22}O_{20}S_2$. Точная масса: 2339,14. Молекулярная масса: 2340,65. Наблюдаемая величина m/z: 2340,9 - $(M+1)^{+1}$, 1171,1 - $(M+2)^{+2}/2$ и 781,1 - $(M+2)^{+3}/3$.

На фигуре 6 показана очистка [PDL1-PD-Cu $^{2+}$] методом высокоэффективной жидкостной хроматографией с обращенной фазой (RP-HPLC).

На фитуре 7 приведен масс-спектр комплекса [PDL1-PD- ${\rm Cu}^{2+}$] в режиме низкого разрешения. Теоретическая химическая формула: ${\rm C}_{110}{\rm H}_{156}{\rm N}_{26}{\rm O}_{29}{\rm S}$. Точная масса: 2400,05. Молекулярная масса: 2402,18. Наблюдаемая величина m/z: 2402,6 - ${\rm (M+1)}^{+1}$, 1201,9 - ${\rm (M+2)}^{+2}$ /2.

На фигуре 8A, фигуре 8B и фигуре 8C показано $in\ vitro$ определение характеристики связывания PD-L1 с пептидом WL12. На фигуре 8A приведено результаты исследования конкурентного ингибирования, демонстрирующие аффинность аналогов WL12 при ингибировании взаимодействия PD-1:PD-L1. На фигуре 8B приведены гистограммы проточной цитометрии клеточных линий, используемых для $in\ vitro$ исследований, демонстрирующие переменную экспрессию PD-L1. И на фигуре 8C показано, что [64 Cu]W12 характеризуется повышенным связыванием с клетками с высокой экспрессией PD-L1, которая может быть блокирована избытком пептида (PEP).

На фигуре 9 показана характерная кривая PD-L1 связывания с PD-1; $K_D=69,66\pm11,65$ нМ (95% CI 44,82-94,48 нМ).

На фигуре 10 показана характерная кривая ингибирования PD- L1 связывания с PD-1 с комплексом WL12D-Cu $^{2+}$; IC $_{50}$ =2,97 нМ (95%

CI 2,17 - 40,5 μ M), $K_i=1,38$ μ M (95% CI 1,01-1,89 μ M).

На фигуре 11 приведены хроматограммы высокоэффективной жидкостной хроматографии с обращенной фазой (RP-HPLC) радиоизотопного индикатора [64 Cu]WL12 (красный цвет) и "холодного" комплекса WL12-Cu $^{2+}$.

На фигуре 12 приведены хроматограммы высокоэффективной жидкостной хроматографии с обращенной фазой (RP-HPLC) смеси PDL1-PD и [PDL1-PD-Cu $^{2+}$].

На фигуре 13 приведены средние значения интенсивности флуоресценции различных клеточных линий, используемых для исследования усвоения.

На фигуре 14 показана корреляция между средними значениями интенсивности флуоресценции (MFI) клеточной линии и %ID.

На фигуре 15A и фигуре 15B продемонстрирована быстрая in vivo детекция экспрессии PD-L1 в опухоли с помощью [64 Cu]WL12. NSG мышам с hPD-L1 опухолями (красная стрелка) и CHO опухолями (голубая стрелка) вводили внутривенно 150 мкКи [64 Cu]WL12, и через 10, 30, 60 и 120 минут после инъекции радиоизотопного индикатора получали изображения. На фигуре 15A приведены изображения поперечного сечения (наверху) и 3D объемного рендеринга (внизу), демонстрирующие специфическое накопление [64 Cu]WL12 в hPD-L1 опухолях. И на фигуре 15B показано, что PD-L1 IHC демонстрирует сильную иммунологическую реактивность (коричневый цвет) в hPD-L1 опухолях.

На фигуре 16 показано специфическое поглощение [64 Cu]WL12 в hPD-L1-опухолях у NSG мьшей. Характерное изображение NSG мьши, несущей hPD-L1 опухоль и CHO опухоль, которой инъецировали [64 Cu]WL12, через 24 часа после инъекции радиоизотопного индикатора, полученное с помощью позитронно-эмиссионной томографии - компьютерной томографии (PET-CT) с использованием метода объемного рендеринга. Повышенное поглощение в hPD-L1 (красная стрелка) опухоли по сравнению с CHO (голубая стрелка) опухолью подтверждает PD-L1 опосредованное поглощение

радиоизотопного индикатора.

На фигуре 17 приведены данные $ex\ vivo$ исследования биораспределения [64 Cu]WL12 у NSG мышей с hPD-L1 опухолями и CHO опухолями. NSG мышам вводили внутривенно 20 мкКи [64 Cu]WL12, и собирали ткани через 60 и 120 мин после введения. Для исследований блокирования, мыши получали избыток пептида (рер) с инъекцией радиоизотопного индикатора.

На фигуре 18A, фигуре 18B и фигуре 18C показано: (фигура 18A) структура конъюгата Wl12-IR800CW (химическая формула: $C_{137}H_{177}N_{24}O_{34}$, молекулярная масса: 2864,34), (фигура 18B) хроматограмма высокоэффективной жидкостной хроматографии (HPLC) WL12-IR800CW со спектром в ультрафиолетовой и видимой области (UV-Vis), зарегистрированным под пиком (обозначено стрелкой), указывающие на конъюгацию красителя с пептидом; и (фигура 18C) ESI-MS масс-спектр конъюгата WL12-IR800CW, коррелирующий с ожидаемой молекулярной массой.

На фигуре 19A, фигуре 19B и фигуре 19C показана оценка WL12-IR800CW у мышей, несущих CHO и hPDL1 опухоли: (фигура 19A) характерные изображения мыши, которой инъецировали 5 нмоль WL12-IR800CW, и ex vivo органов, зарегистрированные через 24 часа после инъекции конъюгата, (фигура 19B, блокирование) характерные изображения мыши, которой инъецировали 25 нмоль немодифицированного WL12 и 5 нмоль WL12-IR800CW, полученные через 24 часа после инъекции (pi); и (фигура 19C) количественная ex vivo оценка биораспределения WL12-IR800CW в выбранных органах и опухолях, полученных у мышей, подвергнутых обработке с помощью 1 нмоль, 3 нмоль и 5 нмоль конъюгата и блокированию с помощью WL12 (цифра обозначает соответствующие органы, n=4).

На фигуре 20A, фигуре 20B, фигуре 2°C и фигуре 20D показано, что поглощение [111 In]атезолизумаба в ксенотрансплантатах немелкоклеточного рака легкого (NSCLC) и трижды негативного рака молочной железы (TNBC) человека совершенно не зависит от экспрессии. (A) Анализ методом проточной цитометрии различных клеточных линий TNBC и NSCLC, показывающий изменяющуюся экспрессию PD-L1; (B) связывание [111 In]AtzMab с линиями раковых

клеток зависит от экспрессии PD-L1; (C) повышенное поглощение $[^{111}{\rm In}]{\rm AtzMab}$ в ксенотрансплантатах PD-L1high MDAMB231 TNBC по сравнению с PD-L1low SUM149; и (D) повышенное поглощение $[^{111}{\rm In}]{\rm AtzMab}$ в ксенотрансплантатах PD-L1high H2444 NSCLC по сравнению с PD-L1low H1155. Показана соответствующая гистология. Из публикации Chatterjee, et al., Oncotarget, 2016.

На фигуре 21A, фигуре 21B, фигуре 21C и фигуре 21D показано, что $[^{64}Cu]WL12-PET$ позволяет осуществлять детекцию накопления AtzMab в опухолях. (A) Изображение [64 Cu] WL12 во всем теле указывает на специфическое накопление радиоактивности на hPD-L1 опухолях через 60 минут после инъекции (р.i.); поглощение [64Cu]WL12 значительно снижается в hPD-L1 опухолях у мьшей, получающих дозу AtzMab 20 мг/кг за 24 часа до инъекции радиоизотопного индикатора; (С) соответствующие исследования биораспределения, подтверждающие потенциальную возможность применения [64Cu]WL12 для детекции взаимодействия AtzMab PD-L1 в опухолях; и (D) WL12 ингибирует связывание AtzMab с PD-L1. Клетки hPD-L1, инкубированные с последовательными разведениями окрашивали с помощью Cy5-AtzMab WL12, ИЛИ С помощью BDBD-MIH1-PE. производимого йомдиф антитела Графическая зависимость средней величины интенсивности флуоресценции (MFI) относительно концентрации пептида дает величину IC_{50} , равную 2,5 нМ и 37,8 нМ для Cy5-AtzMab и BD-MIH1-PE, соответственно.

На фигуре 22 показано, что [64Cu]WL12-PET позволяет осуществлять детекцию накопления AtzMab в ксенотрансплантатах трижды негативного рака молочной железы. Поглощение [64Cu]WL12 значительно снижается в опухолях MDAMB231 у мышей, получающих дозу AtzMab 20 мг/кг за 24 часа до инъекции радиоизотопного индикатора.

На фигуре 23A, фигуре 23B и фигуре 23C представлены (A) структура конъюгата W112-IR800 (химическая формула: $C_{137}H_{177}N_{24}O_{34}$, молекулярная масса: 2864,34); (B) хроматограмма высокоэффективной жидкостной хроматографии (HPLC) WL12-IR800 со спектром в ультрафиолетовой и видимой области (UV-Vis), зарегистрированным под пиком (обозначено стрелкой), указывающие на конъюгацию красителя с пептидом; и (C) ESI-MS масс-спектр

конъюгата WL12-IR800, коррелирующий с ожидаемой молекулярной массой.

На фигуре 24A, фигуре 24B и фигуре 24C показана оценка WL12-IR800 у мышей, несущих CHO и hPDL1 опухоли: (A) характерные изображения мыши, которой инъецировали 5 нмоль WL12-IR800, и ех vivo органов, зарегистрированные через 24 часа после инъекции конъюгата; (B, блокирование) характерные изображения мыши, которой инъецировали 25 нмоль немодифицированного WL12 и 5 нмоль WL12-IR800, полученные через 24 часа после инъекции (pi); и (C) количественная ех vivo оценка биораспределения WL12-IR800 в выбранных органах и опухолях, полученных у мышей, подвергнутых обработке с помощью 1 нмоль, 3 нмоль и 5 нмоль конъюгата и блокированию с помощью WL12 (цифра обозначает соответствующие органы, n=4).

На фигуре 25A и фигуре 25B приведена оценка [68Ga]WL12 в моделях CHO и CHO-hPDL1 опухолей: (A) изображения, полученные с помощью позитронно-эмиссионной томографии - компьютерной (PET-CT) использованием метода томографии С объемного рендеринга, поглощения $[^{68}Ga]WL12$ в CHO-hPD-L1 (красная стрелка, высокая экспрессия PD-L1) и в СНО (черная стрелка, низкая (n=3) подтверждают экспрессия PD-L1) ОПУХОЛЯХ опосредованное поглощение радиоизотопного индикатора; и (В) ех vivo анализ биораспределения через 1 час после инъекции [68Ga]WL12 в той же самой модели опухоли. В группах с блокирующей дозой совместно инъецировали 50 микрограмм охлажденного пептида.

На фитуре 26 приведена оценка [18 F]WL12 в моделях СНО и СНО-hPDL1 опухолей. (А) изображения, полученные с помощью позитронно-эмиссионной томографии – компьютерной томографии (PET-CT) с использованием метода объемного рендеринга, поглощения [18 F]WL12 в СНО-hPD-L1 (красная стрелка, высокая экспрессия PD-L1) и СНО (голубая стрелка, низкая экспрессия PD-L1) опухолях ($^{n=3}$) подтверждают PD-L1 опосредованное поглощение радиоизотопного индикатора.

На фигуре 27 представлены данные для мышей с MDAMB231 и SUM149 опухолями, которым инъецировали атезолизумаб в дозе 20 мг/кг. Через двадцать часов после дозирования mAb, мышам

инъецировали 20 мкКи [64 Cu]WL12, и проводили исследования по биораспределению через 24 часа после инъекции радиоизотопного индикатора. Данные показывают, что связывание атезолизумаба с PD-L1 в опухолях может быть количественно измерено с помощью [64 Cu]WL12.

На фигуре 28 показано определение дозозависимой занятости PD-L1 для терапевтического антитела атезолизумаба против PD-L1. Мышам с опухолью молочной железы MDAB231 инъецировали в различных дозах атезолизумаб, и через 24 часа мышам инъецировали $[^{64}\text{Cu}]\text{WL}12$, и проводили исследование биораспределения через 2 часа после инъекции радиоизотопного индикатора. Данные показывают, что накопление $[^{64}\text{Cu}]\text{WL}12$ в опухолях снижается с увеличением дозы антитела.

На фигуре 29 приведены изменения в зависимости от времени и занятость PD-L1 атезолизумабом, измеренные с $[^{64}Cu]WL12$. Мышам, несущим опухоль MDAMB231, вводили атезолизумаб в дозе 1 мг/кг или 10 мг/кг. Через 24 или 120 часов после дозирования mAb, мышам инъецировали [64Cu]WL12, и измеряли накопление радиоактивности В опухоли путем проведения исследований по биораспределению. Как и ожидалось, при дозе 10 мг/кг наблюдалась полное блокирование PD-L1 как через 24 часа, так и через 120 часов. В то время как при дозе 1 мг/кг, повышенное накопление $[^{64}Cu]WL12$ можно наблюдать через 120 часов, но не после 24 часов, что позволяет сделать предположение о атезолизумаба из опухоли с течением времени при использовании низких доз mAb. Эти данные дают основания что использование предположить, раскрытых В настоящем изобретении пептидов позволяет анализировать терапевтическое время удерживания mAb в PD-L1 опухоли.

На фигуре 30 приведены химические структуры DK-A-221 и DK-A-222.

На фигуре 31A и фигуре 31B приведены данные, относящиеся к PD-L1 связывающему пептиду DK222. NOTA конъюгированный DK222 синтезировали и оценивали на мышах, несущих CHO/CHO-HPD-L1 опухоли. Изображения (A) и данные по биораспределению (B) демонстрируют исключительно высокие фармакокинетические свойства

[64Cu]DK222.

На фигуре 32 представлено биораспределение [64 Cu] DK222 у NSG мьшей, несущих CHO/CHO-hPD-L1 опухоли.

На фигуре 33A, фигуре 33B и фигуре 33C показано, что WL12 ингибирует взаимодействие между PD-1 и PD-L1 терапевтическими средствами in vitro. На фигуре 33А показано, что связывания WL12 с PD-L1 (зеленый и бирюзовый цвет) накладывается на режим связывания PD-1 с AtzMab (красный и бирюзовый цвет), с AveMab (оранжевый и бирюзовый цвет) и с DurMab (голубой и бирюзовый цвет). Невзаимодействующие остатки показаны Разнообразие контактов, охватывающих совместно используемую область связывания (бирюзовый цвет), иллюстрирует многообразие механизмов связывания различных терапевтических 33В показано, что фигуре WL12 ингибирует Су5конъюгированный-AtzMab, AveMab и DurMab в отношении PD-L1, что продемонстрировано путем исследования конкурентного ингибирования. Средние величины интенсивности флуоресценции определяли методом проточной цитометрии. На фигуре 33С показано, что [⁶⁴Cu]WL12 связывание с PD-L1-положительными HCC827, H226, hPD-L1 и MDAMB231 клетками ингибируется в присутствии 60 нМ AtzMab, AveMab и DurMab, при сравнении PBS контролем. Также продемонстрировано [64Cu]WL12 связывание в PD-L1-негативными СНО ****, P < 0,0001; NS, статистически SUM149 клетками. незначимо.

На фигуре 34А представлена поверхность молекулы, окружающая поверхность взаимодействия PD-L1 c PD-1. Общие принимающие участие во взаимодействиях с PD-1 конкурирующими терапевтическими средствами, изображены бирюзовым молекулярные контакты, специфические для PD-1 взаимодействий, показаны пурпурным цветом, и невзаимодействующие остатки показаны серым цветом. Для иллюстрации наложения при молекулярном взаимодействии, структура связанного PD-1изображена пурпурным цветом, а предсказанная конформация WL12 изображена серым цветом.

На фигуре 34В показано, что WL12 ингибирует связывание Су5конъюгированного PD-1-Fc белка с PD-L1 в hPD-L1 клетках. Средние величины интенсивности флуоресценции определяли методом проточной цитометрии.

На фигуре 35С показано, что WL12 (5 нМ) ингибирует связывание Cy5-конъгированного-AtzMab, AveMab и DurMab (2 нМ) с PD-L1 в НСС827 и H226 клетках. Средние величины интенсивности флуоресценции определяли методом проточной цитометрии, и на фигуре 35D приведены средние величины интенсивности флуоресценции, определенные методом проточной цитометрии, из фигуры 34В и фигуры 35С.

На фигуре 35A, фигуре 35B, фигуре 35C, фигуре 35D, фигуре 35E, фигуре 35F, фигуре 35G, фигуре 35H и фигуре продемонстрировано, что PD-L1 захват с помощью PD-L1 mAbs количественно оценивается в опухоли с использованием [64Cu]WL12 в ксенотрансплантатах с переменной экспрессией PD-L1. На фигурах 35A-35H показано пониженное поглощение [64 Cu]WL12 в H226 (фигура 35A, фигура 35B), HCC827 (фигура 35C, фигура 35D) и hPD-L1/CHO 35G, 35Н) ксенотрансплантатах (фигура фигура подвергнутых обработке с помощью 20 мг/кг AtzMab за 24 часа до инъекции радиоизотопного индикатора, по сравнении с контролями, подвергнутыми обработке с помощью физиологического раствора. Изображения $[^{64}Cu]WL12$, полученные с помощью позитронноэмиссионной томографии - компьютерной томографии (PET-CT) с использованием метода объемного рендеринга (фигура 35А, фигура 35D, фигура 35G) и ех vivo биораспределение (фигура 35B, фигура 35Е, фигура 35Н). На фигуре 35С, фигуре 35F и фигуре 35I показано иммуногистохимическое (IHC) окрашивание для PD-L1, которое показано для соответствующей опухоли ****, P < 0,0001; ***, P < 0,001; NS, статистически незначимо.

На фигуре 36A, фигуре 36B, фигуре 36C и фигуре 36D представлена экспрессия PD-L1 в различных клеточных линиях и соответствующие средние величины интенсивности флуоресценции. На фигуре 36B, фигуре 36C и фигуре 36D приведено Ex vivo биораспределение [64 Cu]WL12 у мышей, несущих H226 (B), HCC827 (C) или hPD-L1/CHO (D) опухоли, которые получали дозу AtzMab 20 мг/кг за 24 часа до инъекции радиоизотопного индикатора.

Приведенные данные представляют собой среднее значение \pm стандартная ошибка среднего значения. ****, P<0,0001; ***, P<0,001; NS, статистически незначимо.

На фигуре 37А, фигуре 37В, фигуре 37С, фигуре 37D, фигуре 37E фигуре 37F продемонстрированы динамические изменения экспрессии PD-L1 в опухоли и его взаимодействие при воздействии AtzMab, при детекции с использованием [64Cu]WL12. На фигуре 37A показана повышенная экспрессия PD-L1 на поверхности клетки в случае клеток A549-iPDL1, подвергнутых обработке с помощью доксициклина в течение 6 часов и 72 часов. Гистограмма проточной цитометрии. На фигуре 37B показано, что WL12 ингибирует (5 нМ) связывание Cy5-conjugated-AtzMab, AveMab и DurMab (2 нМ) с клетками A549-iPD-L1, подвергнутыми обработке помощью доксициклина в течение 72 h. На фигуре 37С показано, $[^{64}Cu]WL12$ связывание с клетками A549-iPDL1 (72 часа доксициклин) значимо снижается в присутствии 60 нМ AtzMab, по сравнению с контролями. На фигуре 37D и фигуре 37E показано, что поглощение [64Cu]WL12 в ксенотрансплантатах A549-iPDL1 значимо меньше у мышей, которым вводят внутривенно AtzMab за 24 часа до инъекции радиоизотопного индикатора, по сравнению с контролями, которым вводят физиологический раствор, И аналогично ксенотрансплантатам А549. Изображения всего тела, полученные с помощью позитронно-эмиссионной томографии - компьютерной томографии (РЕТ-СТ) с использованием метода объемного рендеринга (D), и ex vivo количественная оценка (фигура 37E). На фигуре 37F показано иммуногистохимическое (IHC) окрашивание для PD-L1 в соответствующей опухоли. ****, P < 0,0001; NS, статистически не значимо.

На фигуре 38 показано $ex\ vivo$ биораспределение [64Cu]WL12 у мьшей, несущих A549-iPDL1 и A549 контрольную опухоль, которым вводили доксициклин в течение 72 часов и подвергали обработке с помощью 20 мг/кг AtzMab за 24 часа до инъекции радиоизотопного индикатора. ****, P<0,0001; NS, статистически незначимо.

На фигуре 39A, фигуре 39B, фигуре 39C, фигуре 39D, фигуре 39E, фигуре 39F продемонстрировано взаимодействие PD-L1 опухоли

в результате воздействия трех различных PD-L1 терапевтических mAbs, количественно оцениваемое с использованием [64Cu]WL12. Фигура 39A - фигура 39E. Поглощение [64Cu]WL12 ксенотрансплантате МDAMB231 значимо снижается У мышей, получающих AtzMab (20 мг/кг), AveMab (10 мг/кг) или DurMab (10 мг/кг) за 24 часа до инъекции радиоизотопного индикатора. Изображения всего тела мышей, полученные с помощью позитронноэмиссионной томографии - компьютерной томографии (РЕТ-СТ) с использованием $[^{64}Cu]WL12$ и метода объемного рендеринга, которые подвергались обработке с помощью физиологического раствора (фигура 39A), AtzMab (фигура 39B), AveMab (фигура 39C), DurMab (фигура 39D), и ex vivo биораспределение (фигура 39E)). На фигуре 39F показано иммуногистохимическое (IHC) окрашивание для PD-L1 в соответствующей опухоли.****, P < 0,0001; NS, статистически незначимо.

На фигуре 40 показано $ex\ vivo$ биораспределение [64Cu]WL12 у мышей, несущих опухоль MDAMB231, которые были подвергнуты обработке с помощью AtzMab (20мг/кг), AveMab (10 мг/кг) или DurMab (10 мг/кг) за 24 часа до инъекции радиоизотопного индикатора. ****, P<0,0001; NS, статистически не значимо.

На фигуре 41A, фигуре 41B, фигуре 41C, фигуре 41D и фигуре продемонстрировано влияние дозы и времени на занятость опухоли PD-L1 в результате воздействия AtzMab, количественно [⁶⁴Cu]WL12. Ha оцениваемое с помощью фигуре 41A зависимость доза-воздействие, отображающая уменьшение свободных лигандов PD-L1 у мышей с опухолями MDA-MB-231 при увеличении дозы AtzMab (мг/кг). Изображения всего тела мышей, полученные с помощью позитронно-эмиссионной томографии - компьютерной томографии (PET-CT) с использованием [64Cu]WL12, несущих опухоль MDAMB231, которые получали 0,06 мг/кг, 0,6 мг/кг и 3,2 мг/кг AtzMab (фигура 41A). На фигуре 41B и фигуре 41C показана ех vivo количественная оценка поглощения [64Cu]WL12 в опухолях мышей, подвергнутых обработке с помощью возрастающих доз AtzMab (от 0,0009 до 24 мг/кг). AtzMab инъецировали за 24 часа до инъекции радиоизотопного индикатора (фигура 41В). Процент свободного лиганда PD-L1 рассчитывали относительно медианы величины

свободных лигандов PD-L1, измеренной при 0 мг/кг (фигура 41C). Голубые незакрашенные кружки: измеренные свободные лиганды PD-L1 для каждого уровня дозы у мышей. Красная пунктирная линия: средняя предсказанная на основе модели зависимость доза-эффект. На фигуре 41D и фигуре 41E показано воздействие дозы AtzMab (мг/кг) на занятость опухоли PD-L1 в течение времени, которая характеризуется увеличением свободных лигандов PD-L1 при дозе AtzMab 0,6 или 1 мг/кг, но не при дозе AtzMab 10 или 20 мг/кг, что повторяет нелинейную кинетику для mAb. Изображения всего мышей, ПОМОЩЬЮ позитронно-эмиссионной полученные С томографии - компьютерной томографии (РЕТ-СТ) с использованием $[^{64}Cu]WL12$ (D) и ex vivo биораспределение (E). ****, P < 0,0001; NS, статистически не значимо.

На фигуре 42 показано $ex\ vivo$ биораспределение [64 Cu]WL12 у мьшей, несущих опухоль MDAMB231, при увеличении дозы AtzMab (от 0,0009 до 12 мг/кг) за 24 часа до инъекции радиоизотопного индикатора.

На фигуре 43 показаны структурное представление DK-A-221 и DK-A-222 и их аналогов, и аминокислотная последовательность DK-A-221 (аминокислотная последовательность DK-A-221=цикло-(-Ac-Tyr-NMeAla-Asn-Pro-His-Glu-Hyp-Trp-Ser-Trp(карбоксиметил)- NMeNle-NMeNle-Lys-Cys-)-Gly-NH2).

Этот патент или комплект материалов заявки содержит, по меньшей мере, один чертеж, выполненный в цвете. Копии этого патента или публикация патентной заявки с цветными чертежами будут предоставлены патентным ведомством после запроса и проведения необходимой оплаты.

ПОДРОБНОЕ ОПИСАНИЕ ИЗОБРЕТЕНИЯ

Раскрытый объект настоящего изобретения далее будет описан более подробно в сочетании с сопровождающими фигурами, которых представлены некоторые, все, НΟ не варианты осуществления раскрытого объекта настоящего изобретения. протяжении всего описания изобретения, одни и те же тем элементам. Раскрытый относятся к ОДНИМ И же объект настоящего изобретения может быть осуществлен во МНОГИХ различных формах, и его не следует толковать таким образом, что

ограничивается изложенными в изобретении вариантами ОН осуществления; напротив, эти варианты осуществления представлены раскрытие удовлетворяло бы чтобы это требованиям законодательства. В действительности, специалист в области техники, к которой относится раскрытый объект настоящего изобретения, после ознакомления с описанными выше идеями и относящимся к ним фигурам, может предложить много модификаций и других вариантов осуществления раскрытого объекта настоящего изобретения. Поэтому, следует иметь в виду, что раскрытый объект настоящего изобретения никоим образом не ограничивается конкретными раскрытыми вариантами осуществления, подразумевается, что модификации и другие варианты осуществления входят в объем прилагаемой формулы изобретения.

І. КОМПОЗИЦИИ, СОДЕРЖАЩИЕ ВИЗУАЛИЗИРУЮЩИЕ СРЕДСТВА

В некоторых вариантах осуществления, в качестве раскрываемого объекта изобретения предлагаются высокоспецифические визуализирующие средства для позитронэмиссионной томографии (РЕТ) на основе пептида для детекции белка иммунной контрольной точки, такого как PD-L1. Эти визуализирующие средства могут применяться, в частности, для детекции экспрессии PD-L1 опухоли и вскоре после введения их субъекту.

Соответственно, в некоторых вариантах осуществления, раскрываемого объекта изобретения предлагается визуализирующее средство, включающее конъюгат пептида, обладающего специфичностью связывания лиганда белка программируемой смерти клеток (PD-L1), и репортерный фрагмент, и, необязательно, линкер, где линкер, в случае его присутствия, соединяет пептид и репортерный фрагмент, и, в случае отсутствия линкера, репортерный фрагмент присоединен непосредственно к пептиду через первичный амин аминокислоты пептида. В других осуществления, например, репортерный непосредственно вводят в пептид, где репортерный фрагмент включает меченую радиоактивным изотопом аминокислоту пептида, меченые радиоактивным изотопом йодтирозин такую как . нигодитдотф

В некоторых вариантах осуществления, пептид, обладающий специфичностью связывания лиганда 1 белка программируемой смерти клеток (PD-L1), может взаимодействовать с четырьмя конкретными аминокислотами лиганда 1 белка программируемой смерти клеток (PD-L1). В конкретных вариантах осуществления, пептид может взаимодействовать с аминокислотами Y56, E58, D61 и A113 лиганда 1 белка программируемой смерти клеток (PD-L1). В некоторых вариантах осуществления, пептид, обладающий специфичностью связывания PD-L1, может взаимодействовать с пятью конкретными аминокислотами лиганда 1 белка программируемой смерти клеток (PD-L1). В конкретных вариантах осуществления, пептид может взаимодействовать с аминокислоты Y56, E58, A113, M115 и Y123 белка программируемой смерти клеток (PD-L1). лиганда вариантах осуществления, пептид, взаимодействует с PD-L1, представляет собой пептид WL12. Пептид WL12 может иметь аминокислотную последовательность цикло-(-Ac-Tyr-NMeAla-Asn-Pro-His-Leu-Hyp-Trp-Ser-Trp (метил) -NMeNle-NMeNle-Lys-Cys-)-Gly-NH2 (SEQ ID NO.:1). В некоторых вариантах осуществления, WL12 может взаимодействовать с четырьмя аминокислотами лиганда 1 белка программируемой смерти клеток (PD-L1). В конкретных вариантах осуществления, WL12 может взаимодействовать с аминокислотами Y56, E58, D61 и A113 лиганда 1 белка программируемой смерти клеток (PD-L1). В некоторых вариантах осуществления, WL12 может взаимодействовать с пятью аминокислотами лиганда 1 белка программируемой смерти клеток конкретных вариантах осуществления, WL12взаимодействовать с аминокислотами Y56, E58, A113, M115 и Y123 лиганда 1 белка программируемой смерти клеток (PD-L1). В других вариантах осуществления, пептид, который взаимодействует с PD-L1, представляет собой DK-A-221. Пептид DK-A-221 может иметь аминокислотную последовательность цикло-(-Ac-Tyr-NMeAla-Asn-Pro-His-Glu-Hyp-Trp-Ser-Trp (Карбоксиметил) -NMeNle-NMeNle-Lys-Cys-) -Gly-NH2 (SEQ ID NO.: 2). В некоторых вариантах осуществления, DK-A-221 может взаимодействовать с четырьмя аминокислотами лиганда 1 белка программируемой смерти клеток (PD-L1). вариантах осуществления, DK-A-221 конкретных

взаимодействовать с аминокислотами Y56, E58, D61 и A113 лиганда 1 белка программируемой смерти клеток (PD-L1). В некоторых вариантах осуществления, DK-A-221 может взаимодействовать пятью аминокислотами лиганда 1 белка программируемой смерти клеток (PD-L1). В конкретных вариантах осуществления, DK-A-221 может взаимодействовать с аминокислоты Y56, E58, A113, M115 и Y123 лиганда 1 белка программируемой смерти клеток (PD-L1). В других вариантах осуществления, пептид, который взаимодействует с PD-L1, представляет собой DK-A-222. В некоторых вариантах осуществления, DK-A-222 может взаимодействовать с четырьмя аминокислотами лиганда 1 белка программируемой смерти клеток (PD-L1). В конкретных вариантах осуществления, DK-A-222 может взаимодействовать с аминокислотами Y56, E58, D61 и A113 лиганда белка программируемой смерти клеток (PD-L1). В некоторых вариантах осуществления, DK-A-222 может взаимодействовать пятью аминокислотами лиганда 1 белка программируемой смерти клеток (PD-L1). В конкретных вариантах осуществления, DK-A-222 может взаимодействовать с аминокислотами Y56, E58, A113, M115 и Y123 лиганда 1 белка программируемой смерти клеток (PD-L1).

В некоторых вариантах осуществления, пептид, обладающий специфичностью связывания PD-L1, может иметь последовательность, которая, по меньшей мере, на 80% идентична последовательности SEQ ID NO.: 1. Пептид, обладающий специфичностью связывания PD-L1, может иметь последовательность, которая, по меньшей мере, на последовательности SEQ ID NO.: идентична 2. обладающий специфичностью связывания PD-L1, төжом последовательность, которая, по меньшей мере, на 85% идентична 1. Пептид, обладающий последовательности SEQ ID NO.: специфичностью связывания PD-L1, может иметь последовательность, которая, по меньшей мере, на 85% идентична последовательности SEQ ID NO.: 2. Пептид, обладающий специфичностью связывания PD-L1, может иметь последовательность, которая, по меньшей мере, на идентична последовательности SEO ID NO.: Пептид, обладающий специфичностью связывания PD-L1, тэжом последовательность, которая, по меньшей мере, на 90% идентична последовательности SEQ ID NO.: 2. Пептид, обладающий

специфичностью связывания PD-L1, может иметь последовательность, которая, по меньшей мере, на 95% идентична последовательности SEQ ID NO.: 1. Пептид, обладающий специфичностью связывания PD-L1, может иметь последовательность, которая, по меньшей мере, на 95% идентична последовательности SEQ ID NO.: 2. Пептид, обладающий специфичностью связывания PD-L1, может иметь последовательность, которая на 100% идентична последовательности SEQ ID NO.: 1. Пептид, обладающий специфичностью связывания PD-L1, может иметь последовательность, которая на 100% идентична последовательности SEQ ID NO.: 2.

Общепринятый термин "процент идентичности" относится СХОДСТВУ между двумя ИЛИ более полипептидными последовательностями или двумя или более полинуклеотидными последовательностями, определяемому путем последовательностей. В науке, "идентичность" также означает степень родства последовательностей между полипептидными или полинуклеотидными последовательностями, В зависимости ОТ конкретного случая, которую определяют путем нахождения соответствия между стяжами таких последовательностей. "Идентичность" и "сходство" могут быть легко рассчитаны известными методами, включающими, но этим не ограничивая, методы, описанные в следующих монографиях: Computational Molecular Biology (Lesk, A. M., ed.) Oxford University Press, New York (1988); Biocomputing: Informatics and Genome Projects (Smith, D. W., ed.) Academic Press, New York (1993); Computer Analysis of Sequence Data, Part I (Griffin, A. M., and Griffin, H. G., eds.) Humana Press, New Jersey (1994); Sequence Analysis in Molecular Biology (von Heinje, G., ed.) Academic Press (1987); and Sequence Analysis Primer (Gribskov, M. and Devereux, J., eds.) Stockton Press, New York (1991). Предпочтительные метолы определения идентичности позволяют для достигать наилучшего совпадения между исследуемыми последовательностями. Методы для определения идентичности и сходства адаптированы для форме общедоступных компьютерных использования В программ. Выравнивание последовательностей и расчеты процента идентичности могут быть осуществлены с использованием программы MegaLign из

пакета программ для биоинформационных вычислений LASERGENE (DNASTAR Inc., Madison, Wis.). Множественное выравнивание последовательностей может быть проведено с использованием метода выравнивания Clustal (Higgins and Sharp (1989) *CABIOS*. 5:151-153) с параметрами, принимающими значение по умолчанию, включая параметры по умолчанию для парных выравниваний.

Используемые в изобретении термины "аминокислота" и "остаток" являются взаимозаменяемыми и, применительно к пептиду или полипептиду, относятся как к природным, так и к синтетическим аминокислотам, а также к аналогам аминокислот, миметикам аминокислот и к неприродным аминокислотам, которые с химической точки зрения аналогичны природным аминокислотам.

Термины "природная аминокислота" и "кодируемая в природе аминокислота" используются взаимозаменяемо и относятся к аминокислоте, которая кодируется генетическим кодом, а также к тем аминокислотам, которые кодируются генетическим кодом и которые модифицируют после синтеза, например, гидроксипролин, γ -карбоксиглутамат и О-фосфосерин.

"Аналог аминокислоты" представляет собой соединение, которое имеет такую же базовую химическую структуру, что и природная аминокислота, то есть, α -углерод, который соединен с водородом, карбоксильной группой, аминогруппой и группой R, например, гомосерином, норлейцином, метионинсульфоксидом или Такие аналоги метионинметилсульфонием. могут иметь (например, норлейцин) модифицированные группы R ИЛИ модифицированные пептидные остовы, но будут сохранять ту же базовую химическую структуру, что самую И природная аминокислота.

Термины "неприродная аминокислота" и "некодируемая в природе аминокислота" используются взаимозаменяемо и относятся к соединению, которое имеет такую же базовую химическую структуру, что и природная аминокислота, но оно не встроено в растущую полипептидную цепь с помощью комплекса трансляции. "Неприродная аминокислота" также включает, но этим не ограничивая, аминокислоты, которые образуются в результате модификации

(например, посттрансляционных модификаций) кодируемой в природе аминокислоты (включающей, но этим не ограничивая, 20 стандартных аминокислот), но они сами не встроены в природе не встроено в растущую полипептидную цепь с помощью комплекса трансляции. Неограничивающий перечень примеров неприродных аминокислот, которые могут быть встроены в полипептидную последовательность или использоваться вместо немутантного остатка в полипептидной последовательности, включает β -аминокислоты, гомоаминокислоты, циклические аминокислоты и аминокислоты с дериватизированными боковыми цепями. Примеры включают (в L-форме или D-форме; В сокращенное обозначение скобках): цитруллин (Cit), гомоцитруллин (hCit), $N\alpha$ -метилцитруллин (NMcCit), метилгомоцитруллин (N α -MeH $^{\circ}$ Cit), орнитин (Orn), N α -метилорнитин $(N\alpha-MeOrn$ или NMeOrn), саркозин (Sar), гомолизин (hLys или hK), гомоаргинин (hArg или hR), гомоглутамин (hQ), N α -метиларгинин (NMeR), $N\alpha$ -метиллейцин $(N\alpha$ -MeL или NMeL), N-метилгомолизин (NMeHoK), $N\alpha$ -метилглутамин (NMeQ), норлейцин (Nle), норвалин (Nva), 1,2,3,4-тетрагидроизохинолин (Tic), октагидроиндол-2карбоновую кислоту (Oic), 3-(1-нафтил) аланин (1-Nal), 3-(2нафтил) аланин (2-Nal), 1,2,3,4-тетрагидроизохинолин (Tic), 2инданилглицин (IgI), пара-йодфенилаланин (pI-Phe), парааминофенилаланин (4AmP или 4-Amino-Phe), 4-гуанидинофенилаланин (Guf), глициллизин (сокращенно "К(N ϵ -глицил)" или "К(глицил)" или "K(glv)"), нитрофенилаланин (nitrophe), аминофенилаланин (aminophe или Amino-Phe), бензилфенилаланин (benzylphe), укарбоксиглютаминовую кислоту (γ -carboxyglu), гидроксипролин (hydroxypro), п-карбоксил-фенилаланин (Cpa), α -аминоадипиновую кислоту (Aad), N α -метилвалин (NMeVal), N α -метиллейцин (NMeLeu), (NMeNle), циклопентилглицин (Cpg), Να-метилнорлейцин циклогексилглицин (Chg), ацетиларгинин (acetylarg), α,βдиаминопропионовую кислоту (Dpr), α , γ -диаминомасляную кислоту (Dab), диаминопропионовую кислоту (Dap), циклогексилаланин (Cha), 4-метил-фенилаланин (MePhe), β , β -дифенил-аланин (BiPhA),

аминомасляную кислоту (Abu), 4-фенил-фенилаланин (или бифенилаланин; 4Bip), α -амино-изомасляную кислоту (Aib), бетааланин, бета-аминопропионовую кислоту, пиперидиновую кислоту, аминокапроновую кислоту, аминогептановую кислоту, аминопимелиновую кислоту, десмозин, диаминопимелиновую кислоту, N-этилглицин, N-этиласпаргин, гидроксилизин, алло-гидроксилизин, изодесмозин, алло-изолейцин, N-метилглицин, N-метилизолейцин, Nметилвалин, 4-гидроксипролин (Нур). γ -карбоксиглутамат, ϵ -N, N, Nтриметиллизин, ε-N-ацетиллизин, О-фосфосерин, N-ацетилсерин, Nформилметионин, 3-метилгистидин, 5-гидроксилизин, ω – метиларгинин, 4-амино-О-фталевую кислоту (4APA), Nацетилглюкозаминил-L-серин, N-ацетилглюкозаминил-L-треонин, фосфотирозин другие аналогичные аминокислоты, и И дериватизированные формы любой из конкретно упомянутых в списке аминокислот.

"Пептид" или "белок" включает стяж, по меньшей мере, из трех аминокислот, связанных вместе пептидными связями. Термины "белок" и "пептид" могут использоваться взаимозаменяемо. Пептид может относиться к индивидуальному пептиду или коллекции пептидов. Кроме того, одна или более из аминокислот в раскрытом в настоящем изобретении визуализирующем средстве могут быть добавления химического модифицированы, например, путем структурного элемента, такого как карбогидратная группа, фосфатная группа, фарнезильная группа, изофарнезильная группа, сульфоксидная группа, группа жирной кислоты, линкер, конъюгации, функционализации или другой модификации, и другого подобного химического структурного элемента. В некоторых вариантах осуществления, другие модификации могут включать введение D-аминокислот, других молекул, конъюгированных с Nконцом и С-концом, конъюгацию флуоресцентных зондов, биомолекул, таких как полиэтиленгликоль, таргетирующих лигандов и других подобных веществ, ретро-инверсию и другие подобные модификации. Ни одна из модификаций не должна оказывать существенного негативного влияния на требуемую биологическую активность пептида.

В некоторых вариантах осуществления раскрытого в настоящем изобретении визуализирующего средства, репортерный фрагмент выбирают из группы, состоящей из хелатообразующего средства, меченого радиоактивным изотопом субстрата, флуоресцентного красителя, фотоакустической репотерной молекулы и активной в рамановском спектре репортерной молекулы.

В некоторых вариантах осуществления раскрытого в настоящем изобретении визуализирующего средства, репортерный фрагмент представляет собой хелатообразующее средство, и хелатообразующее средство выбирают из группы, состоящей из DOTAGA (1,4,7,10тетраазациклододекан, 1-(глутаровая кислота) -4,7,10-триуксусная DOTA (1, 4, 7, 10-тетраазациклододекан-1, 4, 7, 10кислота), тетрауксусная кислота), DOTASA (1,4,7,10-тетраазациклододекан-1-(2-янтарная кислота) -4,7,10-триуксусная кислота), СВ-DO2A (10бис (карбоксиметил) -1, 4, 7, 10-тетраазацикло [5.5.2] тетрадекан), DEPA (7-[2-(Бис-карбоксиметиламино)-этил]-4,10-бис-карбоксиметил-1, 4, 7, 10-тетрааза-циклододец-1-ил-уксусная кислота)), (2-[(карбоксиметил)][5-(4-нитрофенил-1-[4,7,10-трис-C-DEPA (карбоксиметил) -1, 4, 7, 10-тетраазациклододекан-1-ил] пентан-2-ил) -TCMC (2-(4-изотиоцианатобензил)амино]уксусная кислота)), 1,4,7,10-тетрааза-1,4,7,10-тетра-(2-карбамонилметил)-циклододекан), охо-DO3A (1-окса-4,7,10-триазациклододекан-5-S-(4изотиоцианатобензил) -4, 7, 10-триуксусная кислота), p-NH₂-Bn-Oxo-(1-окса-4,7,10-тетраазациклододекан-5-S-(4-аминобензил)-TE2A ((1,8-N,N'-бис-(карбокси-4,7,10-триуксусная кислота), метил) -1, 4, 8, 11-тетраазациклотетрадекан), MM-TE2A, DM-TE2A, CB-TE2A (4,11-бис (карбоксиметил) -1,4,8,11-тетраазацикло [6.6.2] -(4, 8, 11-тетраазациклотетрадекан-1гексадекан), CB-TE1A1P (метанфосфоновая кислота) -8-(метанкарбоновая кислота), СВ-ТЕ2Р (1, 4, 8, 11-тетраазациклотетрадекан-1, 8-бис (метанфосфоновая (1, 4, 8, 11-тетраазациклотетрадекан-1, 4, 8, 11кислота), TETA кислота), NOTA (1,4,7-триазациклононан-N,N',N"тетрауксусная триуксусная кислота), NODA (1, 4, 7-триазациклононан-1, 4диацетат); NODAGA (1,4,7-триазациклононан-1-глутаровая кислота-**4,**7-уксусная кислота), (NOTAGA) 1,4,7-триазонан-1,4-диил)диуксусная кислота, DFO (десфероксамин), NETA ([4-[2-(бискарбоксиметиламино) – этил] – 7-карбоксиметил – [1, 4, 7] триазонан – 1 ил} – уксусная кислота), ТАСМ – ТМ (N, N', N", трис (2-меркаптоэтил) – 1, 4, 7-триазациклононан), Diamsar (1, 8-диамино – 3, 6, 10, 13, 16, 19-гексаазабицикло (6, 6, 6) эйкозан, 3, 6, 10, 13, 16, 19-гексаазабицикло – [6.6.6] эйкозан – 1, 8-диамин), Sarar (1-N-(4-аминобензил) – 3, 6, 10, 13, 16, 19-гексаазабицикло [6.6.6] эйкозан – 1, 8-диамин), AmBaSar (4-((8-амино – 3, 6, 10, 13, 16, 19-гексаазабицикло [6.6.6] эйкозан – 1-ил – амино) метил) бензойная кислота) и BaBaSar.

некоторых вариантах осуществления, пептид, конъюгат приготавливают методами Смотрите, например, патентный документ International patent application publication no. WO/2017/027870 to Pomper et al., for Triazole Conjugated Ureas, Thioureas, Carbamates, and "Reversed" Carbamates for PSMA-Targeted Imaging Agents and Uses Thereof, published Feb. 16, 2017, и патентный документ U.S. patent application publication no. 20140341804 for Homomultivalent and Heteromultivalent Inhibitors of Prostate Specific Membrane Antigen (Pmsa) and Uses Thereof, to Pomper et al., published Nov. 20, 2014, содержание каждого из которых включено в настоящее изобретение путем ссылки на них.

В конкретных вариантах осуществления, хелатообразующее средство имеет структуру, выбранную из следующих структур:

$$HO_2C$$
 HO_2C
 HO_2

В еще одних конкретных вариантах осуществления, репортерный фрагмент представляет собой хелатообразующее средство, и хелатообразующее средство дополнительно включает радиоактивный изотоп металла, выбранный из группы, состоящей из ^{94m}Tc, ^{99m}Tc, ¹¹¹In, ⁶⁷Ga, ⁶⁸Ga, ⁸⁶Y, ⁹⁰Y, ¹⁷⁷Lu, ¹⁸⁶Re, ¹⁸⁸Re, ⁶⁰Cu, ⁶¹Cu, ⁶²Cu, ⁶⁴Cu, ⁶⁷Cu, ⁵⁵Co, ⁵⁷Co, ⁴⁷Sc, ²²⁵Ac, ²¹³Bi, ²¹²Bi, ²¹²Pb, ¹⁵³Sm, ¹⁶⁶Ho, ¹⁵²Gd, ⁸²Rb, ⁸⁹Zr и ¹⁶⁶Dy.

В других вариантах осуществления раскрытых в настоящем изобретении визуализирующих средств, репортерный фрагмент представляет собой меченый радиоактивным изотопом субстрат, и меченный радиоактивным изотопом субстрат включает радиоактивный изотоп металла, выбранный из группы, состоящей из 11 C, 13 N, 15 O, ¹²³I, ¹²⁴I, ¹²⁵I, ¹²⁶I, ¹³¹I, ⁷⁵Br, ⁷⁶Br, ⁷⁷Br, ⁸⁰Br, ⁸⁰mBr, ⁸²Br, ⁸³Br и 211 At. В конкретных вариантах осуществления, меченный радиоактивным изотопом субстрат включает $^{18}{
m F-}$ меченый субстрат. В одних конкретных вариантах осуществления, ¹⁸F-меченый субстрат выбирают из группы, состоящей из 2-фтор-РАВА, 3-фтор-РАВА, 2-фторманнита и N-сукцинимидил-4-фторбензоата. В некоторых вариантах осуществления, субстрат метят с помощью 18 F, используя например метод AlF, основанный на образовании хелата фторида алюминия с NOTA, NODA или любым другим известным подходящим хелатообразующим реагентом. Смотрите, например, публикации Liu S., et al., "One-step radiosynthesis of ¹⁸F-AlF-NOTA-RGD₂ for tumor angiogenisis PET imaging. Eur J Nucl Med Mol Imaging. 2011, 38(9):1732-41; McBride W.J., et al., "A novel method of ¹⁸F radiolabeling for PET. J Nucl Med. 2009;50:991-998; McBride W.J, D'Souza CA, Sharkey RM, Sharkey RM, Karacay H, Rossi EA, Chang C-H, Goldenberg DM. Improved ¹⁸F labeling of peptides with a fluoride-aluminum-chelate complex. Bioconjug Chem. 2010;21:1331-1340.

В других вариантах осуществления раскрытых в настоящем изобретении визуализирующих средств, репортерный фрагмент представляет собой флуоресцентный краситель, и флуоресцентный краситель выбирают из группы, состоящей из карбоцианина, оксакарбоцианина, индокарбоцианина, тиокарбоцианина, кумарина, родамина, мероцианина, полиметина, ксантена, флуоресцеина, бор-дипиррометанового (BODIPY) красителя или их производных, включающих, но этим не ограничивая, ВОDIPY FL, BODIPY R6G, BODIPY TR, BODIPY TMR, BODIPY 581/591, BODIPY 630/650, and BODIPY 650/665, Cy5, Cy5.5, Cy7, VivoTag-680, VivoTag-S680, VivoTag-S750, AlexaFluor660, AlexaFluor680, AlexaFluor700, AlexaFluor750, AlexaFluor790, Dy677, Dy676, Dy682, Dy752, Dy780, DyLight547, Dylight647, Hilyte Fluor 647, HiLyte Fluor 680, HiLyte Fluor 750, IR800 (диметил{4-[1,5,5трис (4-диметиламинофенил) -2, 4-пентадиенилиден] -2, 5-циклогексадиен-1-илиден}аммония перхлорат), IRDye 800CW, IRDye 800RS, IRDye 700DX, ADS780WS, ADS830WS и ADS832WS.

В других вариантах осуществления раскрытых в настоящем изобретении визуализирующих средств, репортерный фрагмент представляет собой фотоакустическую репотерную молекулу, и фотоакустическую репотерную молекулу выбирают из группы, состоящей из красителя или наночастицы. В конкретных вариантах осуществления, краситель включает флуоресцентный краситель. В еще одних конкретных вариантах осуществления, флуоресцентный краситель выбирают из группы, состоящей из индоцианина зеленого (ICG), Alexa Fluor 750, эванса голубого, ВНQ3, QXL680,

IRDye880CW, MMPSense 680, метиленового голубого, PPCy-C8 и Cypate-C18. Смотрите публикацию Wu et al., Int. J. Mol. Sci., 15, 23616-23639 (2014).

В других вариантах осуществления, наночастицу выбирают из группы, состоящей из плазмонной наночастицы, включающей, но этим не ограничивая, золотую наносферу, золотую нанооболочку, золотой наностержень, золотую наноклетку, золотую нанозвездочку и золотой нанокластер, квантовую точку, наноразмерный наночастицу, наночастицу подипиродовую сульфида графеновый нанолист, наночастицу с сердцевиной из оксида железа из золота, оболочкой наночастицу Gd_2O_3 , одностеночную нанотрубку, перфторуглеродную наночастицу углеродную нанесенным красителем и наночастицу суперпарамагнитного оксида железа.

В других вариантах осуществления раскрытых в настоящем изобретении визуализирующих средств, репортерный фрагмент представляет собой активную в рамановском спектре репортерную молекулу, и активную в рамановском спектре репортерную молекулу выбирают из группы, состоящей из одностеночной углеродной нанотрубки (SWNT) и средства для усиленного поверхностью рассеяния (SERS). В конкретных комбинационного вариантах осуществления, средство SERS включает наночастицу металла (например, золота или серебра), меченную с помощью активная в рамановском спектре репортерной молекулы. В еще одних конкретных осуществления, активная В рамановском репортерная молекула включает флуоресцентный краситель. конкретных вариантах осуществления, флуоресцентный краситель группы, состоящей из Су3, Су5, родамина выбирают ИЗ И халькогенпирилиевого красителя.

В других вариантах осуществления раскрытых в настоящем изобретении визуализирующих средств, линкер выбирают из группы, состоящей из:

$$\mathsf{Rpt} = \begin{bmatrix} \mathsf{W}_2 & \mathsf{W}_1 \\ \mathsf{R}_2 \end{bmatrix}_{\mathsf{d}_{\mathsf{b}}} \mathsf{W}_1$$

где Rpt представляет собой репортерный фрагмент; W_1 выбирают из группы, состоящей из C_1 - C_6 алкилена, C_3 - C_6 циклоалкилена и арилена; W_2 выбирают из группы, состоящей из $-NR^1$ -(C=O)-, $-NR^1$ -(C=S)-, -(C=O)- NR^1 -, -(C=S)- NR^1 - и -S-, где каждый R^1 представляет собой независимо H или C_1 - C_4 алкил; каждый R_2 представляет собой независимо H или $-COOR_3$, где каждый R_3 представляет собой независимо H, C_1 - C_6 алкил, C_2 - C_{12} арил или C_4 - C_{16} алкиларил; b представляет собой целое число, выбранное из группы, состоящей из 0, 1, 2 и 3; d представляет собой целое число, выбранное из группы, состоящей из 0, 1, 2 и 3; d представляет собой целое число, выбранное из группы, состоящей из 1, 2, 3, 4, 5, 6, 7 и 8; и где волнистая линия указывает точку присоединения между линкером и пептидом;

(b) Rpt-X-Y-Z- W_3 -,

где Rpt представляет собой репортерный фрагмент; X и Z каждый представляет собой независимо C_1-C_8 алкил, C_2-C_8 алкенил, C_2-C_8 алкинил, C_1-C_8 гетероалкил, C_2-C_8 гетероалкенил, C_2-C_8 гетероалкинил, C_1 - C_8 алкокси или химическую связь, каждый из которых может быть замещен с помощью 0-5 R_A ; Y и W_3 каждый представляет собой независимо -O-, $-S(O)_p-$, -NH-, $-NR_B-$, -CH=CH-, $-CR_B=CH-$, $-CH=CR_B-$, -NH-CO-, $-NH-CO_2-$, $-NR_B-CO-$, $-NR_B-CO_2-$; -CO-NH-, $-CO_2-NH-$, $-CO-NR_B-$, $-CO_2-NR_B-$ или химическую связь; р представляет собой 0, 1 или 2; R_{A} , в каждом случае присутствия, представляет собой галоген, гидрокси, амино, циано, нитро, ${\rm CO_2H}$, необязательно замещенный алкил, необязательно замещенный циклоалкил, необязательно замещенный гетероцикло, необязательно замещенный необязательно замещенный алкенил, необязательно замещенный алкокси, необязательно замещенный моно-ИЛИ диалкиламино, необязательно замещенный алкилтио, алкилсульфинил, замещенный необязательно необязательно замещенный алкилсульфонил, необязательно замещенный моно- или диалкилкарбоксамид, необязательно замещенный арил ИЛИ необязательно замещенный гетероарил; и $R_{\rm B}$, в каждом случае присутствия, представляет собой необязательно замещенный алкил,

необязательно замещенный алкокси, необязательно замещенный моноили диалкиламино, необязательно замещенный алкилтио, необязательно замещенный арил или необязательно замещенный гетероарил; или

(с) аминокислотный линкер.

В конкретных вариантах осуществления, визуализирующее средство представляет собой соединение, выбранное из группы, состоящей из формулы (I), формулы (II) и формулы (III):

DK-A-221- (L) $_n-Rpt$ (II); или DK-A-222- (L) $_n-Rpt$ (III);

где п представляет собой целое число, выбранное из группы, состоящей из 0 и 1; L представляет собой линкер; и Rpt представляет собой репортерный фрагмент; и где репортерный фрагмент или линкер, в случае его присутствия, присоединен к первичной аминогруппе пептида, включающего визуализирующее средство формулы (I), формулы (II) или формулы (III).

В конкретных вариантах осуществления, линкер, в случае его присутствия, присоединен к первичной аминогруппе 13 орнитина (Orn) соединения формулы (I). В конкретных вариантах осуществления, репортерный фрагмент включает хелатообразующее средство DOTAG. В еще одних конкретных вариантах осуществления, хелатообразующее средство DOTAG дополнительно включает 64 Cu радиоактивный изотоп металла.

В еще одних конкретных вариантах осуществления, соединение формулы (I) представляет собой:

После ознакомления С описанием раскрытого объекта настоящего изобретения, для любого специалиста в этой области становится очевидным, для использования с раскрытыми ЧТО настоящем изобретении визуализирующими средствами подходят самые хелатообразующих разнообразные комбинации средств/ионов радиоактивных изотопов металлов. Типичные хелатообразующие средства являются хорошо известными. В качестве неограничивающих быть приведены конкретные хелатообразующие примеров, МОГУТ средства и линкеры, которые раскрыты в патентных документах U.S. 2015/0246144 application publication numbers 2015/0104387, содержание каждого из которых включено в настоящее изобретение путем ссылки на них.

В некоторых вариантах осуществления, визуализирующее средство способно обеспечивать детекцию PD-L1 in vitro, in vivo и/или ex vivo. В некоторых вариантах осуществления, визуализирующее средство способно обеспечивать детекцию PD-L1 in PD-L1 экспрессируется различными опухолями, сверхэкспрессия индуцируется в опухолевых клетках в качестве адаптивного механизма в ответ на цитотоксические Т-клетки, инфильтрирующие опухоль (Topalian et al., 2016). Для любого специалиста в этой области является очевидным, что PD-L1 может включать модификации и/или мутации, но и в этих случаях к нему в настоящем изобретении применимы раскрытые способы, ицп условии, в этих случаях может быть осуществлена его что и детекция С ПОМОЩЬЮ раскрытого В настоящем изобретении визуализирующего средства.

осуществления, величина некоторых вариантах раскрытого в настоящем изобретении визуализирующего средства при ингибировании взаимодействия белка 1 программируемой клеток (PD-1) с его лигандом PD-L1 находится в диапазоне от приблизительно 100 нМ до приблизительно 1 пМ. В некоторых вариантах осуществления, величина IC_{50} составляет менее, чем 100 нМ, в других вариантах осуществления, менее, чем 10 нМ, в других вариантах осуществления, менее, чем 8 нМ, в других вариантах 5 нМ**,** менее, чем В осуществления, других вариантах осуществления, менее, чем 4 нМ, и В других вариантах осуществления, менее, чем 3 нМ.

Термин "аффинность связывания" обозначает свойство, которое описывает, насколько сильно два или более соединений связаны друг с другом с помощью нековалентной связи. Аффинность связывания может быть охарактеризована качественно (например, "сильная", "слабая", "высокая" или "низкая") или количественно (например, путем определения величины K_d).

II. СПОСОБЫ ДЕТЕКЦИИ С ИСПОЛЬЗОВАНИЕМ ВИЗУАЛИЗИРУЮЩИХ СРЕДСТВ

В некоторых вариантах осуществления, в качестве раскрываемого объекта изобретения предлагаются способы детекции белка иммунной контрольной точки, такого как PD-L1. В некоторых вариантах осуществления, в качестве раскрываемого объекта изобретения предлагаются способы детекции заболеваний, расстройств или состояний, которые вызывают сверхэкспрессию PD-L1, таких как рак, воспаление, инфекция и другие подобные заболевания.

В некоторых вариантах осуществления, в качестве раскрываемого объекта изобретения предлагается способ визуализации для детекции лиганда 1 белка программируемой смерти клеток (PD-L1), включающий: (а) обеспечение эффективного количества визуализирующего средства, включающего конъюгат пептида, обладающего специфичностью связывания лиганда 1 белка программируемой смерти клеток (PD-L1), и репортерный фрагмент, и, необязательно, линкер, где линкер, в случае его присутствия,

соединяет пептид и репортерный фрагмент, и, в случае отсутствия линкера, репортерный фрагмент присоединен непосредственно к пептиду через первичный амин аминокислоты пептида, как это описано выше (b) контактирование одной или более клеток или тканей с визуализирующим средством; и (c) создание изображения для детекции PD-L1.

"визуализация" Используемый в изобретении термин или "создание изображения" относится к использованию любой технологии формирования изображения визуализации ДЛЯ поддающегося детекции соединения путем измерения испускаемой соединением. В некоторых вариантах осуществления, термин "визуализация" относится к использованию любой технологии формирования изображения для визуализации поддающегося детекции соединения после его введения субъекту путем измерения энергии, испускаемой соединением, после локализации соединения после его введения. В некоторых вариантах осуществления, способы визуализации включают введение соединения субъекту, детекция которого может быть осуществлена у субъекта внешним образом. В некоторых вариантах осуществления, изображения генерируют за счет различий в пространственном распределении визуализирующих средств, которые накапливаются в различных местах локализации у В некоторых вариантах осуществления, введение визуализирующего средства осуществляют путем инъекции.

Предполагается, ЧТО термин "визуализирующее средство" включает соединение, которое можно визуализировать, например, методом позитронно-эмиссионной томографии (РЕТ). Используемый в изобретении термин "визуализация методом позитронно-эмиссионной томографии" или "РЕТ" включает в себя все системы визуализация методом позитронно-эмиссионной томографии или их эквиваленты и все устройства, позволяющие осуществлять визуализацию методом позитронно-эмиссионной томографии. Способы в соответствии раскрытым объектом настоящего изобретения могут быть реализованы путем использования любого такого устройства или варианта РЕТ устройства или эквивалента, или в сочетании его любой известной методикой РЕТ. Смотрите, например, патентные документы U.S. Pat. Nos. 6151377; 6072177; 5900636; 5608221; 5532489;

5272343; 5103098, содержание каждого из которых включено в настоящее изобретение путем ссылки на них. Могут также применяться системы для визуализации на животных, например, микро-РЕТ (Corcorde Microsystems, Inc.).

В зависимости от репортерного фрагмента, раскрытые в настоящем изобретении визуализирующие средства могут быть использованы при РЕТ, однофотонной эмиссионной компьютерной томографии (SPECT), при визуализации в ближней инфракрасной области (флуоресценция), при фотоакустической и рамановской визуализации.

В некоторых вариантах осуществления, визуализация включает полное сканирование субъекта или пациента, или сканирование конкретной области у субъекта или пациента, используя системы детекции, и детектирование сигнала. Детектированный сигнал затем превращают В изображение. Полученные изображения анализироваться опытным специалистом, таким как, например, врач. Обычно, визуализацию проводят в период времени от приблизительно 48 минуты ДО приблизительно часов после визуализирующего средства. Для специалистов в этой области является очевидным, что точное определение момента времени для проведения визуализации будет зависеть от таких факторов, как скорость выведения введенного соединения. Временные рамки проведения визуализации могут изменяться в зависимости используемого радионуклеотида. В конкретных вариантах осуществления, визуализацию проводят в период времени приблизительно 1 минуты и до приблизительно 4 часов после введения, например, от 15 минут до 30 минут, от 30 минут до 45 минут, от 45 минут до 60 минут, от 60 минут до 90 минут, и от 60 минут до 120 минут. В некоторых вариантах осуществления, детекцию PD-L1 проводят не позже 60 минут после введения визуализирующего средства субъекту. В некоторых вариантах осуществления, визуализацию могут проводить через 24 часа после Zr-89. B инъекции пептида, меченого с помощью некоторых вариантах осуществления, визуализацию могут проводить через 24 часа после инъекции пептида, меченого с помощью I-124.

После получения изображения, специалист в этой области

может определить локализацию соединения. Используя эту информацию, специалист может определить, например, наличие такого состояния, как инфекция, воспаление или рак, степень тяжести этого состояния или эффективность лечения, которому подвергается субъект.

В некоторых вариантах осуществления, контактирование клеток или тканей с визуализирующим средством проводят in vitro, in vivo или ex vivo. "Контактирование" означает любое действие, которое в результате приводит к физическому контакту, по меньшей мере, одного визуализирующего средства по раскрытому объекту настоящего изобретения, по меньшей мере, с одной клеткой или Следовательно, контактирование может тканью. включать воздействие визуализирующего средства на клетку (клетки) ткань (ткани) в количестве, достаточном для достижения контакта, по меньшей мере, одного визуализирующего средства, по меньшей мере, с одной клеткой или тканью. В некоторых вариантах осуществления, способ может быть осуществлен in vitro или ех путем введения, и, предпочтительно, смешения, визуализирующего средства и клеток или тканей в контролируемой среде, такой как чашка или пробирка для культивирования. В некоторых вариантах осуществления, способ может быть осуществлен in vivo, и в этом случае контактирование означает воздействие, по меньшей мере, одного визуализирующего средства по раскрытому объекту настоящего изобретения, по меньшей мере, на одну клетку у субъекта, например, введение визуализирующего средства субъекту любым подходящим способом. В некоторых вариантах осуществления, контактирование клеток или тканей с визуализирующим средством проводят у субъекта.

Термин "эффективное количество" визуализирующего средства обозначает количество, необходимое или достаточное для получения четкого сигнала при визуализации с использованием описанных выше методов, например, позитронно-эмиссионной томографии (РЕТ). Эффективное количество может изменяться в зависимости от таких факторов, как размер и масса субъекта, тип заболевания или тип конкретного соединения. Например, выбор соединения может изменять величину, составляющую "эффективное количество". Любой

специалист в этой области способен оценить эти факторы и определить эффективное количество соединения без проведения лишних экспериментов.

Желательно, чтобы субъектом, которого диагностируют или подвергают лечению с помощью раскрытых в настоящем изобретении способов в их многих вариантах осуществления, являлся человек, но следует иметь в виду, что описанные в изобретении способы могут применяться и в отношении всех видов позвоночных животных, как предполагается, также подпадают под понятие "субъект". Соответственно, термин "субъект" может включать человека, подвергаемого таким медицинским процедурам, диагностирование или лечение существующего заболевания, расстройства, состояния, ИЛИ животного, подвергаемого медицинским, ветеринарным процедурам или связанным с развитием процедурам. Подходящие животные включают млекопитающих, в том числе, но этим не ограничивая, приматов, например, людей, нечеловекообразных обезьян, человекообразных обезьян, гиббонов, шимпанзе, орангутанов, макак и других подобных приматов; жвачных животных, например, крупный рогатый скот, быков и других подобных жвачных животных; семейство овечьих, например, овцы и другие подобные животные; семейство козьих, например, козы и другие подобные животные; семейство свиноподобных, например, свиньи, домашние свиньи и другие подобные животные; семейство например, лошади, ослы, зебры и другие подобные лошадиных, животные; семейство кошачьих, включающее диких и домашних кошек; семейство псовых, включающее собак; семейство зайцеобразных, включающее кроликов, зайцев и других подобных животных; семейство грызунов, включающее мышей, крыс, морских свинок и других подобных животные. Животное может быть трансгенным животным. В некоторых вариантах осуществления, субъектом человек, в том не ограничивая, является числе, но MNTE человеческий эмбрион, новорожденный, младенец, подросток взрослый человек. Кроме того, термин "субъект" может включать расстройства пациента, страдающего от заболевания, ИЛИ состояния, или пациента с подозрениями на наличие у него заболевания, расстройства или состояния. Поэтому, термины

"субъект" и "пациент" используются в настоящем изобретении взаимозаменяемо. Субъекты также включают животных, используемых в экспериментальных моделях заболеваний (например, используемых в экспериментах крыс или мышей и других подобных животных). В некоторых вариантах осуществления, субъектом является человек, крыса, мышь, собака, лошадь, овца, корова, обезьяна, птица или земноводное животное.

Обычно, раскрытые в настоящем изобретении визуализирующие средства могут быть введены субъекту для детекции заболевания, расстройства или состояния любым подходящим способом введения, в том числе перорально, назально, трансмукозально, окулярно, ректально, интравагинально или парентерально, в том числе внутривенно, внутримышечно, подкожно, интрамедуллярной инъекцией, а также интратекально, непосредственно интравентрикулярно, внутривенозно, интраартикулярно, интрасиновиально, интрастернально, внутрипеченочно, интраперитонеально, внутриочагово, интракраниально, интраназально или интраокулярно, интрацистернально, местно, в форме порошков, мазей или капель (включая глазные капли), в том буккально сублингвально, трансдермально, числе И ингаляционного распыления, или другими известными способами доставки.

Используемые в изобретении фразы "системное введение", "вводимое системно", "периферическое введение" и "вводимое периферически" обозначают введение композиций таким образом, что они попадают в систему субъекта или пациента и, в результате, подвергаются метаболизму и другим подобным процессам, например, путем подкожного или внутривенного введения.

Используемые в изобретении фразы "парентеральное введение" и "вводимое парентерально" обозначают способы введения, отличающиеся от энтерального и местного введения, которые осуществляются, обычно, путем инъекции, и они включают, без ограничения, внутривенную, внутримышечную, внутриартериальную, интратекальную, интракапсулярную, интраорбитальную, интраокулярную, интракардиальную, интрадермальную, интраперитонеальную, транстрахеальную, подкожную, внутрикожную,

интраартикулярную, подкапсулярную, субарахноидальную, интраспинальную и интрастернальную инъекцию и инфузию.

В некоторых вариантах осуществления, визуализирующее средство характеризуется отношением действия, направленного на мишень, к действию, направленному не на мишень, равным, по меньшей мере, 3:1. В некоторых вариантах осуществления, термин "мишень" относится к клеткам или тканям, которые демонстрируют сверхэкспрессию белка PD-L1, и термин "не мишень" относится к клеткам или тканям, которые не демонстрируют сверхэкспрессию белка PD-L1.

В некоторых вариантах осуществления, способ визуализации применяют для детекции рака. "Рак" у субъекта или пациента обладающих характеристиками, означает присутствие клеток, типичными для вызывающих рак клеток, например, неконтролируемой пролиферацией, потерей специализированных функций, бессмертием, потенциалом, значительным метастатическим значительным повышением антиапоптической активности, быстрым ростом и высокой скоростью пролиферации, и определенной характерной морфологией и клеточными маркерами. При некоторых обстоятельствах, раковые клетки будут находиться в форме опухоли; такие клетки могут локально внутри животного или циркулировать существовать форме независимых клеток, например, лейкозных кровотоке в клеток. Используемый в изобретении термин "рак" включает впервые диагностированные или рецидивирующие типы рака, в том числе, без ограничения, бластомы, карциномы, глиомы, лейкозы, меланомы, миелому и саркомы. Используемый в изобретении термин "рак" включает, но этим не ограничивая, рак головы, рак шеи, рак головы и шеи, рак легкого, рак молочной железы, такой как трижды негативный рак молочной железы, рак предстательной железы, колоректальный рак, рак пищевода, рак желудка, лейкоз/лимфому, рак матки, рак кожи, рак желез внутренней секреции, рак мочевых путей, рак поджелудочной железы, рак желудочно-кишечного тракта, рак яичников, рак шейки матки, рак почки, рак мочевого пузыря, рак мозга и аденомы. В некоторых вариантах осуществления, рак включает рак 0-ой стадии. В некоторых вариантах осуществления, рак включает рак I стадии. В некоторых вариантах осуществления,

рак включает рак II стадии. В некоторых вариантах осуществления, рак включает рак III стадии. В некоторых вариантах осуществления, рак включает рак IV стадии. В некоторых вариантах осуществления, рак является рефракторным и/или метастатическим.

Используемый в изобретении термин "опухоль" относится к росту и пролиферации всех опухолевых клеток, независимо от того, являются ли они злокачественными или доброкачественными, и всех предраковых И раковых клеток и тканей. Используемый изобретении термин "солидная опухоль" обозначает нетипичное образование ткани, которое обычно не содержит кист или жидких областей. Солидная опухоль может находиться в головном мозге, ободочной кишке, МОЛОЧНЫХ железах, предстательной печени, почках, легких, пищеводе, голове и шеи, яичниках, шейке желудке, толстой кишке, прямой кишке, мочевом пузыре, матке, яичках И поджелудочной железе, В качестве неограничивающих примеров. В некоторых вариантах осуществления, способ визуализации применяют для детекции солидной опухоли.

В еще одних вариантах осуществления, способ визуализации применяют для детекции метастатического рака.

В некоторых вариантах осуществления, способ визуализации детекции инфекции. Предполагается, ДЛЯ детекции инфекционного заболевания, такого как грибковая или бактериальная инфекция, используется раскрытый объект настоящего изобретения. Используемый в изобретении термин "инфекция" инвазии болезнетворных микроорганизмов организма-хозяина, их размножению, и реакции тканей организмахозяина на эти микроорганизмы и продуцируемые ими токсины. Инфекции включают, НО MNTE не ограничивая, нозокомиальные послеоперационные инфекции И тяжелые формы абдоминальных инфекций, такие как перитонит, панкреатит, эмпиема желчного пузыря и эмпиема плевры, и костные инфекции, такие как остеомиелит. Также предполагается осуществление септицемии, сепсиса и септического шока, инфекций вследствие или после использования иммунносупрессивных возникающих средств, противораковой химиотерапии, радиоактивного излучения, жидкостей для инфицированных внутривенного введения,

геморрагического шока, ишемии, травмы, рака, иммунодефицита, вирусных инфекций и диабета. Примеры микробной инфекции, такой как бактериальная и/или грибковая инфекция, включают, но этим не ограничивая, инфекции, обусловленные Mycobacterium tuberculosis, E. coli, Klebsiella sp., Enterobacter sp., Proteus sp., Serratia Pseudomonas aeruginosa, Staphylococcus including S. aureus and coag.-negative Staphylococcus, Enterococcus sp., Streptococcus pneumoniae, Haemophilus influenzae, Bacteroides spp., Acinetobacter spp., Helicobacter spp., Candida sp., и так далее. К примерам инфекций относятся обусловленные резистентными микробами, например метициллин-резистентный Staphylococcus aureus (MRSA) ванкомицин-резистентный Enterococcus faecalis (VRE). В некоторых инфекция осуществления, представляет бактериальную инфекцию. В некоторых вариантах осуществления, инфекция представляет собой хроническую бактериальную инфекцию. В некоторых вариантах осуществления, бактериальная инфекция представляет собой туберкулез. В некоторых вариантах осуществления, инфекция представляет собой диссеминированный туберкулез. В некоторых вариантах осуществления, инфекция может представлять собой гепатит А, гепатит В, гепатит С и/или вирус иммунодефицита человека.

В некоторых вариантах осуществления, способ визуализации токнемисп для детекции воспаления. Примеры расстройств, связанных с воспалением, включают, но этим не ограничивая, астму, аутоиммунные заболевания, аутовоспалительные заболевания, целиакию, дивертикулит, гломерулонефрит, гнойный гидраденит, гиперчувствительность, воспалительные заболевания кишечника, интерстициальный цистит, отит, воспалительное заболевание органов, реперфузионное повреждение, острую тазовых ревматическую лихорадку, ревматоидный артрит, саркоидоз, трансплантата, волчанку, в том числе системную красную волчанку, и васкулит. В некоторых вариантах осуществления, воспаление вызвано ревматоидным артритом или системной красной волчанкой.

PD-L1 связывается с его рецептором, PD-1, обнаруживаемым на

активированных Т-клетках, В-клетках и миелоидных клетках, для модулирования активации или ингибирования. Соответственно, раскрытые в настоящем изобретении визуализирующие средства, экспрессию PD-L1, могут применяться которые выявляют детекции иммунных клеток, таких как Т-клетки, В-клетки некоторых вариантах осуществления, миелоидные клетки. В настоящем изобретении визуализирующие средства раскрытые В выявляют иммунные клетки в опухоли. В некоторых вариантах осуществления, раскрытые в настоящем изобретении визуализирующие средства выявляют системное распределение иммунных клеток у субъекта. В некоторых вариантах осуществления, способ визуализации применяют для детекции ответных реакций иммунных инфицированных клетках. В некоторых вариантах осуществления, способ визуализации применяют ДЛЯ ответных реакций иммунных клеток в воспалительных клетках.

В некоторых вариантах осуществления, раскрытый в настоящем изобретении способ визуализации позволяет осуществлять детекцию и/или измерять изменение экспрессии PD-L1, такое как изменение экспрессии PD-L1 в результате проведения лечения. Такие способы могут применяться для определения эффективности конкретного способа лечения и/или для определения диапазонов эффективных терапевтических доз.

ІІІ. НАБОРЫ РЕАГЕНТОВ, ВКЛЮЧАЮЩИЕ ВИЗУАЛИЗИРУЮЩИЕ СРЕДСТВА

некоторых вариантах осуществления, В раскрываемого объекта изобретения предлагается набор реагентов для детекции лиганда 1 белка программируемой смерти клеток (PD-L1), где набор реагентов включает визуализирующее средство, включающее конъюгат пептида, обладающего специфичностью связывания лиганда 1 белка программируемой смерти клеток (PD-L1), и репортерный фрагмент, и, необязательно, линкер, где линкер, в случае его присутствия, соединяет пептид и репортерный фрагмент, и, в случае отсутствия линкера, репортерный фрагмент присоединен непосредственно к пептиду через первичный амин аминокислоты пептида, как это описано выше.

Обычно, наборы реагентов раскрытого объекта настоящего изобретения включают раскрытое в настоящем изобретении

визуализирующее средство и инструкции по поводу того, как осуществить, по меньшей мере, один раскрытый в настоящем изобретении способ. Визуализирующее средство обычно поставляют в наборах в количестве, достаточном для детекции PD-L1, по меньшей мере, у одного субъекта или пациента, по меньшей мере, один раз. Наборы реагентов могут также включать некоторые или все другие реагенты и расходные материалы, необходимые для осуществления, по меньшей мере, одного варианта раскрытого в настоящем изобретении способа.

В самой простой своей форме, набор реагентов в соответствии с раскрытым объектом настоящего изобретения включает контейнер, содержащий, по меньшей мере, один тип визуализирующего средства в соответствии с раскрытым объектом настоящего изобретения. В некоторых вариантах осуществления, набор реагентов включает несколько контейнеров, каждый из которых может содержать, по меньшей мере, одно визуализирующее средство или другие вещества, которые могут применяться для осуществления одного или более вариантов раскрытых в настоящем изобретении способов.

Контейнер может быть изготовлен из любого материала, для упаковки раскрытой в пригодного настоящем изобретении композиции или другого вещества, применяемых при осуществлении раскрытого в настоящем изобретении способа. Taĸ, например, контейнер может представлять собой флакон или ампулу. Он может быть изготовлен из любого подходящего материала, такого как стекло, пластмасса, метал или бумага, или продукт переработки бумаги. В вариантах осуществления, он может представлять собой стеклянную или пластмассовую ампулу или флакон, которые могут герметизированы, например, с помощью пробки, обжимного укупорочного средства, или с помощью пластмассовой или металлической крышки. Количество визуализирующего средства, контейнере, может подобрано содержащегося быть В любым специалистом этой области без проведения излишних экспериментов, исходя из многочисленных параметров, которые точки ЯВЛЯЮТСЯ существенными С зрения раскрытого объекта настоящего изобретения.

В вариантах осуществления, контейнер предлагается

В

качестве компонента более крупного комплекта, который обычно упаковочные материалы (называемого включает ниже набором). Раскрытый в настоящем изобретении набор реагентов может включать подходящую упаковку и инструкции и/или другую информацию относительно применения композиций. Обычно, изготавливают из прочного материала, такого как может содержать инструкции пластмасса, И ОН ИЛИ другую информацию, напечатанную непосредственно на нем. Набор может контейнеров, содержащих включать несколько КОМПОЗИЦИЮ изобретению. В таких наборах, каждый контейнер может иметь один и тот же размер, и содержать одно и то же количество композиции в каждом из контейнеров, или разные контейнеры могут иметь разные размеры и/или содержать разные количества композиций или композиции, имеющие разные составляющие компоненты. Для любого специалиста в этой области является очевидным, что изобретении подразумевается возможность использования множества различных конфигураций размеров контейнера и его содержимого, и, поэтому, нет необходимости в перечислении в изобретении всех конкретных комбинаций.

Несмотря на то, что в изобретении используются конкретные термины, тем не менее, они используются только в общем и описательном смысле, а не в целях ограничения. Если не указано иначе, то все технические и научные термины, используемые в изобретении, имеют то же значение, которое является общепринятым для специалиста в области техники, к которой относится описанный объект настоящего изобретения.

В соответствии с уже давно существующей конвенцией о патентном праве, форма единственного числа при использовании в этом изобретении и формуле изобретения относится к "одному или более" указанному существительному. Так, например, ссылка на "предмет" включает в себя множество предметов, если это в явном виде не противоречит контексту (например, множество предметов) и так далее.

В настоящем изобретении и формуле изобретения, термины "содержать", "содержит" и "содержащий" используются в не исчерпывающем смысле, если из контекста не следует иное.

Аналогично, термин "включать" и его грамматические варианты не носят ограничительный характер, так что перечисление элементов в списке не исключает наличие других подобных элементов, которые могут использоваться для замены или могут быть добавлены к перечисленным элементам.

Применительно к целям настоящего изобретения и прилагаемым пунктам формулы изобретения, и если не указано иначе, то все числа, выражающие количества, размеры, геометрические параметры, пропорции, формы, составы, параметры, проценты, параметры, доли, характеристики и другие числовые значения, используемые описании и формуле изобретения, следует воспринимать во всех случаях как преобразованные числовые значения с помощью термина "приблизительно", даже если термин "приблизительно" может не присутствовать в явной форме вместе с величиной, количеством или диапазоном. Соответственно, если не указано иначе, то числовые параметры, приведенные в нижеследующем описании и прилагаемой формуле изобретения, не являются и не должны быть точными, но могут быть приблизительными и/или большими или меньшими, желанию, отражая допустимые отклонения, коэффициенты пересчета, округления, погрешность измерения и так далее, а также другие факторы, известные специалистам в данной области, зависящие от требуемых свойств, которые стремятся получить в результате объекта настоящего изобретения. Например, раскрытия "приблизительно", когда он относится к величине, может означать, что он охватывает отклонения от указанной величины, в некоторых ± 100%, осуществления, В некоторых осуществления, \pm 50%, в некоторых вариантах осуществления, \pm 20%, в некоторых вариантах осуществления, $\pm 10\%$, в некоторых вариантах осуществления, \pm 5%, в некоторых вариантах осуществления, \pm 0,5%, и, в некоторых случаях, \pm 0,1%, так как такие отклонения являются приемлемыми с точки зрения осуществления раскрытых способов или применения раскрытых композиций.

Кроме того, следует иметь в виду, что термин "приблизительно", при его использовании в отношении одного или более чисел или диапазона числовых значений, относится ко всем

этим числам, включая все числа в диапазоне, и изменяет этот диапазон путем расширения границ выше и ниже приведенных числовых значений. Перечисление числовых диапазонов по конечным значениям включает все числа, например целые числа, включая их доли, относящиеся к этому диапазону (например, перечисление от 1 до 5 включает 1, 2, 3, 4 и 5, а также их доли, например, 1,5, 2,25, 3,75, 4,1 и так далее), и любой диапазон внутри этого диапазона.

ПРИМЕРЫ

приведены примеры с целью разъяснения специалисту в данной области техники, как применять на практике типичные варианты осуществления раскрытого объекта настоящего изобретения. В свете настоящего изобретения и с учетом общего уровня знаний в данной области техники, для специалистов данной области техники является очевидным, что приведенные далее примеры выполняют только иллюстративные функции, и что возможно применение многочисленных изменений, модификаций и адаптаций в пределах объема раскрытого объекта настоящего изобретения. Приведенные далее описания синтезов и конкретные примеры являются только иллюстрациями, и их никоим образом не следует рассматривать в качестве ограничений для получения соединений по изобретению другими способами.

пример 1

<u>Быстрая детекция PD-L1 в опухоли методом позитронно-</u>
<u>эмиссионной томографии (PET) с использованием</u>
высокоспецифического пептида

1.1 Повышение PD-L1 Уровень техники. уровня В микроокружении опухоли (ТМЕ) вызывает подавление иммунитета результате деактивации иммунных инфильтратов путем связывания с рецептором белка 1 белка программируемой смерти клеток (PD-1), экспрессируемого активными иммунными инфильтратами (Okazaki et al., 2007, и Topalian et al. al., 2015). Экспрессию PD-L1 на опухолевых клетках и в микроокружении опухоли (ТМЕ) биомаркером для стратификации перспективным пациентов И терапевтического мониторинга лекарственных средств (Herbst 2014). Дополнительное диагностическое обследование,

основанное на иммуногистохимическом исследовании (IHC) PD-L1, было недавно одобрено Управлением по контролю качества продовольствия и медикаментов США, что указывает на то, что PD-L1 может быть подходящей мишенью для визуализации in vivo (Roach et al., 2016).

настоящее время, иммуногистохимическая (IHC) является наиболее хорошо изученным прогностическим биомаркером для терапевтического мониторинга таргетной терапии PD-L1/PD-1, НΟ ЭТОТ ПОДХОД И его доступные иммуногистохимические PD-L1, одобренные Управлением диагностические тесты для контролю качества продовольствия и медикаментов CIIA, существенные недостатки, Roach et al., 2016; Mansfield and Dong, 2016; and Phillips et al., 2015, связанные с несогласующимися определений ПОЗИТИВНОСТИ ПО противоречивыми результатами по детекции антител, недостаточным совпадением между результатами анализов и внутриопухолевой и межопухолевой гетерогенностью, что негативно сказывается на точности и надежности анализов, и, в результате, на принятие решения по выбору метода лечения. Кроме того, образцы ткани, биопсией тестирования, как правило, полученные ДЛЯ очень малочисленны, быть необходимы для а OHN МОГУТ определение молекулярного профиля с целью идентификации самонаводящихся онкогенных мутаций В ПУТЯХ (например, других рецептор эпидермального фактора роста (EGFR), киназа анапластической гены репарации ДНК), которые обуславливают восприимчивость ИЛИ резистентность K существующим методам Такие уникальные образцы часто делают практически невозможным проведение множественных оценок PD-L1 для надежного отображения экспрессии PD-L1. Ожидается, ЧТО визуализирующие средства для позитронно-эмиссионной томографии (PET), которые позволяют проводить неинвазивную оценку уровней, PD-L1, динамики распределения И делают OTC стандартного клинического процесса визуализации в течение минут после XN введения, позволят преодолеть недостатки (на основе иммуногистохимического исследования) имеющихся методов для оценки состояния экспрессии PD-L1.

Динамическая природа иммунного микроокружения опухоли является основанием для разработки меченых соединений (PET), которые позволяют позитронно-эмиссионной томографии быстро оценить микроокружение опухоли. В йоте связи, низкомолекулярные меченые соединения на основе пептидов представляют большой интерес для клинического применения вследствие их быстрого выведения и несложного метода синтеза (Reubi et al., 2008; Sun et al., 2016). Меченые соединения на основе пептидов для позитронно-эмиссионной томографии (РЕТ), нацеленные на соматостатиновые рецепторы и хемокиновый рецептор (CXCR4), позволяют получать у пациентов высокие величины отношения "мишени к не мишени" (Herrmann et al., 2016; Gourni et al., 2011).

Недавно, сообщалось о пептидах, которые специфично связывают PD-L1 (смотрите патентный документ International PCT patent application publication no. WO2016039749 to Miller, et al., for Macrocyclic Inhibitors of the PD-1/PD-L1 and CD80 (B7-1)/PD-L1 Protein/Protein Interactions, published March 17, 2016; патентный документ International PCT patent application publication no. WO 2016/100285 to Mapelli, et al., Immunomodulators, published June 23, 2016; патентный документ International PCT patent application publication no. 2016/100608 to Sun, et al. for Immunomodulators, published June 2016; патентный документ International РСТ application publication no. WO 2016/126646 to Miller et al., for Immunomodulators, published August 11, 2016, содержание каждого из которых включено в настоящее изобретение путем ссылок на них); однако, из возможность применения для детекции экспрессии PD-L1 in vivo не была установлена. Было сделано предположение, что эти пептиды, связывающие PD-L1, могут применяться для быстрой и высокоспецифической детекции экспрессии PD-L1 . ХКПОХУПО Для подтверждения TOPO предположения, ИЗ опубликованной библиотеки пептидов был выбран пептид WL12, который в наибольшей степени подходит по конфигурации и обладает отдельно расположенным первичным амином, и проводили оценку режим его связывания с PD-L1. Хелатообразующее средство DOTAGA конъюгировали с WL12 с целью введение радиоактивной метки 64 Cu с получением $[^{64}$ Cu]WL12 (Eisenwiener et al., 2000), проводили оценку аффинности связывания производных пептида с PD-L1, и определяли in vitro поглощение $[^{64}$ Cu]WL12 в клеточных линиях с различной экспрессией PD-L1. Для проверки обоснованности концепции, проводили оценку возможности применения [64 Cu]WL12 для детекции экспрессии PD-L1 in vivo методом визуализации с помощью позитронно-эмиссионной томографии (PET) на NSG мышах, несущих опухоли яичника китайского хомячка (СНО) с экспрессией конститутивного человеческого PD-L1 (hPD-L1) и изогенные опухоли (СНО) для негативного контроля. Распределение в специфичность в отношении мишени [64 Cu]WL12 подтверждали путем проведения исследований по *ex vivo* биораспределению блокированию.

1.2 Результаты и обсуждение

1.2.1~WL12~cвязывает PD-L1~таким же образом как и PD-1.~Для связывания PD-L1, режима WL12С использовали сокристаллическую структуру человеческого PD-L1, связанного с PD-1 (PDB ID: 4ZQK) (Zak et al., 2015), для докинга WL12 вместо PD-1. Принимая во внимание сложность структуры макромолекулы WL12, сначала проводили конформационный поиск, и осуществляли докинг конформеров в сайте связывания PD-1 на PD-L1, используя программное обеспечение Glide (Friesner et al., 2004; Halgren et al., 2004). WL12 образует подобную бета-складчатому слою структуру с двумя водородными связями, образованными между двух макроциклических стяжей (фигура конформация подтверждается экспериментами по круговому дихроизму (фигура 2). Наложение структуры PD-1 на структуру связанного WL12 обнаруживает сходства режима связывания для этих двух структур. Две бета-тяжи PD-1, которые формируют поверхности связывания с PD-L1, перекрываются с псевдо-тяжами WL12 (фигура 1C). L-лейцин, присутствующий в WL12, вставляется в небольшой гидрофобный карман, такой же как Ile134, присутствующий в PD-1, и один из двух норлейциновых остатков совпадает с Ile126, присутствующим в PD-1. В дополнении к этим гидрофобным взаимодействиям, между WL12 и PD-L1a присутствует ряд водородных связей. Карбоксамид аспарагина на WL12 образует водородную связь с Tyr123, глицинамид образует водородные связи с остовом Gly120, и серингидроксил взаимодействует с Gln66. Орнитиновый остаток является открытым и не участвует в связывании PD-L1. Не приводя в качестве доказательства какуюлибо конкретную теорию, тем не менее, можно предположить, что конъюгация подходящей радиоактивной метки методами проведения реакции сочетания амина не должна разрушать связывание WL12 с PD-L1.

1.2.2 $[^{64}$ Cu]WL12 характеризуется PD-L1-специфическим клеточным поглощением in vitro. Для конъюгирования DOTAGA использовали первичный амин 13 орнитина (Orn), который затем использовали для приготовления нерадиоактивного Cu^{2+} аналога (WL12-Cu) и для нанесения радиоактивной метки с помощью 64 Cu. Полученные WL12D и соответствующий WL12-Cu очищали методом высокоэффективной жидкостной хроматографии (HPLC) с массспектрометрическим определением (фигура 2, фигура 3, фигура 4, фигура 5, фигура 6 и фигура 7), и проводили in vitro оценку. Для определения величины концентрации WL12 и его производных, при которой достигается 50% ингибирование, (IC₅₀), при ингибировании взаимодействия PD-L1 с PD-1, оптимизировали ранее описанное in vitro исследование, которое основано на резонансном переносе энергии флуоресценции (Woodard et al., 2014). Регистрировали для WL12D и WL12-Cu величины IC₅₀ 22, 23 и соответственно (фигура 8А, фигура 9, фигура 10 и таблица 1 ниже). Эти денные указывают на то, что WL12 сохраняет высокую аффинность связывания с PD-L1 после модификации 13 Orn боковой цепи с помощью DOTAGA и образования хелата с Cu^{2+} .

Таблица 1. WL12-немодифицированный пептид; WL12D - пептид, конъюгированный с DOTAGA, WL-Cu $^{2+}$ - комплекс меди с WL12D. 95% СІ - 95% доверительные интервалы.

Соединение	IC ₅₀ [нМ]	95% CI [нМ]	Ki [HM]	95% CI [нМ]
WL12	20,3	11,4-46,1	1,1	5,3-21,5
WL12D	22,2	14,7-33,7	10,4	6,8-15,7
WL-Cu ²⁺	2 , 97	2,17-4,5	1,38	1,01-1,89

Для демонстрации PD-L1 специфичности и клеточного

поглощения, приготавливали [64 Cu]WL12 с высокой радиоактивностью $(1,9 \pm 0,1 \text{ мКи/мкг})$ и радиохимической чистотой (> 95%) (фигура 11 и фигура 12). Клетки hPD-L1, инкубированные с $[^{64}$ Cu]WL12 в течение 1 часа, характеризовались > 50% поглощением 43-кратным увеличением инкубированной дозы И радиоактивности по сравнению с клетками СНО, использовавшихся в качестве негативного контроля (фигура 8С). Затем исследовали специфичность связывания путем инкубирования hPD-L1 клеток только с одним [64 Cu]WL12 или в присутствии с 1 мкМ блокирующей дозы WL12. Обнаруживали > 95% уменьшение связывания [64 Cu]WL12 в присутствии пептида, что указывало на то, что $[^{64}$ Cu]WL12 связывание с PD-L1 является специфичным (фигура 8C). Затем исследовали способность $[^{64}$ Cu]WL12 к детекции эндогенной экспрессии PD-L1 в двух линиях клеток трижды негативного рака молочной железы (TNBC), MDAMB231 N SUM149, которые И демонстрировали высокую низкую экспрессию PD-L1, соответственно (фигура 8В). В два раза более высокое поглощение радиоактивности в клетках МDAMB231 по сравнению с клетками SUM149 дополнительно подтверждало специфичность [64 Cu]WL12 отношении PD-L1 (фигура 8C). Исследование методом проточной цитометрии экспрессии PD-L1 позволило определить средние величины интенсивности флуоресценции, которые располагались в следующем порядке: hPD-L1 > MDAMB231 > SUM149 > CHO, что коррелировало с поглощением радиоактивности (r=0,9977, фигура 13 и фигура 14). В совокупности, эти результаты показывают, что $[^{64}$ Cu]WL12 связывает раковые клетки $in\ vitro\$ зависимым от экспрессии PD-L1 образом.

1.2.3 64 Cu]WL12 специфически накапливается в опухолях с высокой экспрессией PD-L1. Для того чтобы получить сведения о in специфичности и распределении [64 Cu]WL12, проводили исследования по визуализации с помощью позитронно-эмиссионной томографии-компьютерной томографии (РЕТ-КТ) на мышах, несущих hPD-L1 и CHO опухоли (n=4). Исследования с помощью PET визуализации показали устойчивое поглощение [64 Cu]WL12 в hPD-L1 опухолях. Повышенное поглощение в hPD-L1 опухолях можно было наблюдать уже через 10 минут, и оно сохранялось на протяжении 24 часов после инъекции (фигура 15A и фигура 16), с экспрессией PD-L1, подтвержденной иммуногистохимическим (IHC) исследованием 15В). Помимо опухолей, высокое поглошение наблюдалось в почках и печени. Для подтверждения наблюдений с помощью визуализации методом PET, проводили исследования биораспределения через 1 и 2 часа после инъекции [64 Cu]WL12 (n=3 и n=5, соответственно). Принимая во внимание быстрое поглощение, наблюдаемое В PD-L1-положительных опухолях, было предположение, что биораспределение через 1 и 2 часа могло быть более информативным в случае разработки $^{18}{ ext{F-}}$ неченого аналога. В соответствии с исследованиями по визуализации, hPD-L1 опухоли демонстрировали величины поглощения радиоактивности в процентах от инъецированной дозы/г (%ИД/г) 14,9 \pm 0,8 через 1 час. В отличие от этого, поглощение контрольной СНО опухоли составляло $4,0 \pm 0,6\%$ ИД/г (фигура 17). Поглощение в почках и в печени также было относительно высоким, при этом величина поглощения составляла 34,4 \pm 3,1 и 24,2 \pm 2,5%ИД/г, соответственно. Соотношения опухоли к мышцам и опухоли к крови для hPD-L1 опухолей составляли 25,6 \pm 1,9 и 4,7 \pm 1,2, соответственно, что согласуется со способностью [64 Cu]WL12 обеспечивать специфичные изображения PD-L1 с высокими значениями отношения сигнала к шуму (фигура 15А и фигура 15В).

Исследования биораспределения, проведенные через 2 часа, показали аналогичный профиль с тенденцией к снижению

радиоактивности в почках, печени и опухоли (фигура 17). Для демонстрации *in vivo* специфичности, [64 Cu]WL12 инъецировали совместно с избытком WL12 (50 мкг, 2 мг/кг) и проводили исследования биораспределения через 2 часа. Наблюдали уменьшение на > 75% величин %ИД/г в hPD-L1 опухолях (P < 0,0001), но не обнаруживали значимого различия в контрольных СНО опухолях. также демонстрировали пониженное поглощение. обнаруживали значимых различий в поглощении радиоактивности в других тканях. Повышенное поглощение в печени, тенденция, часто наблюдаемая для визуализирующих средств на основе 64 Cu (Anderson et al., 2009), может быть обусловлено диссоциацией ${\rm Cu}^{2+}$ из хелатообразующего средства и последующей трансобразования хелата с белками плазмы, такими как альбумин и церулоплазмин (Smith-Jones et al., 1991; Wadas et al., 2007; и Boswell et al., 2004). Повышенное поглощение почками также позволяет предположить о преимущественном выведении пептида через почки. Низкое поглощение, наблюдаемое в селезенке, тимусе и гибернационной железе, тканях, которые, как известно, экспрессируют PD-L1, и, как сообщается, демонстрируют повышенное поглощение меченого радиоактивным изотопом антитела (Chatterjee et al., Hettich et al., 2016; и Josefsson et al., 2016), позволяет предположить, что [64 Cu]WL12 проявляет очень низкую аффинность или не проявляет аффинности к мышиному PD-L1. Дополнительным подтверждением специфичности [64 Cu]WL12 в отношении человеческого PD-L1 является то, что не было обнаружено значимых различий в поглощении в этих тканях для контрольных групп и групп с блокированием дозы, за исключением почек. Исследования визуализации и биораспределения в совокупности демонстрируют, что [64 Cu]WL12 связывает быстро и специфично человеческий PD-L1.

1.2.4 Результаты спектроскопии кругового дихроизма (CD). Для оценки вторичной структуры WL12 в водных и имитирующих мембраны растворах, применяли CD спектроскопию в комбинациях воды, додецилфосфохолина (DPC) и додецилсульфата натрия (SDS). Как представлено на фигуре 2, Trp остатки значительно влияют на

CD спектр WL12 пептида в диапазоне 220-240 нм. В растворе, не содержащем поверхностно-активного вещества, наблюдается минимум приблизительно при 220 нм и положительное плечо приблизительно при 230 нм. После добавления поверхностно-активных веществ, обе полосы слегка смещаются в красную область, и отмечается увеличение интенсивности последней полосы. Эти полосы относят к Trp-Trp связи. Оба Trp хромофора находятся в непосредственной близости, и они ведут себя как один абсорбирующий элемент. Вследствие этого, их возбужденные состояния взаимодействуют, и возбужденные состояния димерной системы делокализуются обоими мономерами. Это явление, называемое экситонным эффектом, вызывает расщепление возбужденного состояния на две компоненты, одна из которых возникает в результате синфазной комбинации двух возбуждений, а другая возникает В результате несинфазной комбинации. (Grishina 1994, and Kelly 2000).

CD спектры неупорядоченных пептидов обычно характеризуются одной полосой ниже 200 нм, в то время как lpha-спираль дает две негативных полосы при 208 и 222 нм с одной положительной полосой при 192 нм, и структуры β -листа обычно характеризуются негативной полосой при 217 нм с положительной полосой при 195 нм. Поэтому, сильная негативная полоса при ~205 нм и сильная положительная полоса при ~190 нм на CD спектре WL12 пептида может наводить на мысль смеси конформации случайной спирали И более упорядоченной структуры. Деконволюционный анализ CD спектра указывает на высокое содержание структуры β -листа (~40%) при всех условиях измерений. Тем не менее, сильный вклад Тгр хромофоров в спектр кругового дихроизма в дальней ультрафиолетовой области WL12 влияет на точность количественного анализа содержания вторичной структуры, И полученные результаты интерпретировать с осторожностью.

Краткие выводы. Подводя итог вышесказанному, были PD-L1 продемонстрированы быстрая детекция В ОПУХОЛИ И селективность в отношении PD-L1 in vitro и in vivo идп проведении позитронно-эмиссионной томографии (PET) С использованием высокоспецифичного PD-L1 связывающего пептида

r⁶⁴CulWL12. ⁶⁴CulWL12 Фармакокинетика и биораспределение указывают на то, что детекция PD-L1 подходит для применения при проведении стандартного клинического процесса визуализация пациентов в течение 60 минут после введения радиоизотопного индикатора. Быстрая и неинвазивная детекция экспрессии PD-L1 во злокачественных очагах поражения В полном обеспечивает беспрецедентные возможности для стратификации пациентов для иммуномодуляционной терапии.

1.4 Материалы и методы

- 1.4.1 Материалы. PD-L1 связывающий пептид, WL12, синтезирован по особому фирмой СРС Scientific (Sunnyvale, CA) с чистотой >95%. Все другие химические реагенты приобретались у фирмы Sigma-Aldrich или Fisher Scientific, если не указано иное. 2,2',2''-(10-(2,6-диоксотетрагидро-2H-пиран-3-ил)-1,4,7,10тетраазациклододекан-1, 4, 7-триил) триуксусная кислота ангидрид) и $[^{64}$ Cu]Cl $_2$ приобретались у фирмы CheMatech Macrocycle Design Technologies (номер по каталогу C109; Dijon, France) и у университета (University of Висконсинского соответственно. Все реагенты, относящиеся к культивированию клеток, приобретались у фирмы Invitrogen, если не указано иное. IqG-Eu³⁺криптат античеловеческий (номер Поликлональный 61HFCKLA) XL665-конъюгированное И моноклональное антитело против бх-гистидина (номер по каталогу 61HISXLA) приобретали у фирмы Cisbio Assays (Bedford, MA). Рекомбинантный человеческий PD-1 Fc химерный белок (номер по каталогу 1086-PD-050) и рекомбинантный человеческий PD-L1 (B7-H1)-His-tag белок (номер по каталогу 9049-B7) получали от фирмы R&D systems (Minneapolis, MN).
- 1.4.2 Исследования докинга. Для проведения докинга WL12 с PD-L1, в качестве темплата использовали кристаллическую структуру человеческого PD-1, связанного с PD-L1 (PDB ID: 4ZQK). Сначала приготавливали модель, используя панель экспертной системы Protein Preparation Wizard в программном обеспечении Maestro (Schrödinger Release 2016-2: Maestro, version 10.6, Schrödinger, LLC, New York, NY, 2016) (Sastry et al., 2013). Она

включает присваивание порядков связей и формальных зарядов, добавление атомов водорода и добавление недостающих боковых цепей. Сетку водородных связей внутри белка оптимизируют (в том числе переориентацию тиольных и гидроксильных групп, выбор Asn, Gln и His боковых цепей, и предсказание протонированных состояний His, Asp и Glu), и затем проводят быструю минимизацию. Структуру PD-1 удаляли. Конформационный поиск проводили по структуре WL12, используя программу Prime Conformational Search (Schrödinger Release 2016-2: Prime, version 4.4, Schrödinger, LLC, New York, NY, 2016). Для экспериментов по докингу выбирали 100 конформеров с самыми низкими энергиями. Докинг проводили с помощью программы Glide (Schrödinger Release 2016-2: Glide, version 7.1, Schrödinger, LLC, New York, NY, 2016), используя установки по умолчанию и ввод кольцевых конформаций (Friesner et 2004, Halgren et al., 2004). Куратором программного обеспечения, используемого для этих вычислений, была компания SBGrid (Morin et al., 2013).

- 1.4.3 Измерения кругового дихроизма (CD). Спектры пептида в водных не содержащих поверхностно-активных веществ растворах В водных мицеллярных растворах И додецилфосфатидилхолина (DPC), додецилсульфата натрия (SDS) и смесей DPC:SDS мицелл при мольном отношении 5:1 регистрировали на спектрополяриметре Jasco J-815 (Jasco, Easton, MD). Bce выполняли с использованием 0,15 мг/мл измерения пептида при 25°C. Эксперименты проводили в диапазоне 185-260 нм и в трех параллельных опытах для увеличения отношений сигнала к шуму. Полученные спектры корректировали путем вычитания фона и анализировали в форме средней величины остаточной молярной эллиптичности, MRME, (градус \times см 2 \times децимоль $^{-1}$) от длины волны λ (нм). Содержание вторичной структуры рассчитывали из спектров с использованием метода CONTIN (Sreerama et al., 2000).
- 1.4.4 Синтез WL12-DOTAGA (WL12D). Три мг пептида (1,5 мкмоль) растворяли в 0,5 мл DMF и смешивали с 3,7 мг ангидрида DOTAGA (7,51 мкмоль в 0,5 мл DMF) и 20 мкл диизопропилэтиламина (DIPEA). Реакционную смесь перемешивали в течение 2 часов при

комнатной температуре, и продукт очищали на системе высокоэффективной жидкостной хроматографии с обращенными фазами (RP-HPLC) (Varian ProStar) с детектором с фотодиодной матрицей Agilent Technology 1260 Infinity (Agilent Technologies, Wilmington, DE), используя полупрепаративную колонку C-18 Luna (5 мм, 10×250 мм Phenomenex, Torrance, СА) и градиентное элюирование, начиная с 98% H_2O (0,1% TFA) и 2% MeOH (0,1% TFA) и достигая 100% МеОН через 60 мин при расходе 4 мл/мин. Требуемый WL12D собирали на 44,5 мин, испаряли, растворяли в деионизированной воде и лиофилизировали с получением 3,1 мг (1,3 мкмоль) продукта в виде белого порошка (выход: 82,9%, фигура 2). Полученный конъюгат, солюбилизированный в $H_2O-MeOH$ 50% (по объему) с 0,1% муравьиной кислоты, подвергали анализу методом масс-спектроскопии с ионизацией электрораспылением (ESI Esquire 3000 плюс спектрометр Bruker Daltonics, Billerica, MA) (фигура 4). Теоретическая химическая формула: $C_{91}H_{128}N_{22}O_{20}S_{2}$. Наблюдаемая величина ESI-MS m/z: 2340,9 - $(M+1)^{+1}$, 1171,1 - $(M+2)^{+2}/2$ и 781,1 - $(M+2)^{+3}/3$. (Ожидаемая: 2340,65)

- 1.4.5 Получение комплекса $WL12-Cu^{2+}$. Растворяли 1,5 мг WL12D (0,64 мкмоль) в 200 мкл ацетата натрия (0,1M, pH=4,5 доведенный с помощью ледяной уксусной кислоты) и добавляли 55 0,02М водный раствор $CuCl_2$ (1,1 мкмоль). Полученную реакционную смесь инкубировали при 65°C в течение 30 минут и очищали методом RP-HPLC, как описано для WL12D (фигура 5), лиофилизировали, и полученный светло-голубой порошок анализировали методом ESI MS (фигура 6). Комплекс $WL12-Cu^{2+}$ затем использовали для оптимизации условий проведения RP-HPLC, и в качестве стандарта для введения радиоактивной метки, и для исследования конкурентного связывания PD-L1 и PD-1 (фигура 7). Теоретическая химическая формула: $C_{110}H_{156}N_{26}O_{29}S$. Наблюдаемая величина ESI-MS m/z: 2402,6 - $(M+1)^{+1}$, 1201,9 - $(M+2)^{+2}/2$ (Ожидаемая: 2402,18)
- 1.4.6 Исследование ингибирования связывания PD-L1 и PD-1. Исследование конкурентного ингибирования в отношении связывания

PD-L1 с PD-1 оптимизировали из ранее описанного исследования на основе резонансного переноса энергии флуоресценции (FRET) при консультациях с фирмой Cisbio (Woodard et al., 2014). исследования связывания/ингибирования проводили в 21 мкл буфера для исследования FRET (dPBS, альбумин бычьей сыворотки (0,1%, масса на единицу объема), Tween-20 (0,05% по объему) и фторид натрия (400 мМ)). Условия исследования сначала оптимизировали для концентраций PD-1 и PD-L1. PD-1-Ig при конечной концентрации 10 ${\rm HM}$, 20 ${\rm HM}$ и 40 ${\rm HM}$ инкубировали в течение 15 ${\rm минут}$ с ${\rm PD-L1-}$ His-tag при конечных концентрациях в диапазоне от 0,65 до 320 нМ каждой концентрации проводили при параллельных эксперимента), затем добавляли 10 мкл FRET буфера, содержащего человеческий анти-IqG-Eu³⁺ криптат (IgG-Eu, концентрация 2 нМ) и анти-6HIS-XL665 моноклональное антитело (анти-6HIS-XL665, конечная концентрация 40 нМ). После инкубации при комнатной температуре в течение одного часа, добавляли 1 мкл раствора буфера для исследования NaF (конечная концентрация, 400 мМ), и считывали планшет, используя счетчик с мультиизотопным режимом Perkin Elmer Victor3 1420 (Perkin Elmer, Waltham, MA).

Для исследования конкурентного ингибирования, ингибиторы (WL12, WL12D и WL12-Cu $^{2+}$, диапазон: от 1 пМ ДО 1 предварительно инкубировали с PD-L1-His-taq (80 нМ конечная концентрация) в 10 мкл буфера для исследования в течение 15 затем добавляли 5 мкл буфера для исследования, минут, содержащего PD-1-Iq (конечная концентрация 20 нM), инкубировали в течение 15 минут. Затем добавляли 5 мкл буфера для исследования с IgG-Eu (конечная концентрация 2 нМ) и анти-6HIS-XL665 (конечная концентрация 40 нМ). После 1 часа инкубации комнатной температуре, добавляли 1 мкл NaF концентрация 400 мМ), и считывали планшет, используя счетчик с мультиизотопным режимом Perkin Elmer Victor3 1420. Величины IC₅₀ рассчитывали путем аппроксимации данных сигмоидальной кривой доза-эффект и уравнения Ченга-Прусоффа с полученной величиной $K_D=70$ нМ для PD-L1 при концентрации 80 нМ. Все эксперименты проводили в трех параллельных опытах

повторяли три раза.

- университета (University of Wisconsin) 64 CuCl $_2$ испаряли небольшого объема и превращали в 64 Cu(OAc) $_2$ путем титрования 0,1 М раствором ацетата натрия. Для введения радиоактивной метки, приблизительно 10 мкг конъюгата пептида WL12D (4,27 нмоль) в 100 мкл ацетата натрия смешивали с ~185 МБк (~5 мКе) 64 Cu(OAc) $_2$ и 65°C В 30 инкубировали идп течение минут. Полученный радиоизотопный индикатор очищали на полупрепаративной колонке С-18 (Luna, 5 мкм, 10×250 мм; Phenomenex) с использованием системы Varian ProStar, оборудованной радиоактивным одноканальным детектором излучения (model 105S; Bioscan, Poway, California) и детектором поглощения УФ-излучения Varian ProStar, установленного на длину волны 280 нм. Применяли градиентное элюирование, начиная с 98% H_2O (0,1% TFA) и 2% MeOH (0,1% TFA) и достигая 90% МеОН в течение 70 минут при расходе 5 мл/мин. $[^{64}$ Cu]WL12 собирали на $\sim 56,2$ минуте (время удерживания для пептида: 53,6 минуты), испаряли, разбавляли физиологическим раствором, содержащим 5% DMSO и две капли Tween 20, и использовали для $in\ vitro$ и $in\ vivo\$ оценки. $[^{64}$ Cu]WL12 получали с выходом 52,09 \pm 6,3% и с удельной активностью 1,9 \pm 0,11 мКе/мкг.
- 1.4.7. Клеточные линии. Линия клеток яичника китайского хомячка СНО-К1 (далее называемая как СНО) и ЛИНИЯ MDAMB231 трижды негативного рака молочной железы (TNBC) приобретали у Американской коллекции типовых культур Manassas, VA) и пересеивали в течение не позднее 3 месяцев, после чего получали новые культуры из флаконов с замороженными клетками. Клетки ЛИНИИ SUM149 были любезно предоставлены доктором Stephen P. Ethier из Медицинского университета Южной (Medical University of Каролины South Carolina), и аутентифицировали методом анализа STR-профиля (профиля короткого тандемного повтора) в Центре генетических ресурсов Университета Джонса Хопкинса. Клетки SUM149 хранили в среде Хэма F-12 с 5%

- FBS, 1% P/S и 5 мкг/мл инсулина и 0,5 мкг/мл гидрокортизона. Все другие клеточные линии культивировали в рекомендованных АТСС средах в инкубаторе при 37° С в атмосфере, содержащей 5% CO_2 . Клеточную линию CHO, стабильно экспрессирующую человеческий PD-L1 (далее называемый как hPD-L1), генерировали в нашей лаборатории (Chatterjee et al., 2016) и хранили в среде F-12K с 10% FBS, 1% P/S и 2 мг/мл G418.
- 1.4.8. Проточная цитометрия. Клетки в суспензии собирали центрифугированием, и прилипшие клетки отделяли с использованием не содержащего фермент буфера для диссоциации клеток на основе PBS (Thermo Fisher Scientific, Waltham, MA). Собранные клетки промывали два раза буфером для проточной цитометрии (1x PBS с 2 мМ EDTA и 0,5% FBS). Клетки окрашивали с помощью антитела против человеческого PD-L1, конъюгированного с фикоэритрином (обозначаемого как BD-MIH-PE, клон # MIH1, номер по каталогу 557924, Becton Dickinson, Franklin Lakes, NJ), в соответствии с протоколом фирмы-производителя, и анализировали на проточном цитометре FACSCalibur (Becton Dickinson). Регистрировали, по меньшей мере, 20000 событий.
- 1.4.9. In vitro связывание. In vitro связывание $[^{64}$ Cu]WL12 с hPD-L1, с клетками СНО, MDAMB231 и SUM149 определяли путем инкубации 1 мк Ке радиоизотопного индикатора с 1×10^6 клеток в течение 1 часа при 37°С. После инкубации, клетки промывали три раза холодным PBS перед подсчетом на автоматическом счетчике гамма-излучения (1282 Compugamma CS, Pharmacia/LKBNuclear, Inc., Gaithersburg, MD). Для демонстрации PD-L1 специфического связывания [64 Cu]WL12, проводили блокирование PD-L1 с помощью 1 мкМ или пептида WL12, или гуманизированного антитела против PD-L1 атезолизумаба. Средние величины интенсивности флуоресценции коррелировали с % поглощения инъецированной дозы (%ИД). Все исследования по клеточному поглощению проводили трех параллельных опытах для каждой клеточной линии и повторяли три раза.
 - 1.4.10. Экспериментальные модели на животных. Исследования

на животных проводили в соответствии с протоколами, одобренными Комитетом по уходу за животными и их использованию в научных целях (ACUC) Университет Джонса Хопкинса. Самок мышей в возрасте шести до восьми недель, не страдающих диабетическим ожирением, с тяжелой комбинированной иммунной недостаточностью (NSG), получали из Центра по исследованию и оценке животных с подавленным иммунитетом Университета Джонса Хопкинса. Мышам имплантировали подкожно в противоположные стороны верхних частей боковых поверхностей 10×10^6 клеток CHO-PDL1 и CHO. Мышей использовали пля экспериментов ПО визуализации или биораспределению, когда опухоли достигали объема $200-300 \text{ мм}^3$.

- 1.4.11. Визуализация позитронно-эмиссионной методом томография-компьютерной томографии (РЕТ-СТ) ксенотрансплантатов y мышей. Мышам инъецировали внутривенно 150 мкКе [64 Cu]WL12 в 200 мкл физиологического раствора (n=3), подвергали анестезии 3%изофлураном перед помещением на сканер. Во время визуализации, у мышей поддерживали концентрацию 1% изофлурана. РЕТ изображения получали в двух положениях ложа при длительности 10 мин/ложе в PET/CT сканере для мелких животных ARGUS (Sedecal, Madrid, Spain). CT сканирование (512 проекций) проводили в конце каждого РЕТ сканирования для анатомической сорегистрации. Данные РЕТ реконструировали, используя алгоритм максимизации двумерноупорядоченных подмножеств-ожиданий (2D-OSEM), и вводили поправку на время нечувствительности и радиоактивный распад. Рассчитывали значения %ИД на кубический сантиметр на основе градуировочного коэффициента, полученного ВN известного количества радиоактивности. Визуализацию конечных данных и формирование изображения проводили с использованием Amira® (FEI, Hillsboro, OR).
- 1.4.12. Ex vivo биораспределение. Мышам, несущим hPD-L1 и CHO опухоли с высокой и низкой экспрессией PD-L1 (n=5), соответственно, инъецировали внутривенно 40 мкКе [64 Cu]WL12. Собирали кровь, опухоли и выбранные ткани, взвешивали их и определяли радиоактивность в автоматическом счетчике гамма-

излучения (Perkin Elmer – 2480 Automatic Gamma counter – Wizard2 3" Wallac) через 1 час и 2 часа после инъекции [64 Cu]WL12. Для исследования блокирования, мышам совместно инъецировали 2 мг/кг (50 мкг) немодифицированного пептида с радиоизотопным индикатором. Рассчитывали величины процента инъецированной дозы на грамм ткани (8 ИД/г) на основе коррекции сигнала разложения и нормализации к внешним [64 Cu] стандартам, которые измеряли в трех параллельных опытах. Приведенные данные по биораспределению представляют собой среднее значение $^{\pm}$ стандартная ошибка среднего значения (SEM).

1.4.13. Анализ данных. Статистический анализ проводили с использованием непарного двустороннего критерия, применяя программное обеспечение Prism 6 (GraphPad Software, La Jolla, CA). Считали, что P-величины < 0,05 являются значимыми, и образцом для сравнения являлась клеточная линия или опухоль с низкой экспрессией PD-L1. Данные проточной цитометрии анализировали с помощью программного обеспечения FlowJo (Tree Star, Ashland, OR.). Величины IC_{50} и K_{i} определяли с использованием программного обеспечения Prism 6 (GraphPad).

ПРИМЕР 2

Применение целенаправленной позитронно-эмиссионной томографии PD-L1 при разработке PD-L1 таргетного лекарственного средства

2.1 Обзор. Иммунотерапия рака (CIT) повышает выживаемость пациентов в результате продуцирования долговременных ответных реакций в целом ряде злокачественных новообразований. Однако, почти 70% пациентов, которых подвергают таргетным терапиям иммунной контрольной точки, не восприимчивы к монотерапии (Lipson, et al., 2015; Topalian, et al., 2015). Существует неудовлетворенная потребность в идентификации детерминант ответа терапии. ТОЧНО направленной Комбинированные контрольной точки приводили к пролонгированию выживания, ценой увеличения связанных с иммунитетом негативных проявлений (irAE), что подтверждает необходимость в более глубоком понимании комбинированных стратегий для ослабления

токсических эффектов (Marrone, et al., 2016). Крайне необходимо фокусировать исследования на выявлении новых биомаркеров для контрольной точки и иммунной ИX комбинаций для расширения области их применения и увеличения продолжительности действия, ослабления токсических И ДЛЯ Соответственно, одним аспектом раскрытого объекта настоящего является разработка стратегий применения изобретения визуализации PD-L1 методом позитронно-эмиссионной томографии (РЕТ) и разработка и оценка PD-L1 таргетных терапевтических средств. В отличии от применяющихся в настоящее время стратегий, основывающихся на биомаркерах в плазме или тканях (биоптатах), являются инвазивными и труднореализуемыми в которые пациентов на поздних стадиях болезни, предполагаемое изобретение позволяет определять соотношения дозы и занятости таргетных терапиях (антитела, пептиды, низкомолекулярные соединения) в опухоли в релевантных in vivo моделях, используя визуализацию PD-L1 методом позитронно-эмиссионной томографии (PET).

Преимущества, достигаемые Bрезультате количественной оценки динамики PD-L1 основе -оннодтивоп на эмиссионной томографии. Недавно было обнаружено, что накопление PD-L1-таргетного терапевтического препарата AtzMab мышиного химерного организма (PRO) в опухолях NSCLC, толстой кишки является не полностью зависимым от экспрессии РD-L1, так как H2444 NSCLC ксенотрансплантаты, которые имеют более высокую экспрессию PD-L1, накапливали существенно количества меченного радиоактивным изотопом AtzMab по сравнению с количествами, наблюдаемыми в ксенотрансплантатах рака молочной железы низкой экспрессией PD-L1, определяемыми иммуногистохимическим исследованием и проточной цитометрией (Chatterjee, al., 2016). Аналогично, в случае моделей et опухолей на изогенных мышах, системно инъецируемый меченный радиоактивным изотопом PRO первично ассоциировался с сосудистой И характеризовался небольшой диффузией опухоли, отсутствием диффузии в паренхиму опухолей (Deng, et al., 2016). результаты могут быть объяснены патофизиологическими

характеристиками, в том числе повышенным тканевым давлением внутри опухолей (Baxter, et al., 1989; Baxter, et al., 1990), которые препятствуют накоплению терапевтических средств внутри опухолей, что является важным благоприятствующим фактором для возникновения резистентности к терапии (Goel, et al., 2011). Кроме того, такие эффекты могут потенциально затруднять доступ в опухолевые клетки PD-L1-таргетным терапевтическим средствам, которые в первую очередь оказывают действие на опухолевые клетки и опухолевые иммунные инфильтраты. Поэтому, пептиды, такие как $WL12/[^{18}F]WL12$ или аналогичные меченные радиоактивным изотопом пептиды, могут проникать в опухолевую ткань с достижением клеток-мишеней более рационально и эффективно, чем антитела, значительного меньшего размера их молекул. вследствие использования соответствующих методов анализа И $[^{18}F]$ WL12 измерения или измерения, сделанные с использованием аналогичных меченных радиоактивным изотопом пептидов, могут, поэтому, способствовать установлению/оптимизации терапевтических доз mAb, необходимых для достижения требуемой занятости внутри опухолевой ткани в опухолевых клетках-мишенях.

была применена целенаправленная Поэтому, -OHHOGTNEON эмиссионная томография PD-L1 для разработки D-L1-таргетного лекарственного средства. Для оценки его потенциальной ценности, в инновационной стратегии использовали [64Cu]WL12 для оценки и сравнения характеристик захвата PD-L1 опухоли в отношении дозы терапевтического антитела против PD-L1 атезолизумаб (AtzMab) зависимости от локализации mAb в опухолях, наблюдаемой методом Предклинические наблюдения, описанные В изобретении, характеризуются практически важными с клинической точки зрения результатами. У пациентов, аналогичные измерения PD-L1 на основе визуализации методом РЕТ могут потенциально использоваться для выбора интенсивности терапевтического дозирования С целью усиления терапевтических эффектов (Yang, et al., 2013; Oude Munnink, et al., 2016). Кроме того, такие измерения PD-L1 методом позитронно-эмиссионной томографии (PET) могут потенциально использоваться в качестве руководства ДЛЯ разработки в будущем новых PD-L1-таргетных терапевтических

средств, в силу того, что эти измерения позволяют количественно оценивать потенциальное таргетное взаимодействие в месте опухоли.

- 2.1.2. Инновации при использовании позитронно-эмиссионной томографии PD-L1 при разработке и оценке лекарственного настоящем изобретении инновационные препарата. Раскрытые в стратегии визуализации PD-L1 методом позитронно-эмиссионной томографии с использованием пептида позволяют оценивать активность таргетного взаимодействия используемых в настоящее время и разрабатываемых терапевтических средств против PD-L1 (то есть, занятость и время удерживания) в опухоли в тех случаях, наиболее целесообразно. когда ЭТО Динамика плотности/оборачиваемости PD-L1, а также величина массы опухоли, экспрессирующей PD-L1, которая влияет на концентрации mAb сыворотке, а также полнота перфузии mAb в опухоли и достигаемые накопления mAb, значительно внутриопухолевые влияют терапевтическую эффективность. Для определения требуемых уровней доз mAb и расчета занятости поверхности молекулы-мишени ранее использовали меченные радиоактивным изотопом антитела (Deng, et а1., 2016), но ключевым недостатком такого подхода является то, что PD-L1 занятость в месте приложения действия в опухоли может быть только прогнозируемой. Раскрытый в настоящем изобретении позволяет эффективно устранять TOTE недостаток, осуществляя количественную оценку PD-L1 занятости В месте В дополнение K объяснениям влияния физиологических параметров опухоли на достижение эффективных доз и накапливания mAb, предполагается, что измерения методом PET на основе нового радиоизотопного индикатора могут улучшить текущие представления по поводу причины того, почему некоторые пациенты с PD-L1-положительными опухолями не отвечают на противораковую иммунотерапию (CIT), И МОГУТ помочь выбрать стратегии интенсификации дозы для достижения требуемых уровней занятости в опухолях.
- 2.1.3. Оценка использования позитронно-эмиссионной томографии PD-L1 при разработке и исследовании PD-L1-таргетных терапевтических препаратов.

2.1.3.1 Обоснование

Терапевтические антитела, нацеленные на PD-L1 и PD-1, продемонстрировали исключительную эффективность на PD-L1-положительными части пациентов С опухолями. При используемых в настоящее время дозах, группы пациентов, которых достигается лечебный эффект, и группы пациентов, которые не постигается клинического ответа, демонстрируют приблизительно 65% PD-L1 занятости в мононуклеарных клетках периферической крови (PBMC), но взаимосвязь PD-L1 занятости в мононуклеарных клетках периферической крови (РВМС) и занятости в опухолях, которая является динамической, плохо изучена (Brahmer, et al., 2012). Кроме того, исследования на моделях опухолей показали, что, в случае некоторых опухолях, антитела против PD-L1 присутствуют исключительно в сосудистой сети опухоли (Deng, et. al., 2016). Предварительные результаты С меченным радиоактивным изотопом AtzMab совпали с этими результатами в NSCLC ксенотрансплантатах (Chatterjee, et al., 2016). Взятые вместе, эти результаты позволяют предположить, что для более высокой информативности методов лечения, направленных на PD-L1, необходимо иметь более четкое представление о занятости PD-L1 в опухоли и ее зависимости от дозы, а также от времени удерживания против PD-L1 В опухоли. Не приводя доказательств какую-либо конкретную теорию, тем не менее, можно что позитронно-эмиссионная томография PD-L1 собой ценный инструмент ДЛЯ оценки таких фармакокинетических показателей антител против PD-L1 (или пептидов и низкомолекулярных соединений) в отношении таргетного взаимодействия и времени удерживания. Кроме того, полагают, что информации, дозирование, основанное на получаемой методом позитронно-эмиссионной томографии, позволит изменять иммунный профиль в опухоли, который может быть количественно определен визуализации PD-L1 методом позитронно-эмиссионной путем томографии и скоррелирован с вызванными терапией изменениями экспрессии PD-L1 в опухоли и инфильтратов иммунных клеток.

2.1.3.2 Репрезентативные данные. Меченные радиоактивным изотопом версии доступных антител против PD-L1 и производные PD-

1 были использованы для неинвазивной детекции экспрессии PD-L1 (Chatterjee, et al., 2016; Deng, et al., 2016; Hettich, et al., 2016; Josefsson, et al., 2016; Lesniak, et al., 2016; Heskamp, al., 2015; Maute, et al., 2015). Для этого, выбирали терапевтическое антитело AtzMab с точки зрения его человеческой и мышиной перекрестной реактивности, и демонстрировали специфичность при детекции PD-L1 методами позитронно-эмиссионной томографии (PET), однофотонной эмиссионной компьютерной (SPECT) оптической томографии И визуализации TNBC NSCLC ксенотрансплантатах И человека иммунокомпрометированных мышей и в модели 4Т1 изогенной опухоли молочной железы (Chatterjee, et al., 2016; Lesniak, et al., 2016) (фигура 20A, фигура 20B, фигура 2°C и фигура 20D). AtzMab связывает как человеческий, так и мышиный PD-L1, с высокой аффинностью с константами диссоциации (Kd) 0,43 нМ и 0,13 нМ, соответственно. (Irving, et al., 2012; Powles, et al., 2014). AtzMab находится на стадии клинической оценки для лечения прогрессирующего или метастатического рака мочевого (Powles, et al., 2014), меланомы (Hamid, et al., 2013), немелкоклеточного рака легких (Spigel, et al., 2013), почечноклеточной карциномы (Cho, et al., 2013), трижды негативного рака молочной железы и некоторых других типов рака.

Было обнаружено, что накопление меченного радиоактивным изотопом AtzMab в опухолях является PD-L1-специфичным при обоих (немелкоклеточном раке легких (NSCLC) и трижды негативном раке молочной железы (TNBC)) (Chatterjee, et al., 2016; Lesniak, et al., 2016). Было также обнаружено, $[^{111}In]$ AtzMab не является полностью накопление зависимым PD-L1, что указывает на TO, ЧТО интерстициальной жидкости, конвекция в опухоли пространственные изменения экстравазации могут быть некоторыми из влияющих факторов, проблемой, которая часто обсуждается при использовании антител (Baxter, et al., 1989). Ксенотрансплантаты MDAMB231 TNBC характеризовались более высокими накоплениями в опухолях (процентом инъецируемой дозы на грамм; %ИД/г), чем

ортотопические опухоли H2444 NSCLC, подкожные И характеризовались более высокой экспрессией PD-L1, определяемой как проточной цитометрией, так и иммуногистохимическим анализом al., 2016). (Chatterjee, et Используя специфичность универсальность нового радиоизотопного индикатор на основе визуализации PD-L1 методом РЕТ, была для кинетика накопления AtzMab в PD-L1-экспрессирующих опухолях in vivo с применением совершенно другого подхода, который учитывает большое число факторов, влияющих на распределение антитела в опухолях и который может применяться к целому ряду PD-L1 таргетных антител.

2.1.3.3 Накопление терапевтического антитела против PD-L1 в опухолях, обнаруживаемое позитронно-эмиссионной томографией PD-При оценке специфичности WL12 в отношении PD-L1, было обнаружено, что WL12 конкурирует с AtzMab за одно и тоже место связывания на PD-L1. Это дает новые и ранее непредвидимые возможности для оценки AtzMab терапии в местах опухолей, когда это необходимо, с использованием PD-L1-направленной позитронноэмиссионной томографии. Более ясное понимание распределения антител против PD-L1 в опухолях может влиять на дозирование антител в клинике и применяемый в процессе лечения мониторинг. Поэтому, проводилось исследование способности [64Cu]WL12-PET оценивать связывание AtzMab c PD-L1 внутри опухолей. Накопление радиоактивности в hPD-L1 опухолях снижалось на 80% у мышей, которым и инъецировали AtzMab (20 мг/кг), что количественно [⁶⁴Cu]WL12-PET оценивалось С помощью И исследований фигура 21A, 21B биораспределению (фигура И фигура 21C). Наблюдали пониженные, но не значительные, различия в поглощениях радиоактивности в других тканях, за исключением почек, что указывало на то, что $[^{64}Cu]WL12$ связывание является специфичным в отношении человеческого PD-L1 (Lesniak, et al., 2016). результате in vitro исследований связывания было обнаружено, что немеченый WL12 ингибировал, зависящим от концентрации образом, связывание Cy5-конъюгированного AtzMab с PD-L1 с величиной IC50 37,8 нМ, подтверждая, что оба лиганда конкурируют за связывание PD-L1 (фигура 21D), хотя AtzMab обладал более

активностью, чем WL12, при ингибировании [64 Cu]WL12 связывания, что позволяет осуществлять детекцию незанятых уровней PD-L1 в после дозирования AtzMab. В совокупности, что сайты результаты показывают, связывания WL12 и AtzMab перекрывают друг друга, указывая на потенциальную возможность использования $[^{64}Cu]WL12-PET$ для оценки таргетного взаимодействия AtzMab удержания (активность И времени таргетного взаимодействия) в PD-L1-экспрессирующих опухолях. Применимость этого подхода была распространена на линии раковых клеток с повышением экспрессии PD-L1. В ксенотрансплантатах трижды негативного рака молочной железы, наблюдали способность [64Cu]WL12 осуществлять детекцию накопления AtzMab экспрессирующих PD-L1 ксенотрансплантатах MDAMB231 (фигура 22). обнаруживали значительное уменьшение визуализирующего средства для позитронно-эмиссионной томографии PD-L1 у мышей, получающих дозу 20 мг/кг AtzMab.

Есть основания полагать, ЧТО возможно аналогичное применение с другими терапевтическими антителами направленного действия в отношении PD-L1, такими как авелумаб (AvMab). AvMab представляет собой человеческое IgG1 антитело, которое настоящий момент проходит фазу III клинических испытаний отношении нескольких типов рака, включающих немелкоклеточный рак (NCT02395172), прогрессирующую почечно-клеточную карцинома и рак желудка. Исследовали кристаллическую структуру PD-L1 С AvMab, И было обнаружено, взаимодействует с некоторыми из тех же самых аминокислот на PD-L1 (R113, D61 и E58), что и WL12 (Liu, et al., 2016), что возможное эффективное применение радиоизотопных указывает на WL12 для оценки *in vivo* таргетного индикаторов на основе взаимодействия с участием AvMab и, возможно, с участием других терапевтических mAbs, направленных на PD-L1. Эти исследования обосновать возможность применения товеляют эмиссионной томографии PD-L1 для оценки существующей mAb терапии в отношении PD-L1 с точки зрения активности ее направленного воздействия.

<u>Неинвазивная количественная оценка взаимодействия PD-L1 с</u> лечебно-диагностическими антителами

Обзор. На терапевтическое применение нацеленных на лиганд 1 белка программируемой смерти клеток (РD-L1), приходится почти четверть клинических испытаний ингибиторов иммунной контрольной точки. Общие уровни PD-L1, их занятость терапевтическими средствами для PD-L1 и соответствие дозирования степени и продолжительности таргетного взаимодействия в опухолях для ДОСТИЖЕНИЯ оптимального ОТОННУММИ ответа остаются PD-L1 неизвестными. На занятость В ОПУХОЛЯХ динамические изменения экспрессии PD-L1, а также внутренние и внешние параметры опухоли, которые изменяют концентрацию антител в плазме и в опухоли. Однако, такие ключевые изменения учитываются при проведении оценок периферической фармакокинетики фармакодинамики. Для устранения этого пробела в понимании дозой медикаментозным взаимосвязи между И воздействием для PD-L1, был исследован терапевтических средств меченный радиоактивным изотопом связывающий PD-L1 пептид, который позволял количественно определять динамические изменения PD-L1. Структурный экспрессии анализ показал совпадение терапевтического взаимодействий пептида И моноклонального (mAb) PD-L1, что позволяет измерять С занятость терапевтического mAb в опухолях с помощью позитронно-эмиссионной (РЕТ). Исследования на многих ксенотрансплантатных моделях методом визуализации с помощью позитронно-эмиссионной томографии (РЕТ) и биораспределения показали, что изменяющаяся экспрессия PD-L1 и занятость PD-L1 терапевтическими антителами быть определены количественно. Кроме того, измеряли занятость PD-L1 В опухоли тремя различными антителами количественно определяли влияние дозы и времени на занятость PD-L1 в опухоли. Позитронно-эмиссионная томографии PD-L1 на основе пептида является перспективным инструментом для оптимизации дозы и схем лечения с целью снижения связанных с иммунитетом побочных эффектов.

Более конкретно, в раскрытом объекте настоящего изобретения предлагается использовать количественную визуализацию методом

позитронно-эмиссионной томографии (РЕТ) для решения проблем, характеристикой уровней экспрессии С PD-L1 направленного взаимодействия PD-L1 и mAb в опухоли in vivo. Этот подход является эффективным для повторных измерений таргетной экспрессии в опухолях (Willman, et al., 2008) и для разработки и оценки лекарственных средств, но он используется только в редких случаях для исследования занятости рецепторов в онкологии (Rathkopf, etal., 2013), и не применяется конкретно ДЛЯ фармакокинетической и фармакодинамической оценки PD-L1 или PD-1 mAbs (Peterson, etal., 2008; Linden, etal., 2006).

Недавно был разработан низкомолекулярный пептид, меченный радиоактивным изотопом 64 Cu, [64 Cu]WL12, который связывает аффинностью и специфичностью человеческий PD-L1 позволяет получать высококонтрастные изображения в течение 120 ним после введения радиоизотопного индикатора (Chatterjee, etal., 2017). В этом примере описывается [64Cu]WL12-РЕТ для детекции PD-L1 и количественной оценки динамических изменений экспрессии PD-L1 в экспериментальных моделях рака легкого И рака молочной железы. Оценивали возможность использования $[^{64}Cu]WL12$ РЕТ для оценки взаимодействия PD-L1 с тремя различными mAbs, одобренными Управлением по контролю за пищевыми продуктами и лекарственными средствами, атезолизумабом, авелумабом и дурвалумабом (DurMab). Кроме того, неинвазивно оценивали соответствие PD-L1 mAb дозы степени продолжительности взаимодействия PD-L1 в опухоли.

Уровень техники. Противораковая иммунотерапия (CIT) позволяет достигать долговременных улучшений в случае различных злокачественных новообразований. Одной ИЗ предпочтительных мишеней для противораковой иммунотерапии является лиганд 1 белка программируемой смерти клеток (PD-L1) иммунной контрольной точки. PD-L1 экспрессируется многими опухолями В качестве средства уклонения от действия противоопухолевых цитотоксических Т-клеток (Topalian, etal., 2016), который вызывает подавление иммунитета через непосредственное связывания рецептора (Okazaki, etal., 2007; Topalian, etal., 2015). На стадии клинических PD-L1 исследований находятся многочисленные

моноклональные антитела (mAbs), которые ингибируют взаимодействие PD-L1:PD-1, и почти 30% пациентов, подвергающихся этим формам терапии, демонстрируют долговременные улучшения (Topalian, etal., 2015; Lipson, etal., 2015). Однако, несмотря на достигнутые успехи, отсутствует полное понимание биологических механизмов, которые способствуют нетипичным видам ответных реакций, таким как замедленный или комплексный регресс опухоли, что ставит клинические проблемы и ограничивает возможность клиницистов в усовершенствовании методов терапии контрольной точки.

Преимущественно считают, что терапевтическое действие моноклональных тел (mAbs) против PD-L1 происходит внутри микроокружения опухоли (Topalian, et al., 2015). Однако, наличие (PD) данных является ограниченным; они не фармакодинамических отражают таргетное взаимодействие в месте воздействия (в опухоли), они приводятся в ограниченном числе исследований, и их получают с использованием мононуклеаров периферической крови (PBMCs). Для антитела BMS-936559 против PD-L1, сообщалось о равномерной таргетной занятости 64-70% для доз в диапазоне от 0,1 мг/кг до 10 мг/кг (Brahmer, etal., 2012). Многое остается невыясненным по поводу расположения PD-L1 mAbs в наиболее подходящем месте, то есть, в опухоли, и соответствия дозирования степени и продолжительности таргетного взаимодействия ДЛЯ обеспечения оптимального иммунного ответа.

Наиболее хорошо изученным прогнозирующим биомаркером для терапевтического мониторинга PD-L1/PD-1 таргетных терапий иммуногистохимическое (IHC) исследование PD-L1 является (Gibney, etal., 2016). Однако, этот метод имеет существенные недостатки, так как он требует использование биоптатов ограниченной доступности, и он может некорректно отражать изменения во времени иммунного микроокружения опухоли (ТМЕ) и внутриопухолевую и межопухолевую гетерогенность экспрессии PD-L1 (Mansfield, etal., 2016; McLaughlin, etal., 2016). Существует неудовлетворенная потребность в неинвазивной оценке уровней экспрессии PD-L1, динамики и расположения терапевтических средств для PD-L1 в первичных и метастатических опухолях, и проведения этой оценки стандартным клиническим методом визуализации.

3.3 Результаты

3.3.1 Структурный анализ и in vitro подтверждение PD-L1 взаимодействия с WL12 и PD-L1 mAbs. WL12 представляет собой 14 аминокислот, который ингибирует PD-L1:PD-1 пептид взаимодействие С высокой аффинностью $(IC_{50}$ (Chatterjee, etal., 2017). В результате ранее проведенного анализа на основе моделирования на молекулярном уровне было сделано предположение о перекрытии на поверхности взаимодействия PD-L1:WL12 и PD-L1:PD-1 с четырьмя аминокислотами PD-L1 (Y56, E58, и А113), которое способствует протеканию значительных молекулярных взаимодействий (Chatterjee, etal., 2017). Погребенная PD-L1 комплексе поверхность В С терапевтическим больше, чем ${A}^2$) атезолизумаб (AtzMab) (2,106)значительна погребенная поверхность PD-1 $(1,970 \text{ Å}^2)$ (Lee, etal., 2017). Не приводя в качестве доказательства какую-либо конкретную теорию, тем не менее, можно предположить, что поверхность взаимодействия WL12 на PD-L1 также перекрывается с поверхностью взаимодействия клинически доступных терапевтических mAbs, так как они также предназначены для ингибирования PD-L1:PD-1 взаимодействия. Для этого предположения, предсказанные конформационные проверки формы связывания WL12 сравнивали с конформационными формами связывания PD-L1 mAbs. Перекрытие контактов AA между всеми mAbs, а также PD-1 и WL12, выявило общий домен связывания, состоящий из PD-L1 остатков Y56, E58, A113, M115 и Y123. Как было выявлено при визуализации поверхностей молекул PD-L1 (фигура 33A, фигура 34А), область перекрывания (бирюзовый цвет) образует глубокий карман и действует в качестве опорной точки для всех точек взаимодействия. Относительно площади поверхности, (красный цвет) взаимодействует с большей частью поверхности PD-L1 с петлевыми фрагментами из антитела, генерируя молекулярные контакты с остатками на все сторонах общего ядра связывания с перекрыванием с поверхностями взаимодействия от PD-1 (пурпурный цвет), WL12 (зеленый цвет), авелумаба (AveMab, оранжевый цвет) и дурвалумаба (DurMab, голубой цвет).

Для подтверждения данных описанного выше структурного анализа, приготавливали Су5-меченые AtzMab, AveMab и DurMab путем конъюгации антитела на выпускаемом промышленностью Су5 флуоресцентном N-гидроксисукцинимидном эфира, затем проводили исследования по конкурирующему ингибированию с WL12 в клетках СНО, конститутивно экспрессирующих PD-L1 (Cho-hPD-L1), и клетках рака молочной железы MDAMB231, которые по своей природе экспрессируют PD-L1 (Chatterjee, etal., 2016). Наблюдали зависящее от дозы WL12 ингибирование связывание Cy5-PD-L1 mAb с PD-L1 в 2-5 диапазоне ингибирующих концентраций Мн (фигура Проводили также испытания на клетках HCC827 H226 немелкоклеточного рака легкого (NSCLC). Каждые из клеток, которые по своей природе экспрессируют PD-L1, инкубировали с флуоресцентными версиями AtzMab, AveMab и DurMab в присутствии 5 WL12. Метод проточной цитометрия показывал значимое связывания, (P <0,001) флуоресценции уменьшение ਧਾਾਨ демонстрировало способность WL12 дополнительно нарушать взаимодействия антитело-PD-L1 (фигура 34C и фигура Дополнительное подтверждение специфичности взаимодействия WL12:PD-L1 было получено в результате того, что не отмечалось изменения флуоресценции связывания при использовании MDX1338, СХСR4-специфического антитела. PD-L1-положительные H226, MDAMB231 и hPD-L1) и PD-L1-негативные (Sum149 и CHO) клетки инкубировали с аналогом WL12, меченный радиоактивным изотопом 64 Cu ([64 Cu]WL12). Ранее было показано, что аналоги WL12 PD-L1 С высокой аффинностью $(IC_{50}<20)$ селективностью in vitro и in vivo в клетках hPD-L1/CHO, но это было подтверждено на линиях раковых клеток человека с изменяющейся экспрессией (Chatterjee, etal., 2017). Наблюдали высокое зависимое от экспрессии поглощение $[^{64}Cu]WL12$ в PD-L1 положительных клетках по сравнению с PD-L1 негативными клетками (P < 0,0001). Кроме того, обнаруживали значимое блокирование поглощения [64 Cu]WL12 во всех PD-L1 положительных клетках (P < 0,0001) в случае обработки с помощью 60 нМ mAbs по сравнению с контрольной обработкой с помощью PBS, в качестве дополнительной проверки специфичности связывания PD-L1 (фигура

результаты указывают на то, что $[^{64}\text{Cu}]\text{WL}12$ может использоваться для детекции уровней свободного PD-L1 в опухолях и для мониторинга взаимодействия PD-L1 с антителом с образованием PD-L1 mAbs.

3.3.2 Количественная оценка взаимодействия PD-L1 и AtzMab в опухоли. Для неинвазивной in vivo оценки взаимодействия PD-L1 с терапевтическими mAbs в опухоли, проводили исследования на ксенотрансплантатных моделях немелкоклеточного рака легких (NSCLC). Эти модели были выбраны в связи с тем, что почти 50%случаев немелкоклеточного рака легких (NSCLC) являются PD-L1подожительными, И иммуногистохимическое исследование используют в качестве прогнозирующего биомаркера у пациентов с NSCLC, подвергающихся терапии иммунной контрольной (Mansfield, etal., 2016). Мышей с тяжелой комбинированной иммунной недостаточностью, несущих ксенотрансплантаты из Н226 и НСС827 клеток, которые характеризуются низкой и умеренной экспрессией PD-L1, соответственно (фигура 36A), внутривенно вводили разовую дозу AtzMab (20 мг/кг в течение 24 часов). Изображения, полученные методом позитронно-эмиссионной томографии через 2 часа после инъекции $[^{64}Cu]WL12$, показали более высокое накопление $[^{64}Cu]WL12$ в HCC827 опухолях по сравнению с H226. Наблюдается четкое уменьшение накопления радиоактивности в опухолях мышей, которым вводили AtzMab, что указывает на более низкие уровни доступных PD-L1 сайтов по сравнению с контрольными мышами (фигура 35А и фигура 35В). Результаты, полученные визуализацией позитронно-эмиссионной томографии, дополнительно подтверждали ex vivo измерениями биораспределения (фигура 35D и фигура 35Е, фигура 36В и фигура 36С), которые показали значимые снижения величин [64Cu]WL12 процента инъецируемой дозы на грамм (%ИД/г) у мышей, обработанных с помощью AtzMab, по сравнению с контрольными мышами, обработанными с помощью физиологического раствора: 34% (P < 0,0001) у мышей с ксенотрансплантами H226 и 47% (P < 0,001) у мышей с ксенотрансплантами НСС827. Уровни PD-L1 подтверждали иммуногистохимическим исследованием PD-L1 в ксенотрансплантатах (фигура 35С и фигура 35F). Эти результаты показывают, что $[^{64}Cu]WL12$ может быть

использован для количественной оценки $in\ vivo$ таргетирования PD-L1 в опухоли с помощью AtzMab.

Для оценки воздействия разовой дозы AtzMab на различные целевые уровни PD-L1 в опухолях, проводили исследования методом позитронно-эмиссионной томографии (PET) исследования И биораспределения в опухолях, полученных их клеточной линии СНОhPDL1, которая характеризовалась от четырех до десяти раз более высокой экспрессией PD-L1, чем клетки немелкоклеточного рака легких (NSCLC) (фигура 36). Мыши, несущие опухоль CHO-hPDL1/CHO, вводили AtzMab (20 мг/кг В 24 течение [⁶⁴Cu]WL12 демонстрировали значимое снижение поглощения опухолях CHO-hPDL1 по сравнению с контрольными мышами 77% Исследования биораспределения показали уменьшение [64Cu]WL12 связывание в опухолях CHO-hPDL1 по сравнению опухолями, подвергавшимися воздействию AtzMab (фигура 36D) (P < 0,0001), 4TO демонстрирует возможность измерения таргетного воздействия AtzMab на PD-L1 в опухоли. Низкий уровень поглощения $[^{64}Cu]$ WL12 обнаруживали в был опухолях, который негативных CHO аналогичен поглощения в hPD-L1 опухолях, подвергнутых воздействию AtzMab. Эти наблюдения подтверждались сильной и слабой иммунологической реактивностью, обнаруживаемой В hPD-L1 CHO соответственно (фигура 351). Эти результаты демонстрируют, что [64Cu]WL12-РЕТ позволяет осуществлять детекцию градуированных уровней экспрессии PD-L1 в опухолях, и что разовая доза AtzMab 20 мг/кг может взаимодействовать с широким диапазоном уровней PD-L1 в опухолях.

3.3.3. Количественная оценка динамических изменений экспрессии PD-L1. Известно, что в ответ на воздействие различных PD-L1 повьшающей цитокинов подвержен важной регуляции интерфероном гамма (IFNy), которая способствует динамической и пространственно-временной гетерогенности экспрессии PD-L1 (Taube, etal., 2015; Taube, etal., 2012). Оценивали належность [⁶⁴Cu]WL12 для количественного определения индуцибельной экспрессии PD-L1 в опухолях in vivo с целью определения, может ли быть подвергнуто мониторингу методом [64 Cu]WL12-PET блокирование такого повышено регулированного PD-L1 путем воздействия AtzMab (фигура 37A, фигура 37B, фигура 37C, фигура 37D, фигура 37E и фигура 37F).

этого, генерировали линию клеток А549 NSCLC Для С доксициклин-индуцибельной экспрессии PD-L1 (A549-iPD-L1). A549 представляет собой клеточную линию Kras G12S аденокарциномы легкого, которая экспрессирует в низких количествах PD-L1 на клетки трансфектировали с PD-L1 исходном уровне. Эти лентивирусный pINDUCER20 комплексный (Meerbrey, etal., 2011), отбирали с помощью G418, подтверждали его пригодность для индукции PD-L1 методом проточной цитометрии (фигура 37A) и in vitro и in vivo исследований. Cy5-PD-L1-mAbs доксициклин-обработанными A549-iPDL1 связывание с блокировали с помощью WL12, что подтверждало специфичность WL12 (фигура 37B). Кроме того, инкубация клеток с $[^{64}Cu]WL12$ показало увеличение в 5,5 раз поглощение радиоактивности в обработанных сравнению с необработанными доксициклином клетках ПО содержащими низкие количества PD-L1 клетками A549 (P < 0,0001). [64Cu]WL12 связывание с доксициклин-обработанными клетками А549iPDL1 значимо снижалось (65%, P > 0,0001) в присутствии 60 нМ AtzMab, AveMab и DurMab (фигура 37C). Эти in vitro исследования были подтверждены in vivo исследованиями, показавшими, накопление [64Cu]WL12 в A549-iPDL1 NSCLC опухолях через 72 часа обработки доксициклином было на 65% выше, контрольных А549 опухолях (P > 0,0001). Это увеличение поглощения $[^{64}Cu]WL12$ в опухолях снижалось на > 75% в группе, которую подвергали обработке 20 мг/кг AtzMab, по сравнению с контрольными А549 опухолями, что было количественно оценено методом [64Cu]WL12-РЕТ и исследованиями по биораспределению (фигура 37D и фигура 37E). Иммуногистохимический анализ опухолей обнаруживал интенсивный PD-L1 сигнал в A549-iPDL1 опухолях, но не в А549 опухолях, подтверждая тем самым результаты визуализации и биораспределению (фигура 37F). Взятые совокупности, эти результаты демонстрируют потенциальную возможность использования $[^{64}Cu]WL12$ для детекции динамических

изменений уровней экспрессии PD-L1 и ее блокирования с помощью AtzMab. Соответственно, ожидается, что метод позитронноэмиссионной томографии (PET) будет играть ключевую роль в количественной оценке динамических изменений экспрессии PD-L1 в процессе стандартной клинической деятельности, предлагая новый подход в информационном обеспечении при принятии терапевтических решений.

3.3.4. Количественная оценка взаимодействия PD-L1 опухоли с различными антителами. Были разработаны меченные радиоактивным против PD-L1, и была продемонстрирована изотопом антитела потенциальная возможность их использования для неинвазивной оценки экспрессии PD-L1 в ксенотрансплантатах опухоли человека и моделях изогенных опухолей на мышах (Chatterjee, et al., 2016; Heskamp, et al., 2015; Maute, et al., 2015; Deng, et al., 2016; Hettich, et al., 2016; Josefsson, et al., 2016). Несмотря на то, что конъюгаты таких меченных радиоактивным изотопом антител в настоящее время используются в клинике для детекции PD-L1 (NCT02453984) и визуализации других опухолеспецифичных белков (Gebhart, etal., 2016) и для определения кинетики антител, тем не ИX повседневное применение в медицинской практике менее, ограничено. Для усиления контраста и детекции очага поражения (Pandit-Taskar, etal., 2015; Oosting, etal., 2016), необходимы радиоизотопные индикаторы с более короткими временами выведения (несколько часов против нескольких суток) (Wu, 2014). Дополнительным ограничением является TO, ЧТО результаты наблюдений, проведенных с использованием меченных радиоактивным изотопом антител, являются высокоспецифичными для исследуемого антитела и зависят от таких свойств антитела, как валентность, форма, размер, изоэлектрическая точка и доза, каждое из которых оказывает влияние его фармакокинетику. Такие присущие на моноклональным антителам (mAbs) биофизические характеристики также влияют на период полувыведения из плазмы, на воздействие на ткани и, безусловно, на их эффективность. Необходим новый подход, который: (i) обеспечивает таргетное взаимодействие PD-L1 с антителами, и вместе с тем (ii) принимает во внимание свойства моноклональных антител (mAbs), и (iii) и применим ко

антителам.

Оценивали возможности метода [64Cu]WL12-РЕТ неинвазивно количественно оценивать PD-L1 взаимодействие в опухоли с каждым ИЗ одобренных Управлением по контролю за пищевыми продуктами и лекарственными средствами антител, AtzMab, AveMab и Иммунодефицитных мышей, несущих опухоль МDAMB231, DurMab. подвергали воздействию AtzMab или AveMab, или DurMab, и через 24 часа получали их изображение методом $[^{64}Cu]WL12-PET$ (фигура 39A, фигура 39В, фигура 39С и фигура 39D). У всех мышей, подвергнутых воздействию антител, сигнал в опухолях был низким по сравнению с контрольными мышами, подвергнутыми воздействию физиологического раствора, что подтверждало низкие уровни свободного PD-L1 из опухоли, в которой происходило взаимодействие PD-L1 c mAbs и ИМИ радиоизотопного индикатора. количественные оценки опухолей подтверждали эти наблюдения демонстрировали приблизительно 60% меньшее поглощение на $[^{64}\text{Cu}]\text{WL}12$ в опухолях мышей, подвергнутых воздействию mAb (P < 0,0001), по сравнению с контрольными мышами, подвергнутыми воздействию физиологического раствора (фигура 39Е), через 120 минут после инъекции. Иммуногистохимический анализ контрольных подвергнутых воздействию физиологического раствора, показывал от умеренной до высокой PD-L1 интенсивность в опухолях (фигура 39F). Эти результаты являются демонстрацией того, что взаимодействие в опухоли PD-L1 с терапевтическими mAbs может [⁶⁴Cu]WL12-PET, количественно оценено методом зависимости от различающихся биофизических свойств, кинетики в плазме и тканях каждого антитела.

3.3.5. Влияние дозы на занятость PD-L1 в опухоли. Кинетика антитела в опухолях определяется как внутренними, так и внешними параметрами опухоли (Agoram, 2009). Недавно было обнаружено, что факторы, помимо самой по себе экспрессии PD-L1, могут снижать PD-L1-таргетного терапевтического AtzMab накопление ОПОНИШИМ химерного антитела (PRO304397) В немелкоклеточного рака легких (NSCLC), трижды негативного рака молочной железы (TNBC) И В опухолях толстой кишки (Chatterjee, etal., 2016). Кроме того, при дозах менее 1 мг/кг,

системно инъецируемое меченное радиоактивным изотопом антитело PRO304397 против PD-L1 в основном ассоциировалось с сосудистой опухоли, и характеризовалось минимальной диффузией паренхиму опухоли в моделях PD-L1-экспрессирующей опухоли на изогенных мышах (Deng, etal., 2016). Эти результаты могут быть факторами, как повышенное внутриопухолевое объяснены такими тканевое давление (Baxter, etal., 1989; Baxter, etal., 1990), которое препятствует накоплению mAbs в опухолях, что способствует возникновению резистентности (Goel, etal., 2011). Такие могут также препятствовать доступу крупных по размеру молекул PD-L1-направленных средств к опухолевым клеткам-мишеням инфильтратам. В научных публикациях ИММУННЫМ отсутствуют сведения об измерении занятости PD-L1 и PD-1 терапевтическими средствами в опухоли, и эти измерения ограничивались оценками, сделанными с использованием мононуклеарных клеток периферической крови.

Для оценки влияния дозы на занятость PD-L1 в опухоли, мышам, несущим MDAMB231 опухоли, инъецировали возрастающие дозы AtzMab от 0,009 до 24 мг/кг массы тела. После истечения двадцати четырех часов, проводили исследования по визуализации И [⁶⁴Cu]WL12. 2 биораспределению через часа после инъекции Изображения мышей, полученные методом позитронно-эмиссионной вводили 0,06 мг/кг, томографии (PET), которым показывали отсутствие различий в поглощении [64Cu]WL12 при сравнении с контрольными мышами, которым не вводили антитело, что указывало на низкую занятость PD-L1 антителом AtzMab в опухоли 41А). При дозе 0,6 и 3,2 мг/кг, наблюдалось пропорциональное уменьшение интенсивности сигнала в опухолях, что указывало, в случае дозы 3,2 мг/кг, на почти 100% таргетное взаимодействие антитела в опухоли.

Накопленную радиоактивность (%ИД/г) в ХЯПОХУПО затем использовали для аппроксимации сигмоидальной E_{max} модели ингибирования. Данные %ИД/г соответствующим образом аппроксимировали и описывали взаимосвязь между дозой антитела AtzMab, используемого в этом эксперименте, и снижением свободных PD-L1 лигандов в опухоли (фигура 41В И фигура

обнаруживаемых с использованием пептидного радиоизотопного индикатора [64 Cu] WL12. Дозу AtzMab, действие которой приводило к 50% максимального взаимодействия с PD-L1 в опухоли (ID₅₀) или максимальному частичному снижению свободных PD-L1 лигандов от исходного значения (I_{max}), оценивали равной 0,43 мг/кг (таблица 2). Значения ID_{90} и ID_{96} , действие которых приводило к 90% и 96% I_{max} , соответствовали 0,87 мг/кг и 1,19 мг/кг, соответственно. Эти уровни доз сравнимы с дозой 1 мг/кг, сообщенной для PRO304397 в публикации Deng, etal., 2016. Полагая, что аналогичная средняя величина V_{ss} равна 50 мл/кг для антитела против PD-L1 и химерного антитела против PD-L1 PRO304397(21), приблизительно оценены, исходя из значений ${\rm ID}_{50}$, ${\rm ID}_{90}$ и ${\rm ED}_{96}$, значения концентраций в плазме, которые средние составляли 59 нМ (8,6 мкг/мл), 120 нМ (17,4 мкг/мл) и 164 нМ (23,8 мкг/мл), соответственно. Эти результаты указывают возможность использования измерений, сделанных в опухоли, для выбора и оптимизации дозы.

Взаимодействие антител с их мишенью отличается взаимодействия низкомолекулярных соединений, при связывание антитела может оказывать влияние на нормальную кинетику PD-L1, такую как стабилизация или интернализация PD-L1, и выработку анти терапевтических антител, которые могли оказывать значительное влияние на кинетику антитела в опухоли и крови (Tabrizi, etal., 2006). В ранее проведенных фармакокинетических исследованиях AtzMab сообщалось о нелинейной зависимости РК ниже дозы 0,6-1 мг/кг и линейной зависимости РК дозы 1 мг/кг, и отмечалась тенденция к снижению концентраций антитела в сыворотке крови у пациентов, к выработке анти терапевтических антител (Stroh, etal., 2017). Однако, влияние таких свойственных несвойственных для опухоли параметров на РК и занятость PD-L1 антителом в опухоли неизвестно.

Таблица 2. Влияние дозы на занятость PD-L1 в опухоли

Параметры фармакодинамической модели,	Среднее значение
единицы	параметра

	(% относительно
	стандартной ошибки)
Исходный уровень _{в свободных PD-L1 лигандах} , %ИД/г	5,91 (1%)
I _{max}	0,57 (3%)
ID ₅₀ , Mr/Kr	0,43 (10%)
Коэффициент Хилла	3,12 (19%)
Остаточная ошибка, %ИД/г	0,44 (14%)

Для исследования возможности [64Cu]WL12-PET ПО детекции изменения ВО времени кинетики антитела В опухоли, иммунодефицитным мышам, несущим опухоль МDAMB231, инъецировали 0,6 и 10 или 20 мг/кг дозу AtzMab, которая продуцировала нелинейную и линейную кинетику, соответственно, и проводили визуализацию методом позитронно-эмиссионной томографии (РЕТ) и исследования биораспределения через 24 и 120 часов. Через 24 часа, наблюдалось значительное снижение поглощения $[^{64}Cu]WL12$, отражавшееся также на величинах поглощения в опухоли во всех трех группах дозирования, по сравнению с контрольными группами, в которых не вводили антитело (фигура 41D и фигура 41E). Через 120 часов, наблюдалось значительное увеличение поглощения $[^{64}Cu]WL12$ в группе с введением дозы 0,6 мг/кг по сравнению с испытанием через 24 часа. В отличие от этого, не наблюдалось значительного временного различия в поглощении [64Cu]WL12 группах с дозированием 10 или 20 мг/кг антитела. Через 120 часов, поглощение $[^{64}Cu]WL12$ в опухоли было таким же, как в случае дозирования 0,06 мг/кг и в контрольных группах, в которых физиологический раствор, ЧТО вводили позволяло сделать предположение об удалении лекарственного средства из опухоли и отражало нелинейность значений РК для AtzMab при более низких дозах. Эти результаты показывают, что в модели на мышах помощью метода $[^{64}Cu]WL12-PET$ могут быть оценены зависящие от дозы и зависящие от времени изменения во взаимодействии PD-L1.

3.3.6. Обсуждения

В настоящее время проводятся сотни клинических испытаний терапевтических препаратов для иммунной контрольной точки, и примерно 25% из них рассматривают PD-L1 в качестве мишени.

только 30% пациентов, подвергающихся Поскольку терапевтическими препаратами, направленными на PD-L1, реагируют настоящее время проводятся исследования молекулярных и клеточные основ ответа и резистентности при MNTE терапевтическим применении методов, используя транскрипционные, генетические и эпигенетические Соответствие дозы накоплению лекарственного средства и насыщению мишени в опухоли, которое обуславливает эффективность, является неизвестным. Кроме того, большой размер молекул терапевтических антител ограничивает их проникновение в опухоль и создает конкретные проблемы при фармакодинамической оценке на месте действия. К настоящему времени еще не разработан эффективный метод, который позволял бы учитывать как внутренние, внешние параметры опухоли, получать в режиме реального времени данные о насыщенности/занятости PD-L1 в опухоли, и который можно было бы широко применять на практике. Этот недостаток знаний затрудняет выбор дозы, оптимизацию дозы, разработку терапии и оптимизацию терапии для снижения токсичности. В настоящем исследовании показано, что меченный радиоактивным изотопом PD-L1, связывающийся С позволяет пептид, неинвазивно осуществлять детекцию изменений и динамики уровней экспрессии PD-L1, и может использоваться для измерения занятости в опухоли учетом собственных параметров опухоли (экспрессии PD-L1, рециклинга, тканевого давления) и внешних параметров (изотипа кинетики, анти терапевтического катаболизма), что в результате позволяет получить универсальное мониторинга терапевтической средство ДЛЯ активности ингибирования PD-L1:PD-1 взаимодействия с помощью антител против PD-L1 в опухоли.

Несмотря на то, что для оценки экспрессии PD-L1 в опухолях ранее уже были разработаны клинические испытания на основе иммуногистохимического анализа (Herbst, et al., 2014; Roach, et al., 2016; Meng, et al., 2015), тем не менее, иммуногистохимическое исследование PD-L1 охватывает только малую (0,1%) единичного очага поражения. Такой подход имеет существенные недостатки, так как экспрессия

микроокружении опухоли является пространственно и временно гетерогенной, а ответные реакции, возникающие при применении иммунотерапии, являются по своей природе отсроченными, сложными и заторможенными. Кроме того, получаемые биопсией образцы ткани для проведения испытаний, как правило, имеются в ограниченных МОГУТ потребоваться количествах, OHN ДЛЯ определения молекулярного профиля с целью идентификации онкогенных мутаций, представляющих собой возможные мишени, в других сигнальных путях BRCA1, BRCA2, PARP), которые (например, обеспечивают резистентность восприимчивость ИЛИ K СУЩЕСТВУЮЩИМ (Nolan, et al. al., 2017). Такая высокая ценность образцов часто делают их практически непригодными для проведения множественных оценок PD-L1 для надежного отображения экспрессии PD-L1 (Gibney, et al., 2016). Эти проблемы усугубляются в случае пациентов с метастазирующей опухолью, для которых интенсивно изучают возможность применения терапии иммунной контрольной точки. Такие факторы не позволяют достичь существенных успехов в усовершенствовании иммунотерапевтических методов. Динамическая природа как экспрессии PD-L1, так и более широкого иммунного микроокружения опухоли, вызывает необходимость разработки позитронно-эмиссионной радиоизотопных индикаторов ДЛЯ томографии, которые позволяют быстро оценить микроокружение Описанные В настоящем изобретении исследования опухоли. использованием [64Cu]WL12 показывают, что в условиях стандартной клинической деятельности могут быть количественно определены переменные И динамические изменения экспрессии PD-L1, является важным клиническим аспектом при отборе пациентов и для мониторинга применяемой терапии.

PD-L1 терапевтические антитела стали важными лекарственными средствами при проведении противораковой иммунотерапии. В случае соединений с небольшим размером молекул, для подбора дозы при заболеваниях центральной нервной И системы прогнозирования фармакологического ответа повседневно используют измерения аффинности связывания И исследование занятости (Lee, etal., 2006). Однако, в случае соединений С крупными молекулами, таких как антитела, возникает необходимость

прогнозировании in vivo занятости рецептора на основе in vitro аффинности связывания (Agoram, 2009). На концентрации антител в опухолях влияют различные присущие опухоли параметры, такие как антигенная плотность и функциональный цикл, опухолевая масса и ограничивают которые перфузия В опухоли, проникновение моноклональных антител (mAbs) в опухоль. На концентрации mAbs в плазме дополнительно влияют внешние для опухоли и опухоли факторы, такие как, доза, вариабельность пациента, кахексия и терапевтических (Sheng, etal., 2017). выработка анти антител фармакокинетические/фармакодинамические прогнозирования основаны на in vitro измерениях и измерениях на периферической мононуклеарных клеток крови ДЛЯ оптимальной (Deng, etal., 2016). определения дозы Однако, объекте настоящего изобретения показано, измерения занятости PD-L1 терапевтическими антителами в опухоли в реальном режиме времени и неинвазивно может быть использован метод позитронно-эмиссионной томографии.

Меченные радиоактивным изотопом антитела, такие как атезолизумаб, при поддержке периферийных фармакодинамических фармакокинетического/фармакодинамического оценок И моделирования, повседневно используют для определения уровней дозирования mAb, необходимых для достижения требуемой степени занятости PD-L1 в опухоли (Deng, etal., 2016). Эти измерения и полученные на основе математического моделирования предсказания степени занятости часто являются присущими только для данного антитела, так как на концентрации антител в плазме и опухоли влияют изотип антитела и биофизические свойства, такие как заряд и валентность, что ограничивает применение результатов исследований к другим моноклональным антителам против (Kamath, 2016). Требуется инструмент, который тэжом быть использован для кинетики антитела И возможности оценки таргетного взаимодействия в опухоли для постоянно расширяющегося множества терапевтических моноклональных антител против PD-L1. Раскрытый объект настоящего изобретения решает ЭТУ Исследования на основе компьютерного моделирования эксперимента в сочетании с in vitro и in vivo данными, полученными методом позитронно-эмиссионной томографии с использованием WL12, показывают возможность количественной оценки насыщения/занятости PD-L1 в опухоли, то есть методологии, которая применима ко всем терапевтическим антителам против PD-L1 при клинических испытаниях.

В совокупности, раскрытые в настоящем изобретении данные ЧТО динамические изменения экспрессия PD-L1 опухолях и насыщение/занятость PD-L1 терапевтическими антителами быть МОГУТ неинвазивно количественно оценены С ДВУМЯ отличительными особенностями, а именно, независимо характеристик антител и с учетом присущих опухоли параметров и внешних для опухоли параметров. Предполагается, что раскрытые в настоящем изобретении результаты по влиянию дозы да занятость PD-L1 в опухоли для трех отличающихся терапевтических антител, AtzMab, AveMab, DurMab, представляют большую важность с точки терапевтического ответа и эффективности врения оценки дозирования.

3.3.7. Краткие выводы.

Раскрытый объект настоящего изобретения показывает, что меченный радиоактивным изотопом пептид, связывающийся с PD-L1, позволяет неинвазивно осуществлять детекцию изменений и динамики уровней экспрессии PD-L1, и может использоваться для измерения занятости в опухоли с учетом собственных параметров опухоли (экспрессии PD-L1, рециклинга, тканевого давления) и внешних параметров (изотипа антитела, кинетики, анти терапевтического антитела, катаболизма), что в результате позволяет получить универсальное средство для мониторинга терапевтической активности ингибирования PD-L1:PD-1 взаимодействия с помощью антител против PD-L1 в опухоли.

Исследования с использованием [64 Cu]WL12 показывают, что в условиях стандартной клинической деятельности могут быть количественно определены переменные и динамические изменения экспрессии PD-L1, что является важным клиническим аспектом при отборе пациентов и для мониторинга применяемой терапии.

Существующие фармакокинетические/фармакодинамические модели прогнозирования основаны на $in\ vitro$ измерениях и измерениях на

основе мононуклеарных клеток периферической крови для определения оптимальной дозы (Deng, etal., 2016). Однако, в раскрытом объекте настоящего изобретения показано, что для измерения занятости PD-L1 терапевтическими антителами в опухоли в реальном режиме времени и неинвазивно может быть использован метод позитронно-эмиссионной томографии.

Требуется инструмент, который может быть использован для оценки кинетики антитела и возможности таргетного взаимодействия в опухоли для постоянно расширяющегося множества терапевтических моноклональных антител против PD-L1. Раскрытый объект настоящего изобретения решает ЭТУ задачу. Исследования компьютерного моделирования эксперимента в сочетании с in vitro и in vivo данными, полученными методом позитронно-эмиссионной WL12, использованием показывают количественной оценки насыщения/занятости PD-L1 в опухоли, которая применима ко всем терапевтическим есть методологии, антителам против PD-L1 при клинических испытаниях.

СПИСОК ЦИТИРУЕМЫХ ЛИТЕРАТУРНЫХ ИСТОЧНИКОВ

Все публикации, заявки на патенты, патенты и другие ссылки, упомянутые в описании изобретения, указывают специалистам уровень состояния техники в той области, к которой относится объект настоящего изобретения. Содержания раскрытый всех публикаций, патентов заявок на патенты, И других видов публикаций (например, веб-сайтов, баз данных и так далее), УПОМЯНУТЫХ описании изобретения, включены полностью настоящее изобретение путем ссылок на них, как если бы было конкретно индивидуально указано, ЧТО содержание отдельной публикации, заявки на патент, патента и другого вида публикации полностью включено в настоящее изобретение путем ссылки на нее. Следует иметь в виду, что в настоящем изобретении приводится ряд ссылок на патентные заявки, патенты и другие публикации, но эти ссылки не дают основания считать, что любой из этих документов является частью известного уровня техники в области. В случае противоречия данной между описанием изобретения И любой ENвключенных в изобретение ссылок, приоритет имеет описание изобретения (включая любые

изменения, которые могут быть основаны на включенной в изобретение ссылке). В изобретении используются общепринятые в науке и технике стандартные значения терминов, если не указано иное. В изобретении используются стандартные сокращенные обозначения для различных терминов.

Agoram, B. M. (2009) Use of pharmacokinetic/pharmacodynamic modelling for starting dose selection in first-in-human trials of high-risk biologics. *Br J Clin Pharmacol* 67, 153-160.

Anderson, C. J., and Ferdani, R. (2009) Copper-64 radiopharmaceuticals for PET imaging of cancer: advances in preclinical and clinical research. *Cancer Biother Radiopharm* 24, 379-93.

Baxter, L. T., and Jain, R. K. (1989) Transport of fluid and macromolecules in tumors. I. Role of interstitial pressure and convection. *Microvasc Res* 37, 77-104.

Baxter, L. T., and Jain, R. K. (1990) Transport of fluid and macromolecules in tumors. II. Role of heterogeneous perfusion and lymphatics. *Microvasc Res* 40, 246-263.

Boswell, C. A., Sun, X., Niu, W., Weisman, G. R., Wong, E. H., Rheingold, A. L., and Anderson, C. J. (2004) Comparative in vivo stability of copper-64-labeled cross-bridged and conventional tetraazamacrocyclic complexes. *J Med Chem 47*, 1465-74.

Brahmer, J. R., Tykodi, S. S., Chow, L. Q., Hwu, W. J., Topalian, S. L., Hwu, P., Drake, C. G., Camacho, L. H., Kauh, J., Odunsi, K., Pitot, H. C., Hamid, O., Bhatia, S., Martins, R., Eaton, K., Chen, S., Salay, T. M., Alaparthy, S., Grosso, J. F., Korman, A. J., Parker, S. M., Agrawal, S., Goldberg, S. M., Pardoll, D. M., Gupta, A., and Wigginton, J. M. (2012) Safety and activity of anti-PD-L1 antibody in patients with advanced cancer. N Engl J Med 366, 2455-2465.

Chatterjee, S., Lesniak, W. G., Gabrielson, M., Lisok, A., Wharram, B., Sysa-Shah, P., Azad, B. B., Pomper, M. G., and Nimmagadda, S. (2016) A humanized antibody for imaging immune checkpoint ligand PD-L1 expression in tumors. *Oncotarget* 7,

10215-27.

Chatterjee, S., Lesniak, W. G., Miller, M. S., Lisok, A., Sikorska, E., Wharram, B., Kumar, D., Gabrielson, M., Pomper, M. G., Gabelli, S. B., and Nimmagadda, S. (2017) Rapid PD-L1 detection in tumors with PET using a highly specific peptide. Biochem Biophys Res Commun 483, 258-263.

Cho, D. C., Sosman, J. A., Sznol, M., Gordon, M. S., Hollebecque, A., Hamid, O., McDermott, D. F., Delord, J. P., Rhee, I. P., Mokatrin, A., Kowanetz, M., Funke, R. P., Fine, G. D., and Powles, T. (2013) Clinical activity, safety, and biomarkers of MPDL3280A, an engineered PD-L1 antibody in patients with metastatic renal cell carcinoma (mRCC). *J Clin Oncol* 31, 15_suppl, 4505-4505.

Deng, R., Bumbaca, D., Pastuskovas, C. V., Boswell, C. A., West, D., Cowan, K. J., Chiu, H., McBride, J., Johnson, C., Xin, Y., Koeppen, H., Leabman, M., and Iyer, S. (2016) Preclinical pharmacokinetics, pharmacodynamics, tissue distribution, and tumor penetration of anti-PD-L1 monoclonal antibody, an immune checkpoint inhibitor. *MAbs* 8, 593-603.

Eisenwiener, K. P., Powell, P., and Macke, H. R. (2000) A convenient synthesis of novel bifunctional prochelators for coupling to bioactive peptides for radiometal labelling. *Bioorg Med Chem Lett* 10, 2133-5.

Friesner, R. A., Banks, J. L., Murphy, R. B., Halgren, T. A., Klicic, J. J., Mainz, D. T., Repasky, M. P., Knoll, E. H., Shelley, M., Perry, J. K., Shaw, D. E., Francis, P., and Shenkin, P. S. (2004) Glide: a new approach for rapid, accurate docking and scoring. 1. Method and assessment of docking accuracy. *J Med Chem* 47, 1739-49.

Gebhart, G., Lamberts, L. E., Wimana, Z., Garcia, C., Emonts, P., Ameye, L., Stroobants, S., Huizing, M., Aftimos, P., Tol, J., Oyen, W. J., Vugts, D. J., Hoekstra, O. S., Schroder, C. P., Menke-van der Houven van Oordt, C. W., Guiot, T., Brouwers, A. H., Awada, A., de Vries, E. G., and Flamen, P. (2016) Molecular imaging as a tool to investigate heterogeneity of advanced HER2-positive breast cancer and to predict patient

outcome under trastuzumab emtansine (T-DM1): the ZEPHIR trial. Ann Oncol 27, 619-624.

Gibney, G. T., Weiner, L. M., and Atkins, M. B. (2016) Predictive biomarkers for checkpoint inhibitor-based immunotherapy. *Lancet Oncol* 17, e542-e551.

Goel, S., Duda, D. G., Xu, L., Munn, L. L., Boucher, Y., Fukumura, D., and Jain, R. K. (2011) Normalization of the vasculature for treatment of cancer and other diseases. *Physiol Rev* 91, 1071-1121.

Gourni, E., Demmer, O., Schottelius, M., D'Alessandria, C., Schulz, S., Dijkgraaf, I., Schumacher, U., Schwaiger, M., Kessler, H., and Wester, H. J. (2011) PET of CXCR4 expression by a (68)Ga-labeled highly specific targeted contrast agent. *J Nucl Med 52*, 1803-10.

Grishina, I. B., and Woody, R. W. (1994) Contributions of tryptophan side chains to the circular dichroism of globular proteins: exciton couplets and coupled oscillators. *Faraday discussions* 99, 245-262.

Halgren, T. A., Murphy, R. B., Friesner, R. A., Beard, H. S., Frye, L. L., Pollard, W. T., and Banks, J. L. (2004) Glide: a new approach for rapid, accurate docking and scoring. 2. Enrichment factors in database screening. *J Med Chem 47*, 1750-9.

Hamid, O., Sosman, J. A., Lawrence, D. P., Sullivan, R. J., Ibrahim, N., Kluger, H. M., Boasberg, P. D., Flaherty, K., Hwu, P., Ballinger, M., Mokatrin, A., Kowanetz, M., Chen, D. S., and Hodi, F. S. (2013) Clinical activity, safety, and biomarkers of MPDL3280A, an engineered PD-L1 antibody in patients with locally advanced or metastatic melanoma (mM). *J Clin Oncol* 31, 15_suppl, 9010-9010.

Herbst, R. S., Soria, J. C., Kowanetz, M., Fine, G. D., Hamid, O., Gordon, M. S., Sosman, J. A., McDermott, D. F., Powderly, J. D., Gettinger, S. N., Kohrt, H. E., Horn, L., Lawrence, D. P., Rost, S., Leabman, M., Xiao, Y., Mokatrin, A., Koeppen, H., Hegde, P. S., Mellman, I., Chen, D. S., and Hodi, F. S. (2014) Predictive correlates of response to the anti-PD-L1 antibody MPDL3280A in cancer patients. *Nature 515*, 563-7.

Herrmann, K., Schottelius, M., Lapa, C., Osl, T., Poschenrieder, A., Hanscheid, H., Luckerath, K., Schreder, M., Bluemel, C., Knott, M., Keller, U., Schirbel, A., Samnick, S., Lassmann, M., Kropf, S., Buck, A. K., Einsele, H., Wester, H. J., and Knop, S. (2016) First-in-Human Experience of CXCR4-Directed Endoradiotherapy with 177Lu- and 90Y- Labeled Pentixather in Advanced-Stage Multiple Myeloma with Extensive Intra- and Extramedullary Disease. J Nucl Med 57, 248-51.

Heskamp, S., Hobo, W., Molkenboer-Kuenen, J. D., Olive, D., Oyen, W. J., Dolstra, H., and Boerman, O. C. (2015) Noninvasive Imaging of Tumor PD-L1 Expression Using Radiolabeled Anti-PD-L1 Antibodies. *Cancer Res* 75, 2928-36.

Hettich, M., Braun, F., Bartholoma, M. D., Schirmbeck, R., and Niedermann, G. (2016) High-Resolution PET Imaging with Therapeutic Antibody-based PD-1/PD-L1 Checkpoint Tracers Therapostics 6, 1629-1640.

International PCT patent application publication no. WO2016039749 to Miller, et al., for Macrocyclic Inhibitors of the PD-1/PD-L1 and CD80 (B7-1)/PD-L1 Protein/Protein Interactions, published March 17, 2016.

International PCT patent application publication no. WO 2016/100285 to Mapelli, et al., for Immunomodulators, published June 23, 2016.

International PCT patent application publication no. WO 2016/100608 to Sun, et al. for Immunomodulators, published June 23, 2016.

International PCT patent application publication no. WO 2016/126646 to Miller et al., for Immunomodulators, published August 11, 2016.

Irving, B., Chiu, H., Maecker, H., Mariathasan, S., Lehar, S. M., Wu, Y., and Cheung, J. (2012) (Office, U. S. P., Ed.), Genentech, Inc., USA.

Irving, B., Chiu, H., Maecker, H., Mariathasan, S., Lehar, S. M., Wu, Y., and Cheung, J. (2012) Anti-PD-L1 Antibodies, compositions and articles of manufacture. (Office, U. S. P., ed), Genentech, Inc., USA.

Josefsson, A., Nedrow, J. R., Park, S., Banerjee, S. R., Rittenbach, A., Jammes, F., Tsui, B., and Sgouros, G. (2016) Imaging, Biodistribution, and Dosimetry of Radionuclide- Labeled PD-L1 Antibody in an Immunocompetent Mouse Model of Breast Cancer. Cancer Res 76, 472-9.

Kamath, A. V. (2016) Translational pharmacokinetics and pharmacodynamics of monoclonal antibodies. *Drug Discov Today Technol* 21-22, 75-83.

Kelly, S. M., and Price, N. C. (2000) The use of circular dichroism in the investigation of protein structure and function. Current protein and peptide science 1, 349-384.

Lee, C. M., and Farde, L. (2006) Using positron emission tomography to facilitate CNS drug development. *Trends Pharmacol Sci* 27, 310-316.

Lee, H. T., Lee, J. Y., Lim, H., Lee, S. H., Moon, Y. J., Pyo, H. J., Ryu, S. E., Shin, W., and Heo, Y. S. (2017) Molecular mechanism of PD-1/PD-L1 blockade via anti-PD-L1 antibodies atezolizumab and durvalumab. *Sci Rep* 7, 5532.

Lesniak, W. G., Chatterjee, S., Gabrielson, M., Lisok, A., Wharram, B., Pomper, M. G., and Nimmagadda, S. (2016) PD-L1 Detection in Tumors Using [(64)Cu]Atezolizumab with PET. Bioconjug Chem 27, 2103-2110,

Linden, H. M., Stekhova, S. A., Link, J. M., Gralow, J. R., Livingston, R. B., Ellis, G. K., Petra, P. H., Peterson, L. M., Schubert, E. K., Dunnwald, L. K., Krohn, K. A., and Mankoff, D. A. (2006) Quantitative fluoroestradiol positron emission tomography imaging predicts response to endocrine treatment in breast cancer. Journal of clinical oncology: official journal of the American Society of Clinical Oncology 24, 2793-9.

Lipson, E. J., Forde, P. M., Hammers, H. J., Emens, L. A., Taube, J. M., and Topalian, S. L. (2015) Antagonists of PD-1 and PD-L1 in Cancer Treatment. *Semin Oncol* 42, 587-600.

Liu, K., Tan, S., Chai, Y., Chen, D., Song, H., Zhang, C. W., Shi, Y., Liu, J., Tan, W., Lyu, J., Gao, S., Yan, J., Qi, J., and Gao, G. F. (2016) Structural basis of anti-PD-L1

monoclonal antibody avelumab for tumor therapy. *Cell Res* 10.1038/cr.2016.102.

Mansfield, A. S., and Dong, H. (2016) Implications of Programmed Cell Death 1 Ligand 1 Heterogeneity in the Selection of Patients With Non-Small Cell Lung Cancer to Receive Immunotherapy. Clin Pharmacol Ther 100, 220-2.

Marrone, K. A., Ying, W., and Naidoo, J. (2016) Immune-Related Adverse Events From Immune Checkpoint Inhibitors. *Clin Pharmacol Ther* 100, 242-251.

Maute, R. L., Gordon, S. R., Mayer, A. T., McCracken, M. N., Natarajan, A., Ring, N. G., Kimura, R., Tsai, J. M., Manglik, A., Kruse, A. C., Gambhir, S. S., Weissman, I. L., and Ring, A. M. (2015) Engineering high-affinity PD-1 variants for optimized immunotherapy and immuno-PET imaging. *Proc Natl Acad Sci U S A* 112, E6506-14.

McLaughlin, J., Han, G., Schalper, K. A., Carvajal-Hausdorf, D., Pelekanou, V., Rehman, J., Velcheti, V., Herbst, R., LoRusso, P., and Rimm, D. L. (2016) Quantitative Assessment of the Heterogeneity of PD-L1 Expression in Non-Small-Cell Lung Cancer. JAMA Oncol 2, 46-54.

Meerbrey, K. L., Hu, G., Kessler, J. D., Roarty, K., Li, M. Z., Fang, J. E., Herschkowitz, J. I., Burrows, A. E., Ciccia, A., Sun, T., Schmitt, E. M., Bernardi, R. J., Fu, X., Bland, C. S., Cooper, T. A., Schiff, R., Rosen, J. M., Westbrook, T. F., and Elledge, S. J. (2011) The pINDUCER lentiviral toolkit for inducible RNA interference in vitro and in vivo. *Proc Natl Acad Sci U S A* 108, 3665-3670.

Meng, X., Huang, Z., Teng, F., Xing, L., and Yu, J. (2015) Predictive biomarkers in PD-1/PD-L1 checkpoint blockade immunotherapy. *Cancer Treat Rev* 41, 868-876.

Morin, A., Eisenbraun, B., Key, J., Sanschagrin, P. C., Timony, M. A., Ottaviano, M., and Sliz, P. (2013) Collaboration gets the most out of software. *Elife 2*, e01456.

Nolan, E., Savas, P., Policheni, A. N., Darcy, P. K., Vaillant, F., Mintoff, C. P., Dushyanthen, S., Mansour, M., Pang, J. B., Fox, S. B., Kathleen Cuningham Foundation

Consortium for Research into Familial Breast, C., Perou, C. M., Visvader, J. E., Gray, D. H. D., Loi, S., and Lindeman, G. J. (2017) Combined immune checkpoint blockade as a therapeutic strategy for BRCA1-mutated breast cancer. *Sci Transl Med* 9, 393, eaal4922.

Okazaki, T., and Honjo, T. (2007) PD-1 and PD-1 ligands: from discovery to clinical application. *Int Immunol* 19, 813-24.

Oosting, S. F., van Asselt, S. J., Brouwers, A. H., Bongaerts, A. H., Steinberg, J. D., de Jong, J. R., Lub-de Hooge, M. N., van der Horst-Schrivers, A. N., Walenkamp, A. M., Hoving, E. W., Sluiter, W. J., Zonnenberg, B. A., de Vries, E. G., and Links, T. P. (2016) 89Zr-Bevacizumab PET Visualizes Disease Manifestations in Patients with von Hippel- Lindau Disease. J Nucl Med 57, 1244-50.

Oude Munnink, T. H., Henstra, M. J., Segerink, L. I., Movig, K. L., and Brummelhuis-Visser, P. (2016) Therapeutic drug monitoring of monoclonal antibodies in inflammatory and malignant disease: Translating TNF-alpha experience to oncology. Clin Pharmacol Ther 99, 419-431.

Oosting, S. F., van Asselt, S. J., Brouwers, A. H., Bongaerts, A. H., Steinberg, J. D., de Jong, J. R., Lub-de Hooge, M. N., van der Horst-Schrivers, A. N., Walenkamp, A. M., Hoving, E. W., Sluiter, W. J., Zonnenberg, B. A., de Vries, E. G., and Links, T. P. (2016) 89Zr-Bevacizumab PET Visualizes Disease Manifestations in Patients with von Hippel-Lindau Disease. J Nucl Med 57, 1244-1250.

Pandit-Taskar, N., O'Donoghue, J. A., Durack, J. C., Lyashchenko, S. K., Cheal, S. M., Beylergil, V., Lefkowitz, R. A., Carrasquillo, J. A., Martinez, D. F., Fung, A. M., Solomon, S. B., Gonen, M., Heller, G., Loda, M., Nanus, D. M., Tagawa, S. T., Feldman, J. L., Osborne, J. R., Lewis, J. S., Reuter, V. E., Weber, W. A., Bander, N. H., Scher, H. I., Larson, S. M., and Morris, M. J. (2015) A Phase I/II Study for Analytic Validation of 89Zr-J591 ImmunoPET as a Molecular Imaging Agent for Metastatic Prostate Cancer. Clin Cancer Res 21, 5277-85.

Peterson, L. M., Mankoff, D. A., Lawton, T., Yagle, K.,

Schubert, E. K., Stekhova, S., Gown, A., Link, J. M., Tewson, T., and Krohn, K. A. (2008) Quantitative imaging of estrogen receptor expression in breast cancer with PET and 18F-fluoroestradiol. Journal of nuclear medicine: official publication, Society of Nuclear Medicine 49, 367-74.

Phillips T., Simmons P., Inzunza H. D., Cogswell J., Novotny J. Jr, Taylor C., and Zhang X. (2015) Development of an automated PD-L1 immunohistochemistry (IHC) assay for non-small cell lung cancer, Appl Immunohistochem Mol Morphol. 23(8):541-9.

Powles, T., Eder, J. P., Fine, G. D., Braiteh, F. S., Loriot, Y., Cruz, C., Bellmunt, J., Burris, H. A., Petrylak, D. P., Teng, S. L., Shen, X. D., Boyd, Z., Hegde, P. S., Chen, D. S., and Vogelzang, N. J. (2014) MPDL3280A (anti-PD-L1) treatment leads to clinical activity in metastatic bladder cancer. *Nature* 515, 558-562.

Rathkopf, D. E., Morris, M. J., Fox, J. J., Danila, D. C., Slovin, S. F., Hager, J. H., Rix, P. J., Chow Maneval, E., Chen, I., Gonen, M., Fleisher, M., Larson, S. M., Sawyers, C. L., and Scher, H. I. (2013) Phase I study of ARN-509, a novel antiandrogen, in the treatment of castration-resistant prostate cancer. *J Clin Oncol* 31, 3525-3530.

Reubi, J. C., and Maecke, H. R. (2008) Peptide-based probes for cancer imaging. *J Nucl Med 49*, 1735-8.

Roach, C., Zhang, N., Corigliano, E., Jansson, M., Toland, G., Ponto, G., Dolled-Filhart, M., Emancipator, K., Stanforth, D., and Kulangara, K. (2016) Development of a Companion Diagnostic PD-L1 Immunohistochemistry Assay for Pembrolizumab Therapy in Non-Small-cell Lung Cancer. Appl Immunohistochem Mol Morphol 24, 392-7.

Sastry, G. M., Adzhigirey, M., Day, T., Annabhimoju, R., and Sherman, W. (2013) Protein and ligand preparation: parameters, protocols, and influence on virtual screening enrichments. J Comput Aided Mol Des 27, 221-34.

Sheng, J., Srivastava, S., Sanghavi, K., Lu, Z., Schmidt, B. J., Bello, A., and Gupta, M. (2017) Clinical Pharmacology Considerations for the Development of Immune Checkpoint

Inhibitors. J Clin Pharmacol 57 Suppl 10, S26-S42.

Smith-Jones, P. M., Fridrich, R., Kaden, T. A., Novak-Hofer, I., Siebold, K., Tschudin, D., and Maecke, H. R. (1991) Antibody labeling with copper-67 using the bifunctional macrocycle 4-[(1,4,8,11-tetraazacyclotetradec-1-yl)methyl]benzoic acid. Bioconjug Chem 2, 415-21.

Spigel, D. R., Gettinger, S. N., Horn, L., Herbst, R. S., Gandhi, L., Gordon, M. S., Cruz, C., Conkling, P., Cassier, P. A., Antonia, S. J., Burris, H. A., Fine, G. D., Mokatrin, A., Kowanetz, M., Shen, X. D., Chen, D. S., and Soria, J. C. (2013) Clinical activity, safety, and biomarkers of MPDL3280A, an engineered PD-L1 antibody in patients with locally advanced or metastatic non-small cell lung cancer (NSCLC). *J Clin Oncol* 31, 15_suppl, 8008-8008.

Sreerama, N., and Woody, R. W. (2000) Estimation of protein secondary structure from circular dichroism spectra: comparison of CONTIN, SELCON, and CDSSTR methods with an expanded reference set. *Anal Biochem 287*, 252-60.

Stroh, M., Winter, H., Marchand, M., Claret, L., Eppler, S., Ruppel, J., Abidoye, O., Teng, S. L., Lin, W. T., Dayog, S., Bruno, R., Jin, J., and Girish, S. (2017) Clinical Pharmacokinetics and Pharmacodynamics of Atezolizumab in Metastatic Urothelial Carcinoma. *Clin Pharmacol Ther* 102, 305-312.

Sun, X., Li, Y., Liu, T., Li, Z., Zhang, X., and Chen, X. (2016) Peptide-based imaging agents for cancer detection. Adv Drug Deliv Rev.

Sunshine, J., and Taube, J. M. (2015) PD-1/PD-L1 inhibitors. Curr Opin Pharmacol 23, 32-8.

Tabrizi, M. A., Tseng, C. M., and Roskos, L. K. (2006) Elimination mechanisms of therapeutic monoclonal antibodies. Drug Discov Today 11, 81-88.

Taube, J. M., Anders, R. A., Young, G. D., Xu, H., Sharma, R., McMiller, T. L., Chen, S., Klein, A. P., Pardoll, D. M., Topalian, S. L., and Chen, L. (2012) Colocalization of inflammatory response with B7-h1 expression in human melanocytic

lesions supports an adaptive resistance mechanism of immune escape. Sci Transl Med 4, 127ra137.

Taube, J. M., Young, G. D., McMiller, T. L., Chen, S., Salas, J. T., Pritchard, T. S., Xu, H., Meeker, A. K., Fan, J., Cheadle, C., Berger, A. E., Pardoll, D. M., and Topalian, S. L. (2015) Differential Expression of Immune-Regulatory Genes Associated with PD-L1 Display in Melanoma: Implications for PD-1 Pathway Blockade. Clin Cancer Res 21, 3969-3976.

Topalian, S. L., Drake, C. G., and Pardoll, D. M. (2015) Immune checkpoint blockade: a common denominator approach to cancer therapy. *Cancer Cell 27*, 450-61.

Topalian, S. L., Taube, J. M., Anders, R. A., and Pardoll, D. M. (2016) Mechanism- driven biomarkers to guide immune checkpoint blockade in cancer therapy. *Nat Rev Cancer 16*, 275-87.

Wadas, T. J., Wong, E. H., Weisman, G. R., and Anderson, C. J. (2007) Copper chelation chemistry and its role in copper radiopharmaceuticals. *Curr Pharm Des 13*, 3-16.

Willmann, J. K., van Bruggen, N., Dinkelborg, L. M., and Gambhir, S. S. (2008) Molecular imaging in drug development. *Nat Rev Drug Discov* 7, 591-607.

Woodard, L. E., De Silva, R. A., Behnam Azad, B., Lisok, A., Pullambhatla, M., W, G. L., Mease, R. C., Pomper, M. G., and Nimmagadda, S. (2014) Bridged cyclams as imaging agents for chemokine receptor 4 (CXCR4). *Nucl Med Biol 41*, 552-61.

Wu, D., Huang, L., Jiang, M. S., and Jiang, H. (2014) Contrast agents for photoacoustic and thermoacoustic imaging: A review. *Int. J. Mol. Sci.* 15, 23616-23639.

Wu, A. M. (2014) Engineered antibodies for molecular imaging of cancer. *Methods* 65, 139-147.

Yang, J., Zhao, H., Garnett, C., Rahman, A., Gobburu, J. V., Pierce, W., Schechter, G., Summers, J., Keegan, P., Booth, B., and Wang, Y. (2013) The combination of exposure-response and case-control analyses in regulatory decision making. *J Clin Pharmacol* 53, 160-166,

Zak, K. M., Kitel, R., Przetocka, S., Golik, P., Guzik, K., Musielak, B., Domling, A., Dubin, G., and Holak, T. A. (2015)

Structure of the Complex of Human Programmed Death 1, PD-1, and Its Ligand PD-L1. Structure 23, 2341-8.

Несмотря на то, что для более четкого понимания изобретения вышеизложенный объект изобретения был описан довольно подробно с использованием конкретных иллюстраций и примеров, тем не менее, для специалистов в данной области является очевидным, что могут быть осуществлены на практике конкретные изменения и модификации в рамках объема прилагаемой формулы изобретения.

ПЕРЕЧЕНЬ ПОСЛЕДОВАТЕЛЬНОСТЕЙ:

SEQ ID NO.: 1

WL12 аминокислотная последовательность=цикло-(-Ac-Tyr-NMeAla-Asn-Pro-His-Leu-Hyp-Trp-Ser-Trp (метил) -NMeNle-NMeNle-Lys-Cys-)-Gly-NH2)

SEQ ID NO.: 2

DK-A-221 аминокислотная последовательность=цикло-(-Ac-Tyr-NMeAla-Asn-Pro-His-Glu-Hyp-Trp-Ser-Trp(карбоксиметил)-NMeNle-NMeNle-Lys-Cys-)-Gly-NH2

ФОРМУЛА ИЗОБРЕТЕНИЯ

- 1. Визуализирующее средство, включающее конъюгат пептида, обладающего специфичностью связывания лиганда 1 белка программируемой смерти клеток (PD-L1), и репортерный фрагмент, и, необязательно, линкер, где линкер, в случае его присутствия, соединяет пептид и репортерный фрагмент, и, в случае отсутствия линкера, репортерный фрагмент присоединен непосредственно к пептиду через первичный амин аминокислоты пептида.
- 2. Визуализирующее средство по п. 1, где пептид, обладающий специфичностью связывания PD-L1, взаимодействует с аминокислотами Y56, E58, A113, M115 и Y123 лиганда 1 белка программируемой смерти клеток (PD-L1).
- 3. Визуализирующее средство по п. 1 или п. 2, где пептид, обладающий специфичностью связывания лиганда 1 белка программируемой смерти клеток (PD-L1), имеет, по меньшей мере, 80% идентичность последовательности с пептидом WL12, DK-A-221 или DK-A-222.
- 4. Визуализирующее средство по п. 3, где пептид, обладающий специфичностью связывания лиганда 1 белка программируемой смерти клеток (PD-L1), имеет, по меньшей мере, 85% идентичность последовательности с пептидом WL12, DK-A-221 или DK-A-222.
- 5. Визуализирующее средство по п. 4, где пептид визуализирующего средства, обладающий специфичностью связывания лиганда 1 белка программируемой смерти клеток (PD-L1), имеет по меньшей мере, 90% идентичность последовательности с пептидом WL12, DK-A-221 или DK-A-222.
- 6. Визуализирующее средство по п. 5, где пептид, обладающий специфичностью связывания лиганда 1 белка программируемой смерти клеток (PD-L1), имеет 100% идентичность последовательности с пептидом WL12, DK-A-221 или DK-A-222.
- 7. Визуализирующее средство по п. 1, где репортерный фрагмент выбирают из группы, состоящей из хелатообразующего средства, меченного радиоактивным изотопом субстрата, флуоресцентного красителя, фотоакустической репотерной молекулы и активной в рамановском спектре репортерной молекулы.
 - 8. Визуализирующее средство по п. 7, где репортерный

фрагмент представляет собой хелатообразующее средство, И хелатообразующее средство выбирают из группы, состоящей ИЗ (1,4,7,10-тетраазациклододекан-1-(глутаровая кислота)-DOTA (1,4,7,10-тетраазацикло-4,7,10-триуксусная кислота), додекан-1, 4, 7, 10-тетрауксусная кислота), DOTASA (1,4,7,10тетраазациклододекан-1-(2-янтарная кислота)-4,7,10-триуксусная кислота), CB-DO2A (10-бис (карбоксиметил) -1, 4, 7, 10-тетраазацикло-[5.5.2] тетрадекан), DEPA (7-[2-(бис-карбоксиметиламино) этил]-4,10-бис-карбоксиметил-1,4,7,10-тетраазациклододец-1-ил-уксусная 3p-C-DEPA (2-[(карбоксиметил)][5-(4-нитрофенил-1-[4,7,10-трис (карбоксиметил) -1,4,7,10-тетраазациклододекан-1-ил] пентан-2-ил) амино] уксусная кислота)), ТСМС (2-(4-изотиоцианатобензил) -1, 4, 7, 10-тетрааза-1, 4, 7, 10-тетра-(2-карбамонилметил) циклододекан), oxo-DO3A (1-окса-4,7,10-триазациклододекан-5-S-(4-изотиоцианатобензил) -4, 7, 10-триуксусная кислота), p-NH₂-Bn-Oxo-DO3A (1-окса-4,7,10-тетраазациклододекан-5-S-(4-аминобензил) -4, 7, 10-триуксусная кислота), TE2A ((1,8-N,N'-бис-(карбоксиметил) -1, 4, 8, 11-тетраазациклотетрадекан), ММ-ТЕ2А,TE2A, CB-TE2A (4,11-бис (карбоксиметил) -1,4,8,11-тетраазацикло-[6.6.2] гексадекан), СВ-ТЕ1А1Р (4,8,11-тетраазациклотетрадекан-1-(метанфосфоновая кислота) -8-(метанкарбоновая кислота), СВ-ТЕ2Р (1, 4, 8, 11-тетраазациклотетрадекан-1, 8-бис (метанфосфоновая (1, 4, 8, 11-тетраазациклотетрадекан-1, 4, 8, 11-TETA кислота), тетрауксусная кислота), NOTA (1,4,7-триазациклононан-N,N',N"-NODA (1,4,7-триазациклононан-1,4триуксусная кислота), диацетат); NODAGA (1,4,7-триазациклононан-1-глутаровая кислота-(NOTAGA) 1,4,7-триазонан-1,4-4,7-уксусная кислота), диил) диуксусная кислота, DFO (десфероксамин), NETA ([4-[2-(бискарбоксиметиламино) этил] -7-карбоксиметил-[1,4,7] триазонан-1-ил $\}$ уксусная кислота), TACN-TM (N,N',N"-трис(2-меркаптоэтил)-1,4,7триазациклононан), Diamsar (1,8-диамино-3,6,10,13,16,19-гекса-3,6,10,13,16,19-гексаазабициклоазабицикло (6,6,6) эйкозан, [6.6.6] эйкозан-1, 8-диамин), Sarar (1-N-(4-аминобензил)-3, 6, 10, 13, 16, 19-гексаазабицикло [6.6.6] эйкозан-1, 8-диамин), AmBaSar (4-((8-амино-3,6,10,13,16,19-гексаазабицикло[6.6.6]эйкозан-1-иламино) метил) бензойная кислота) и BaBaSar.

9. Визуализирующее средство по п. 7, где хелатообразующее средство выбирают из группы, состоящей из:

10. Визуализирующее средство по п. 7, где репортерный фрагмент представляет собой хелатообразующее средство, и хелатообразующее средство дополнительно включает радиоактивный изотоп металла, выбранный из группы, состоящей из ^{94m}Tc, ^{99m}Tc, ¹¹¹In, ⁶⁷Ga, ⁶⁸Ga, ⁸⁶Y, ⁹⁰Y, ¹⁷⁷Lu, ¹⁸⁶Re, ¹⁸⁸Re, ⁶⁰Cu, ⁶¹Cu, ⁶²Cu, ⁶⁴Cu, ⁶⁷Cu, ⁵⁵Co, ⁵⁷Co, ⁴⁷Sc, ²²⁵Ac, ²¹³Bi, ²¹²Bi, ²¹²Pb, ¹⁵³Sm, ¹⁶⁶Ho, ¹⁵²Gd,

⁸²Rb, ⁸⁹Zr и ¹⁶⁶Dy.

- 11. Визуализирующее средство по п. 7, где репортерный фрагмент представляет собой меченный радиоактивным изотопом субстрат, и меченный радиоактивным изотопом включает радиоактивный изотоп, выбранный из группы, состоящей из ¹¹C, ¹³N, ¹⁵O, ¹²³I, ¹²⁴I, ¹²⁵I, ¹²⁶I, ¹³¹I, ⁷⁵Br, ⁷⁶Br, ⁷⁷Br, ⁸⁰Br, ⁸⁰mBr, ⁸²Br, ⁸³Br, ¹⁸F и ²¹¹At.
- 12. Визуализирующее средство по п. 11, где меченный радиоактивным изотопом субстрат включает 18 F-меченый субстрат.
- 13. Визуализирующее средство по п. 12, где ¹⁸F-меченый субстрат выбирают из группы, состоящей из 2-фтор-РАВА, 3-фтор-РАВА, 2-фтор-маннит и N-сукцинимидил-4-фторбензоат.
- 14. Визуализирующее средство по п. 1, где репортерный фрагмент непосредственно вводят в пептид.
- 15. Визуализирующее средство по п. 14, где репортерный фрагмент включает меченную радиоактивным изотопом аминокислоту пептида.
- 16. Визуализирующее средство по п. 15, где меченную радиоактивным изотопом аминокислоту выбирают из группы, состоящей из йодтирозина и фтортирозина.
- 17. Визуализирующее средство по п. 7, где репортерный фрагмент представляет собой флуоресцентный краситель, флуоресцентный краситель выбирают из группы, состоящей из индокарбоцианина, карбоцианина, оксакарбоцианина, тиокарбоцианина, мероцианина, полиметина, кумарина, родамина, флуоресцеина, бор-дипиррометанового красителя, Cy5, Cy5.5, Cy7, VivoTag-680, VivoTag-S680, VivoTag-AlexaFluor660, AlexaFluor680, AlexaFluor700, S750, AlexaFluor750, AlexaFluor790, Dy677, Dy676, Dy682, Dy752, Dy780, DyLight547, Dylight647, HiLyte Fluor 647, HiLyte Fluor 680, HiLyte Fluor 750, IR Dye 800, IRDye 800CW, IRDye 800RS, IRDye 700DX, ADS780WS, ADS830WS и ADS832WS.
- 18. Визуализирующее средство по п. 7, где репортерный фрагмент представляет собой фотоакустическую репотерную молекулу, и фотоакустическую репотерную молекулу выбирают из группы, состоящей из красителя или наночастицы.

- 19. Визуализирующее средство по п. 18, где краситель включает флуоресцентный краситель.
- 20. Визуализирующее средство по п. 19, где флуоресцентный краситель выбирают из группы, состоящей из индоцианина зеленого (ICG), Alexa Fluor 750, эванса голубого, ВНQ3, QXL680, IRDye880CW, MMPSense 680, метиленового голубого, PPCy-C8 и Cypate-C18.
- 21. Визуализирующее средство по п. 18, где наночастицу выбирают из группы, состоящей из плазмонной наночастицы, квантовой точки, наноразмерного алмаза, полипирроловой наночастицы, наночастицы сульфида меди, графенового нанолиста, наночастицы с сердцевиной из оксида железа с оболочкой из золота, наночастицы Gd_2O_3 , одностеночной углеродной нанотрубки, перфторуглеродной наночастицы с нанесенным красителем и наночастицы суперпарамагнитного оксида железа.
- 22. Визуализирующее средство по п. 7, где репортерный фрагмент предстьавляет собой активную в рамановском спектре репортерную молекулу, и активную в рамановском спектре репортерную молекулу выбирают из группы, состоящей из одностеночной углеродной нанотрубки (SWNT) и средства для усиленного поверхностью комбинационного рассеяния (SERS).
- 23. Визуализирующее средство по п. 22, где средство SERS включает наночастицу металла, меченую активной в рамановском спектре репортерной молекулой.
- 24. Визуализирующее средство по п. 23, где активная в рамановском спектре репортерная молекула включает флуоресцентный краситель.
- 25. Визуализирующее средство по п. 24, где флуоресцентный краситель выбирают из группы, состоящей из Су3, Су5, родамина и халькогенпирилиевого красителя.
- 26. Визуализирующее средство по п. 7, где линкер выбирают из группы, состоящей из:

(a)

$$\mathsf{Rpt} = \begin{bmatrix} \mathsf{W}_2 & \mathsf{W}_1 \\ \mathsf{R}_2 \end{bmatrix}_{\mathsf{d}_{\mathsf{b}}} \mathsf{W}_1$$

где

Rpt представляет собой репортерный фрагмент;

 W_1 выбирают из группы, состоящей из C_1 - C_6 алкилена, C_3 - C_6 циклоалкилена и арилена;

 W_2 выбирают из группы, состоящей из $-NR^1-(C=O)-$, $-NR^1-(C=S)-$, $-(C=O)-NR^1-$, $-(C=S)-NR^1-$ и -S-, где каждый R^1 представляет собой независимо H или C_1-C_4 алкил;

каждый R_2 представляет собой независимо H или $-COOR_3$, где каждый R_3 представляет собой независимо H, C_1-C_6 алкил, C_2-C_{12} арил или C_4-C_{16} алкиларил;

b представляет собой целое число, выбранное из группы, состоящей из 0, 1, 2 и 3;

d представляет собой целое число, выбранное из группы, состоящей из 1, 2, 3, 4, 5, 6, 7 и 8; и

где волнистая линия указывает точку присоединения между линкером и пептидом;

(b) $Rpt-X-Y-Z-W_3-$

гле

Rpt представляет собой репортерный фрагмент;

X и Z каждый представляет собой независимо C_1 - C_8 алкил, C_2 - C_8 алкинил, C_2 - C_8 алкинил, C_1 - C_8 гетероалкил, C_2 - C_8 гетероалкинил, C_1 - C_8 алкокси или химическую связь, каждый из которых может быть замещен с помощью 0-5 R_A ;

Y и W_3 каждый представляет собой независимо -O-, $-S(O)_p-$, -NH-, $-NR_B-$, -CH=CH-, $-CR_B=CH-$, $-CH=CR_B-$, -NH-CO-, $-NH-CO_2-$, $-NR_B-CO-$, $-NR_B-CO-$, -CO-NH-, -CO-NH-, $-CO-NR_B-$, $-CO_2-NR_B-$ или химическую связь;

р представляет собой 0, 1 или 2;

 R_{A} , в каждом случае присутствия, представляет собой галоген, гидрокси, амино, циано, нитро, $CO_{2}H$, необязательно замещенный алкил, необязательно замещенный циклоалкил, необязательно замещенный гетероцикло, необязательно замещенный алкенил,

необязательно замещенный алкинил, необязательно замещенный алкокси, необязательно замещенный моно- или диалкиламино, необязательно замещенный алкилтио, необязательно замещенный алкилсульфинил, необязательно замещенный алкилсульфонил, необязательно замещенный или диалкилкарбоксамид, MOHOнеобязательно замещенный арил или необязательно замещенный гетероарил; и R_{B} , в каждом случае присутствия, представляет собой необязательно замещенный алкил, необязательно замещенный алкокси, необязательно замещенный моно- или диалкиламино, необязательно замещенный алкилтио, необязательно замещенный арил или необязательно замещенный гетероарил; или

- (с) аминокислотный линкер.
- 27. Визуализирующее средство по п. 1, где визуализирующее средство выбирают из группы, состоящей из соединения формулы (I), формулы (II) или формулы (III):

DK-A-221- (L) $_{n}-Rpt$ (II) или DK-A-222- (L) $_{n}-Rpt$ (III);

где

n представляет собой целое число, выбранное из группы, состоящей из 0 и 1;

L представляет собой линкер; и

Rpt представляет собой репортерный фрагмент; и

где репортерный фрагмент или линкер, в случае его присутствия, присоединены к первичной аминогруппе аминокислоты пептида, включающего визуализирующее средство формулы (I), формулы (II) или формулы (III).

27. Визуализирующее средство по п. 26, где линкер, в случае его присутствия, присоединен к первичной аминогруппе 13 орнитина (Orn) соединения формулы (I).

- 28. Визуализирующее средство по п. 26, где репортерный фрагмент включает хелатообразующее средство DOTAG.
- 29. Визуализирующее средство по п. 28, где хелатообразующее средство DOTAG дополнительно включает радиоактивный изотоп металла 64 Cu.
- 30. Визуализирующее средство по п. 26, где соединение формулы (I) представляет собой

- 31. Способ визуализации для детекции лиганда 1 белка программируемой смерти клеток (PD-L1), где способ включает:
- (a) обеспечивание эффективного количества визуализирующего средства по любому из пп. 1-27;
- (b) контактирование одной или более клеток или тканей с визуализирующим средством; и
 - (c) создание изображения для детекции PD-L1.
- 32. Способ визуализации по п. 31, где контактирование одной или более клеток или тканей с визуализирующим средством проводят $in\ vitro$, $in\ vivo\ unu\ ex\ vivo$.
- 33. Способ визуализации по п. 32, где контактирование одной или более клеток или тканей с визуализирующим средством проводят у субъекта.
- 34. Способ визуализации по п. 33, где субъектом является человек, крыса, мышь, собака, лошадь, овца, корова, обезьяна, птица или земноводное животное.
- 35. Способ визуализации по п. 31, где детекцию PD-L1 проводят приблизительно через 60-120 минут или менее после

введения визуализирующего средства субъекту.

- 36. Способ визуализации по п. 31, где способ визуализации применяют для детекции рака.
- 37. Визуализирующее средство по п. 36, где рак выбирают из группы, состоящей из бластомы, карциномы, глиомы, лейкоза, лимфомы, меланомы, миеломы, саркомы, рака головы, рака шеи, рака головы и шеи, рака легкого, рака молочной железы, негативного рака молочной железы, рака предстательной железы, колоректального paka, рака пищевода, рака лейкоза/лимфомы, рака матки, рака кожи, рака желез внутренней секреции, рака мочевых путей, рака поджелудочной железы, рака желудочно-кишечного тракта, рака яичников, рака шейки матки, рака мочевого пузыря, рака мозга, аденомы почки, метастатического рака.
- 38. Способ визуализации по п. 31, где способ визуализации применяют для детекции солидной опухоли.
- 39. Способ визуализации по п. 38, где солидная опухоль находится в органе, выбранном из группы, состоящей из головного мозга, толстой кишки, молочной железы, предстательной железы, печени, почки, легкого, пищевода, головы и шеи, яичника, шейки матки, желудка, прямой кишки, мочевого пузыря, матки, яичек и поджелудочной железы.
- 40. Способ визуализации по п. 31, где способ визуализации применяют для детекции инфекции.
- 41. Способ визуализации по п. 40, где инфекция представляет собой микробную инфекцию.
- 42. Способ визуализации по п. 41, где микробную инфекцию выбирают из группы, состоящей из инфекции, вызванной одним или более микроорганизмами, выбранными из группы, состоящей из Mycobacterium tuberculosis, E. coli, Klebsiella Enterobacter sp., Proteus sp., Serratia marcescens, Pseudomonas aeruginosa, Staphylococcus spp., including S. aureus and coag.negative Staphylococcus, Enterococcus sp., Streptococcus Haemophilus pneumoniae, influenzae, Bacteroides Acinetobacter spp., Helicobacter spp., Candida sp., метициллинрезистентного Staphylococcus aureus (MRSA) и ванкомицин-

резистентного Enterococcus faecalis (VRE).

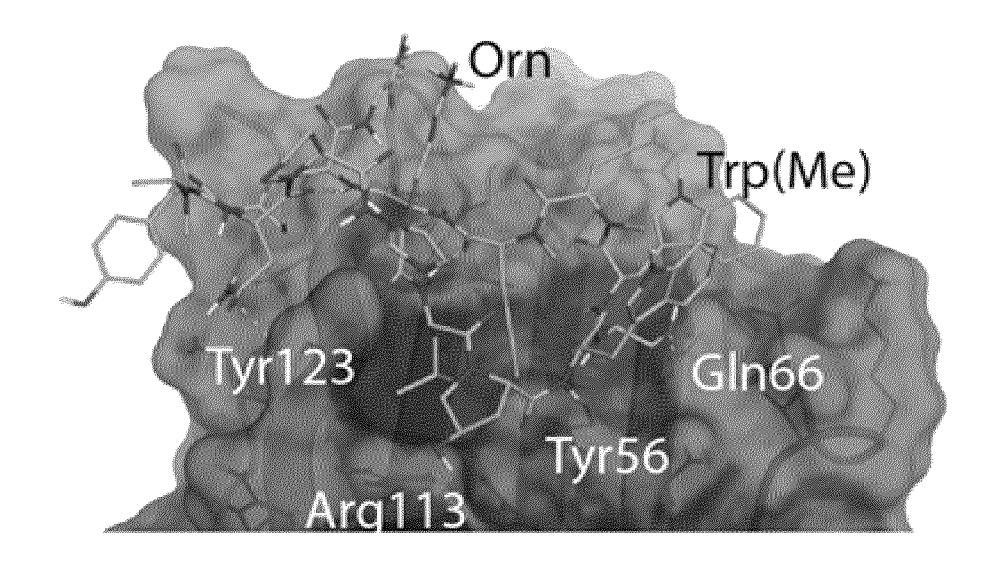
- 43. Способ визуализации по п. 31, где способ визуализации применяют для детекции воспаления.
- 44. Визуализирующее средство по п. 43, где воспаление связано с расстройством, выбранным из группы, состоящей из астмы, аутоиммунного заболевания, аутовоспалительного заболевания, целиакии, дивертикулита, гломерулонефрита, гнойного гидраденита, гиперчувствительности, воспалительного заболевания кишечника, интерстициального цистита, отита, воспалительного заболевания тазовых органов, реперфузионного повреждения, острой ревматической лихорадки, ревматоидного артрита, саркоидоза, отторжения трансплантата, волчанки, системной красной волчанки и васкулита.
- 45. Способ визуализации по п. 44, где воспаление вызвано ревматоидным артритом или системной красной волчанкой.
- 46. Способ визуализации по п. 31, где способ визуализации применяют для детекции одной или более иммунных клеток в опухоли.
- 47. Способ визуализации по п. 31, где способ визуализации применяют для детекции системного распределения иммунных клеток в опухоли у субъекта.
- 48. Способ визуализации по п. 31, где способ визуализации применяют для детекции ответа иммунной клетки на инфекционное заболевание.
- 49. Способ визуализации по п. 31, где способ визуализации применяют для детекции ответа иммунной клетки в опухоли или ответа в здоровой ткани на воспалительное заболевание.
- 50. Способ визуализации по п. 31, где способ визуализации позволяет осуществлять детекцию уровней экспрессии PD-L1 у субъекта.
- 51. Способ визуализации по п. 31, где способ визуализации позволяет измерять занятость или таргетное связывание PD-L1 антителами или пептидами или низкомолекулярными средствами в месте опухоли или в нормальной ткани субъекта.
- 52. Набор реагентов для детекции лиганда 1 белка программируемой смерти клеток (PD-L1), где набор включает

визуализирующее средство по любому из пп. 1-27.

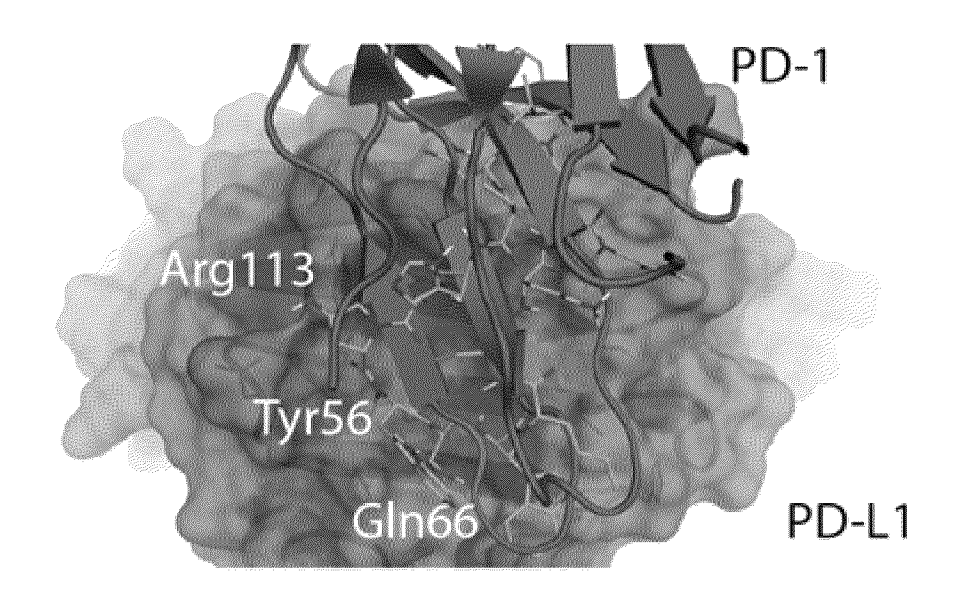
По доверенности

WL12=Цикло-(-Ac-Tyr-NMeAla-Asn-Pro-His-Leu-Hyp-Trp-Ser-Trp(метил)-NMeNle-NMeNle-Lys-Cys-)-Gly-NH2

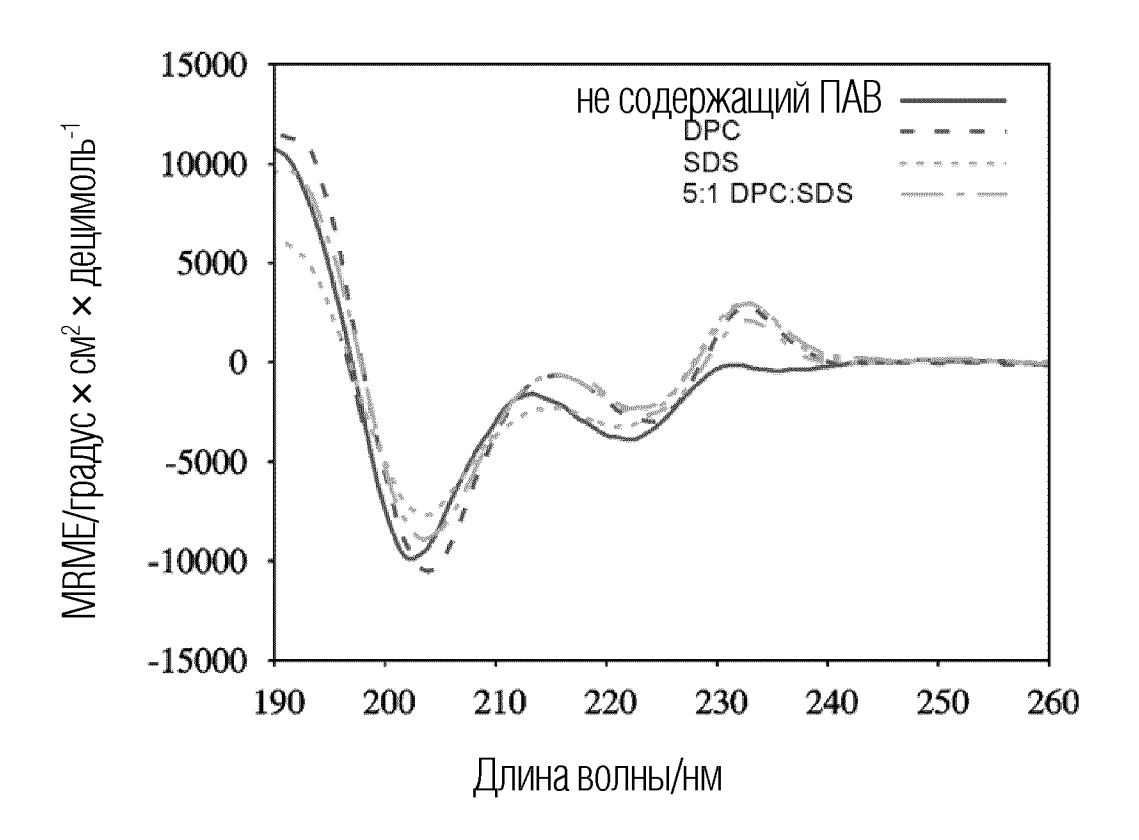
ФИГ. 1А



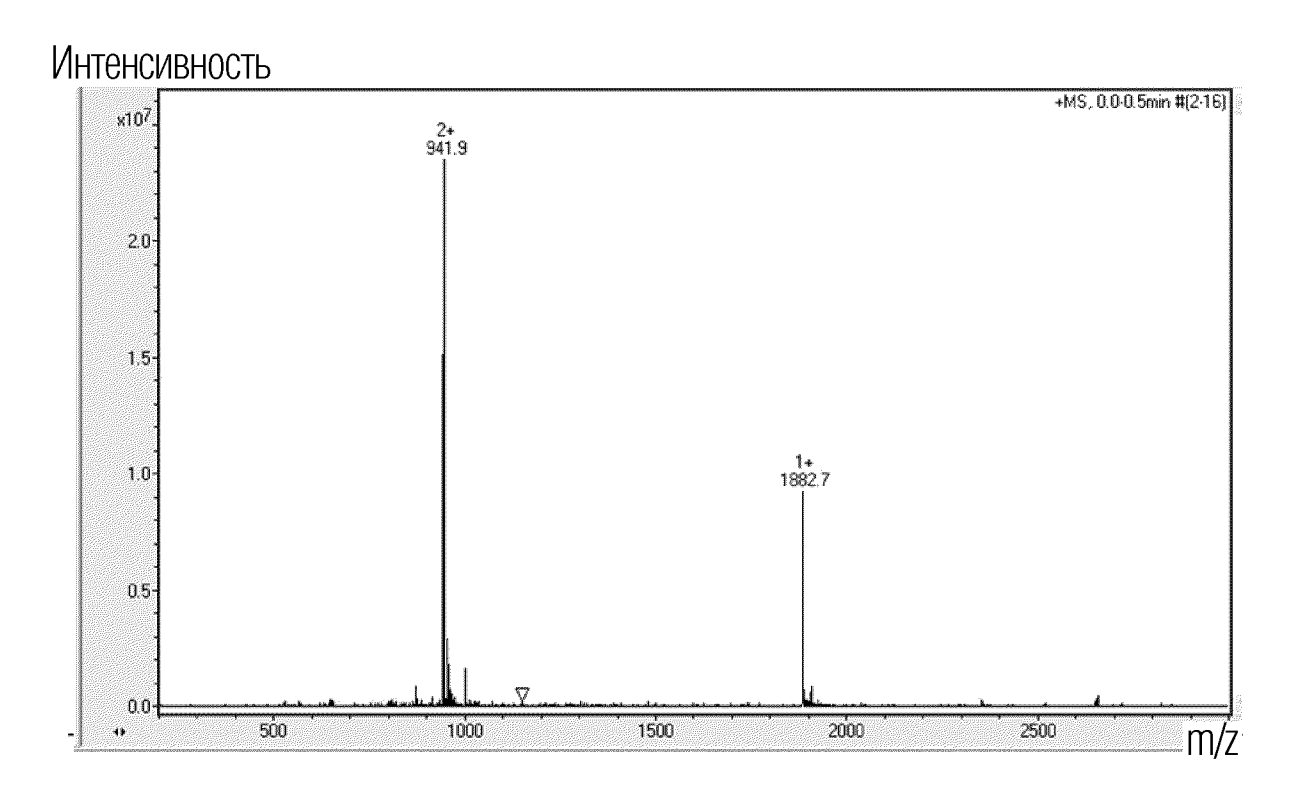
ФИГ. 1В



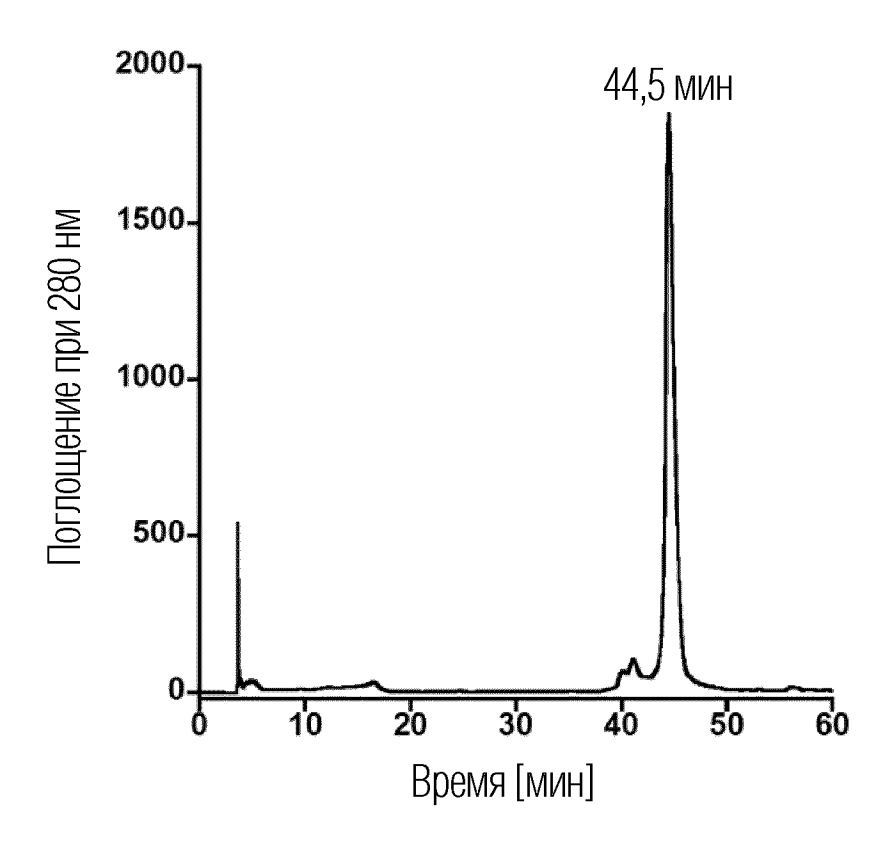
ФИГ. 1С



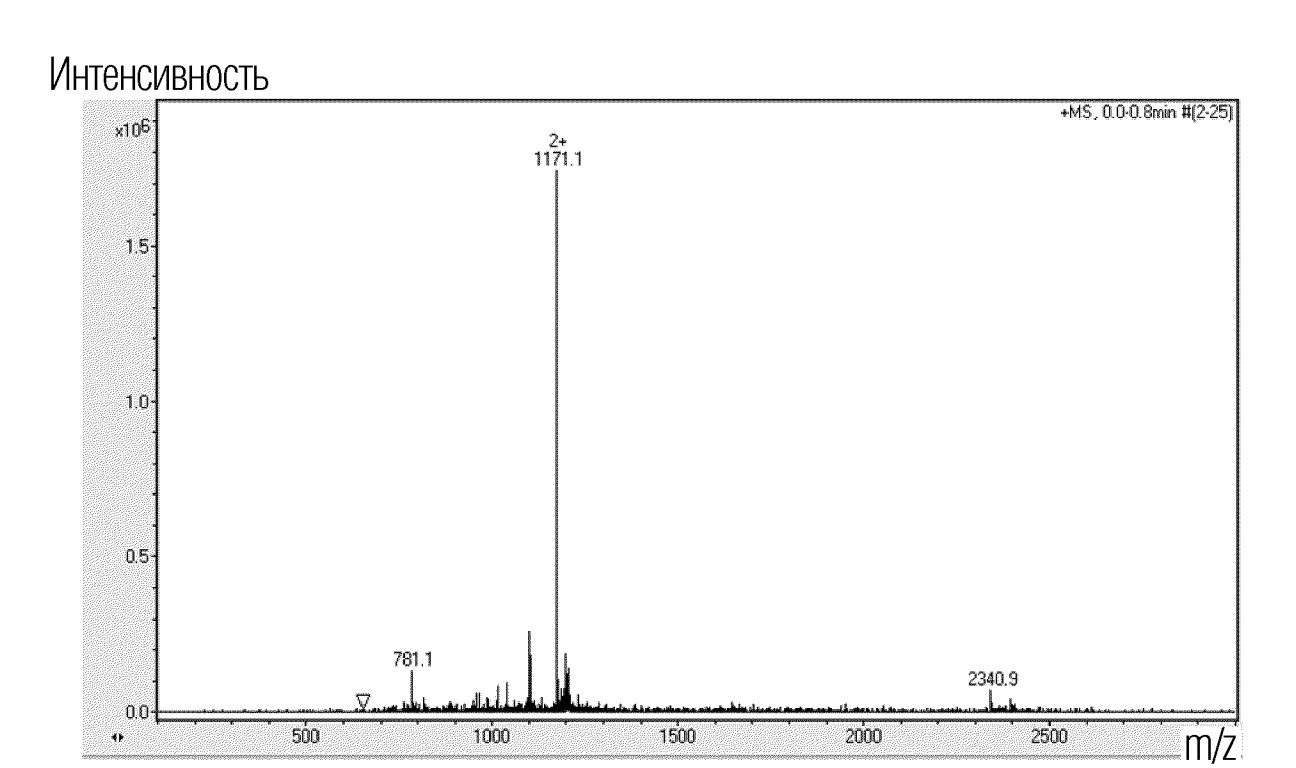
ФИГ. 2



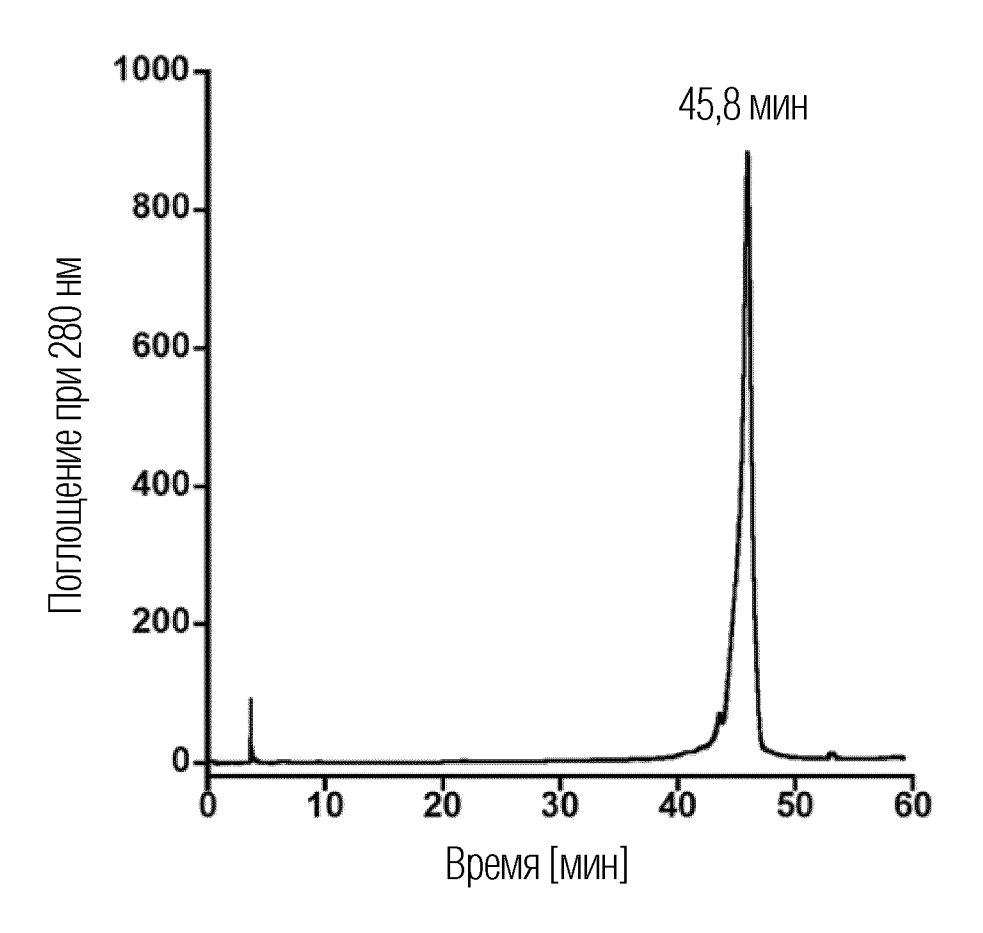
ФИГ. 3



ФИГ. 4



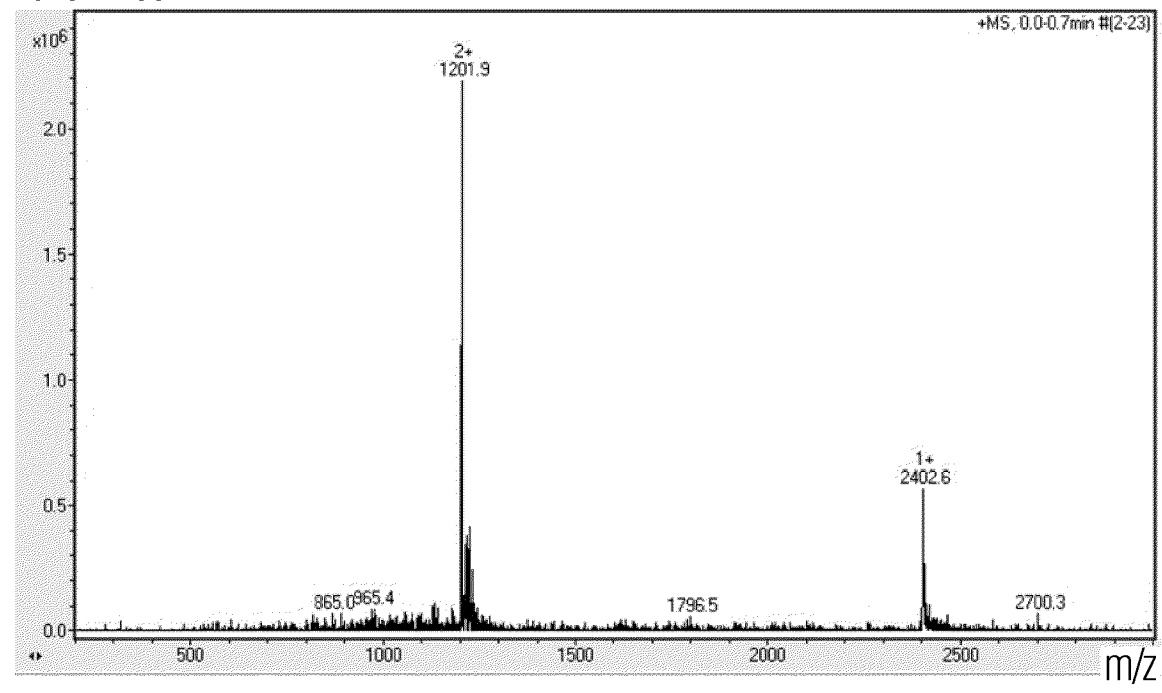
ФИГ. 5



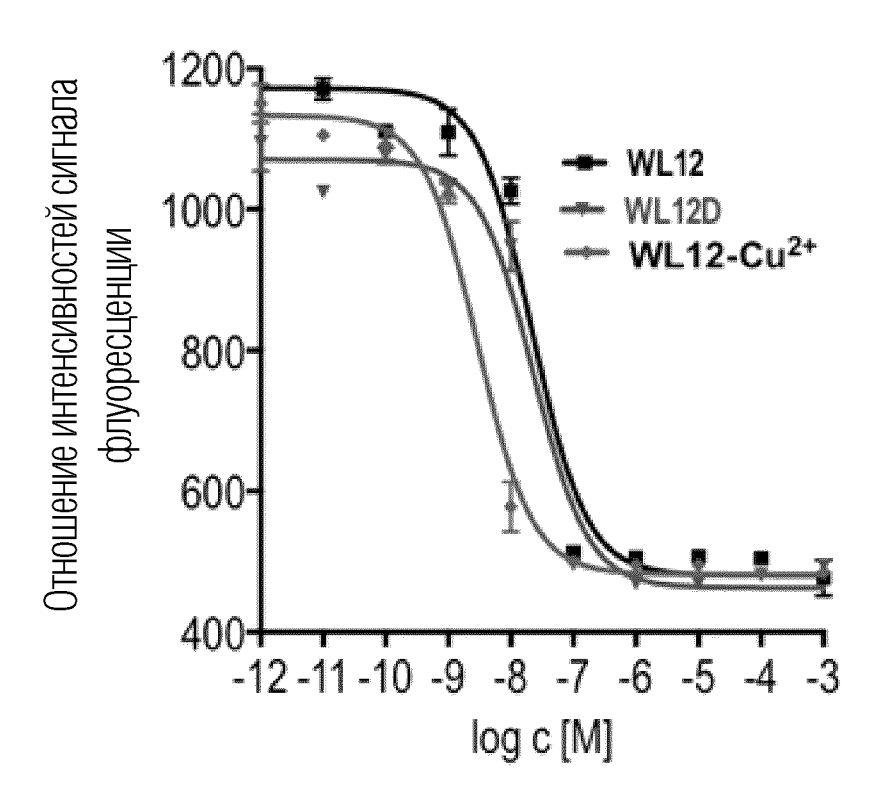
ФИГ. 6

8/60

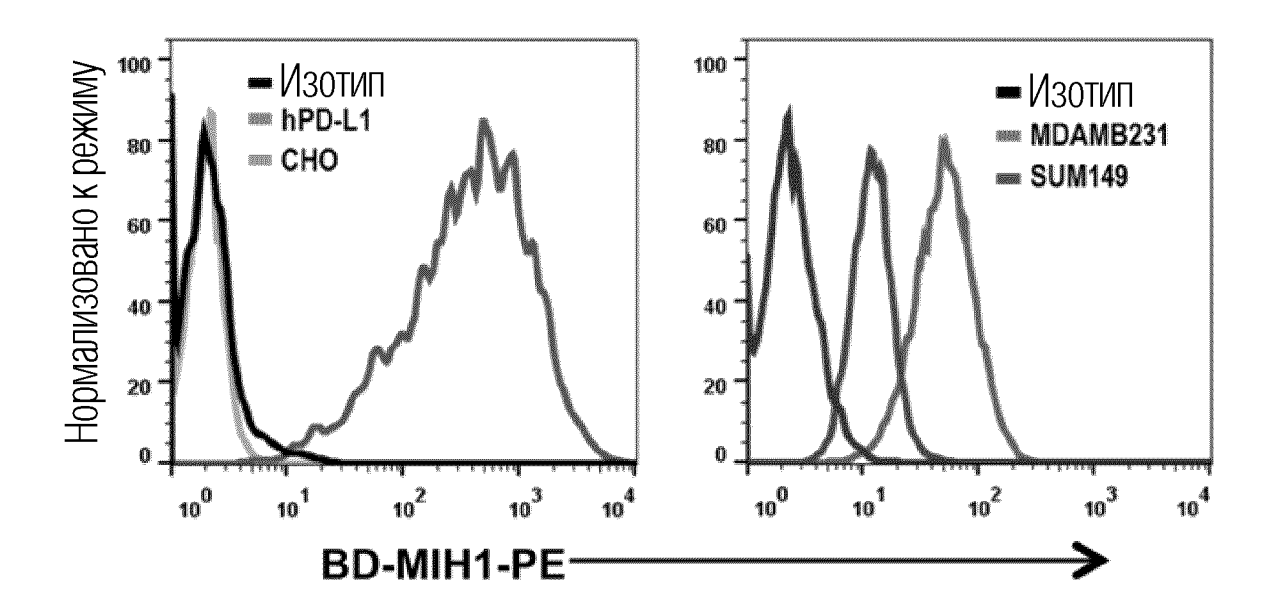
Интенсивность



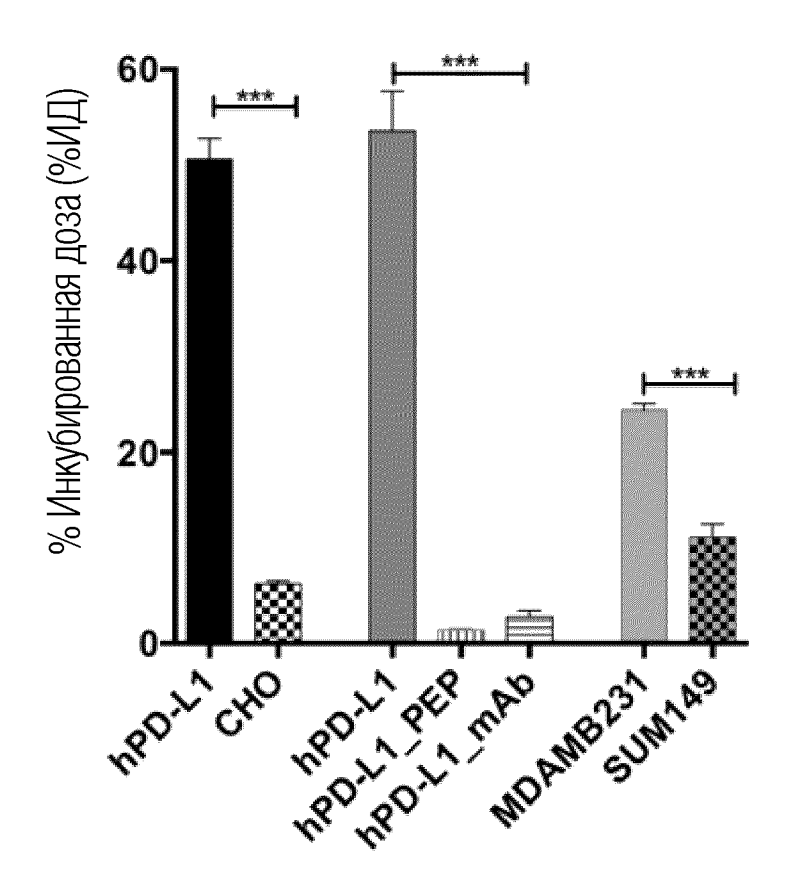
ФИГ. 7



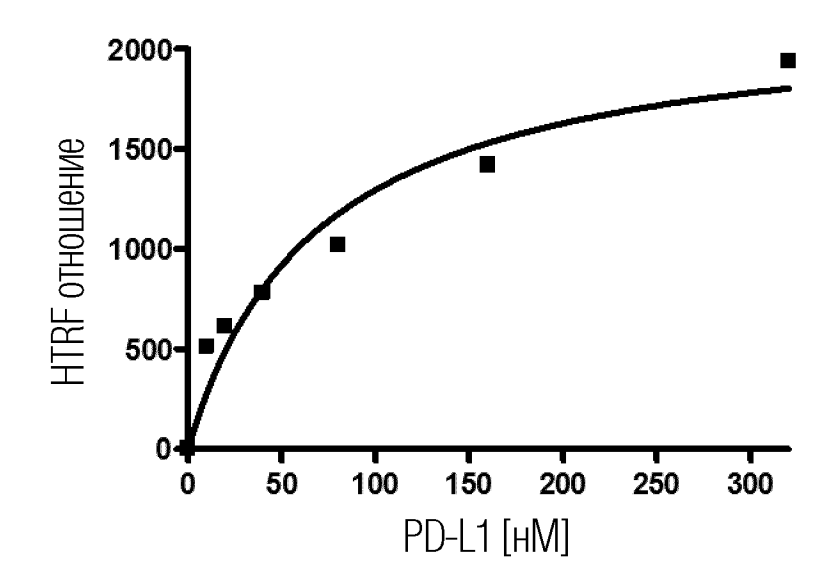
ФИГ. 8А



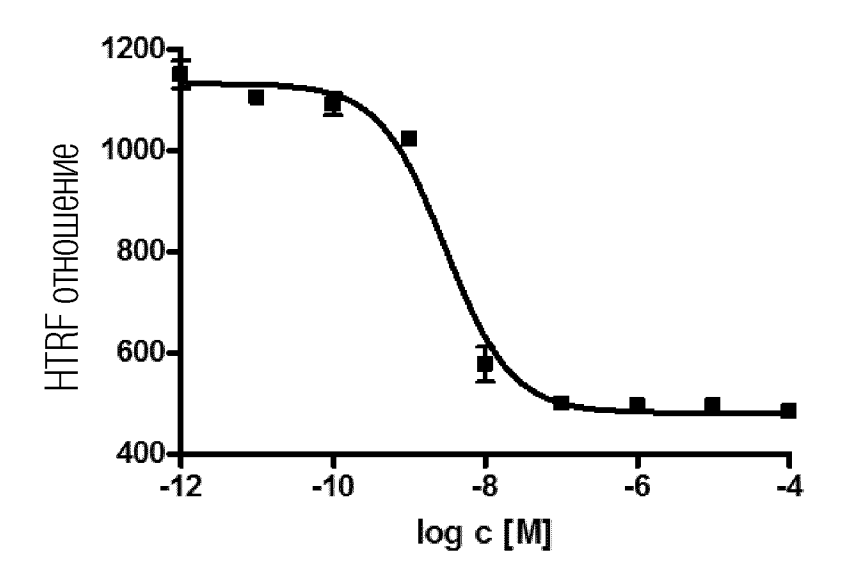
ФИГ. 8В



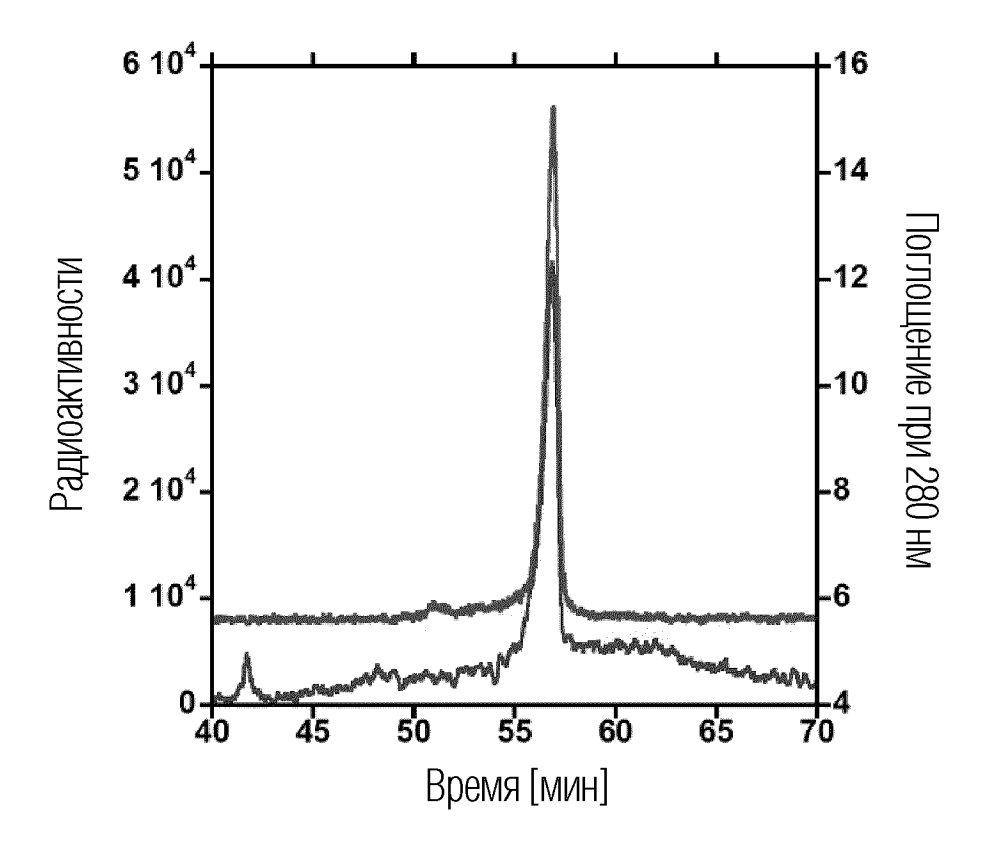
ФИГ. 8С



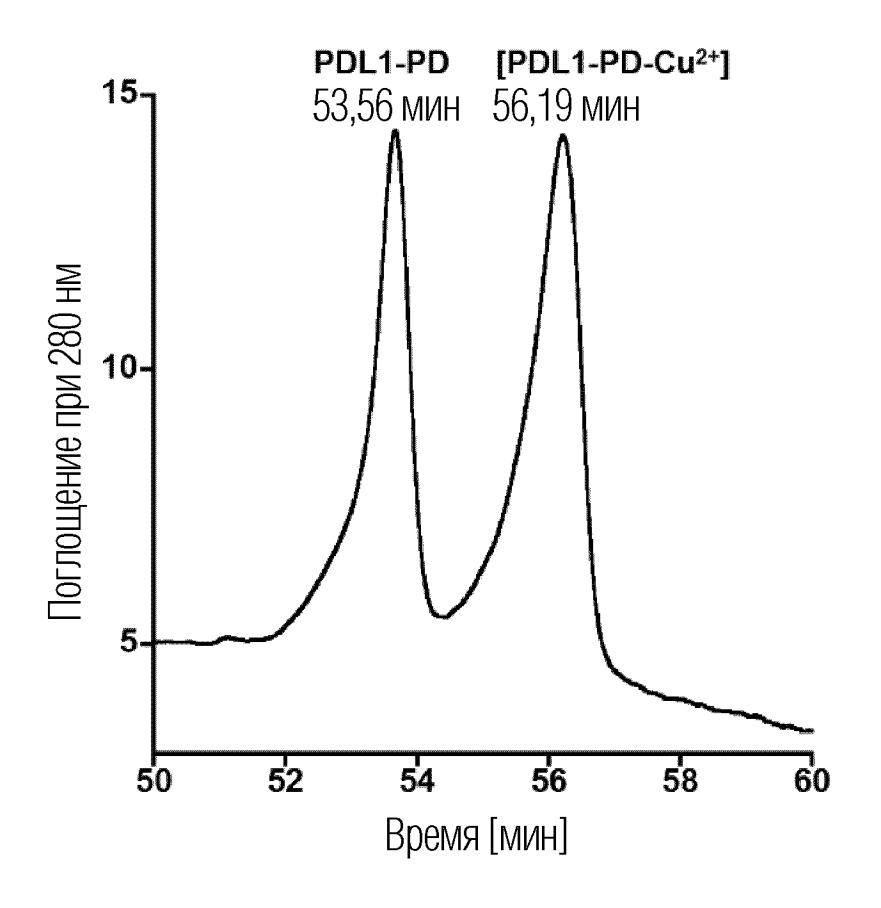
ФИГ. 9



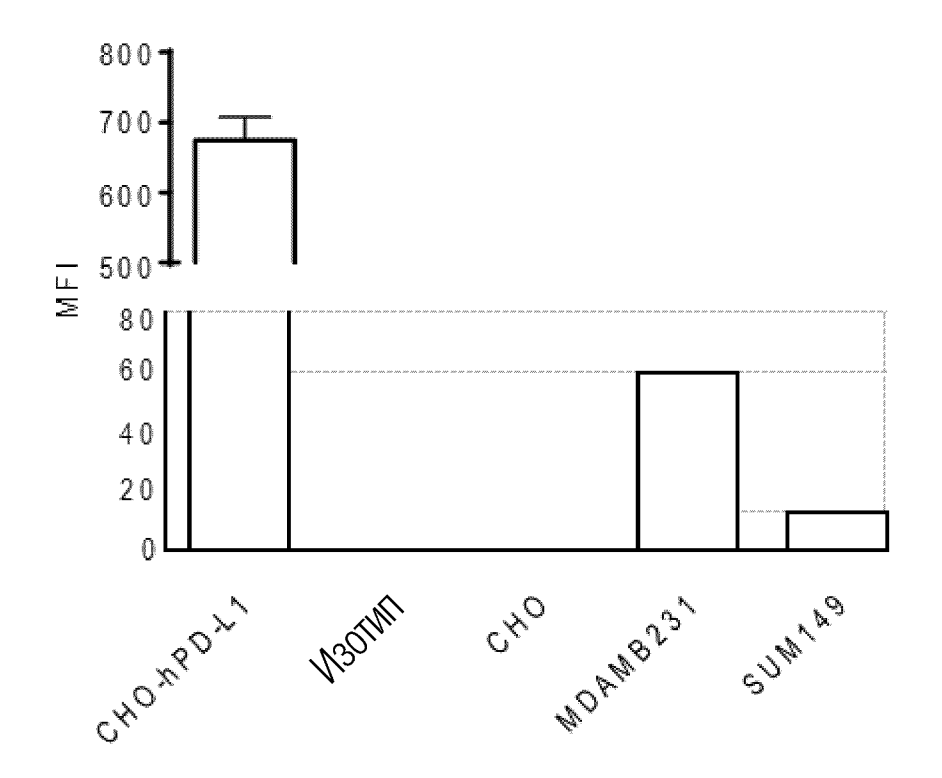
ФИГ. 10



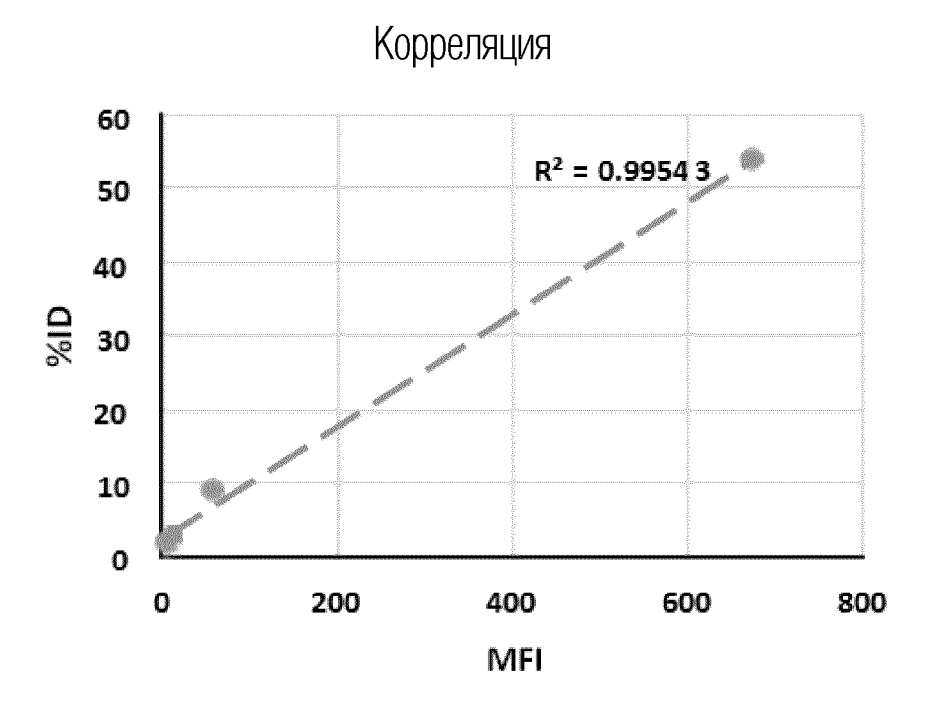
ФИГ. 11



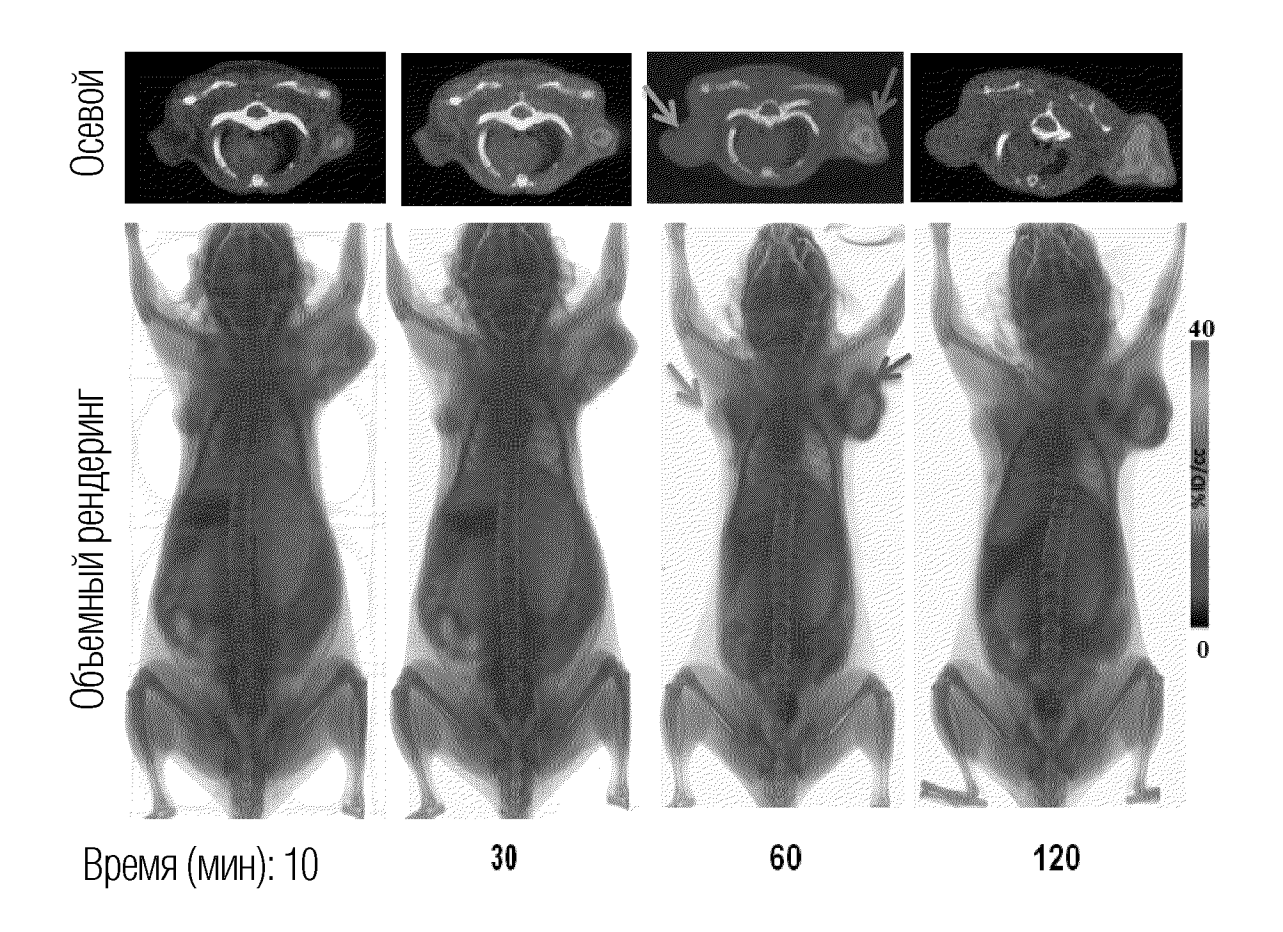
ФИГ. 12



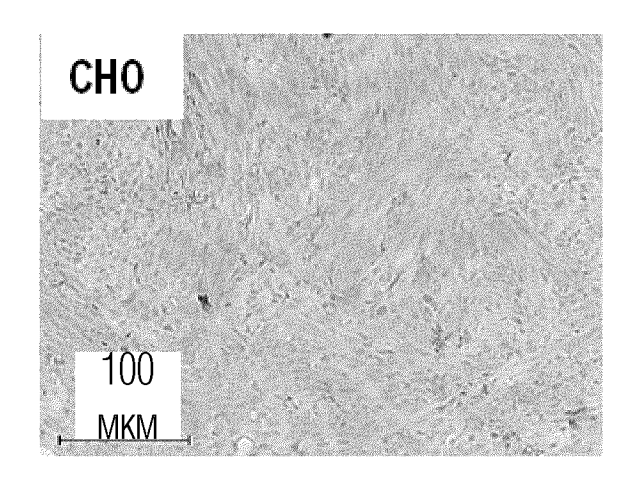
ФИГ. 13

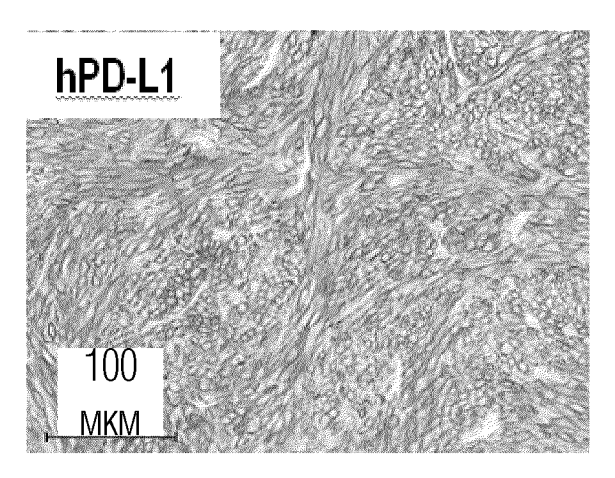


ФИГ. 14

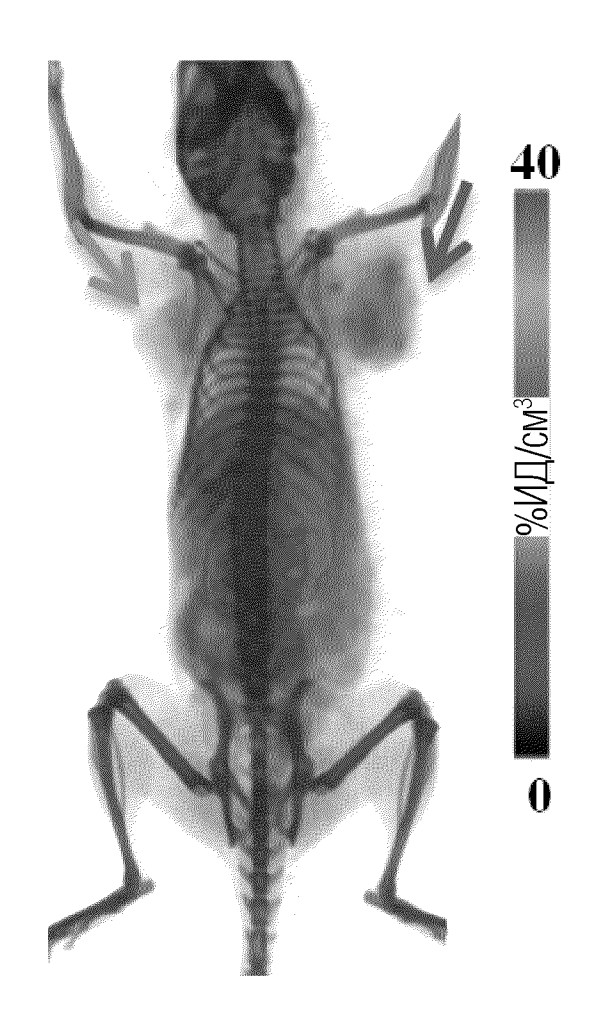


ФИГ. 15А

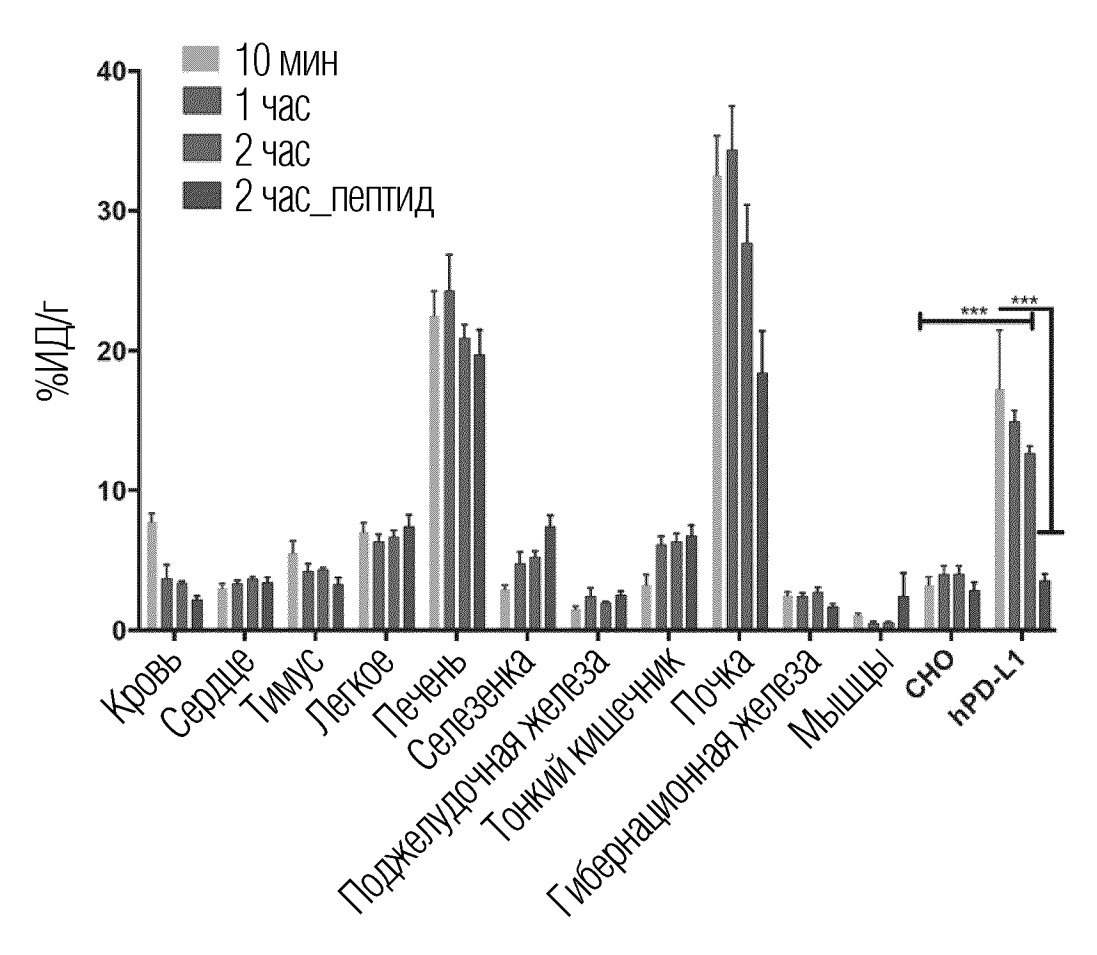




ФИГ. 15В

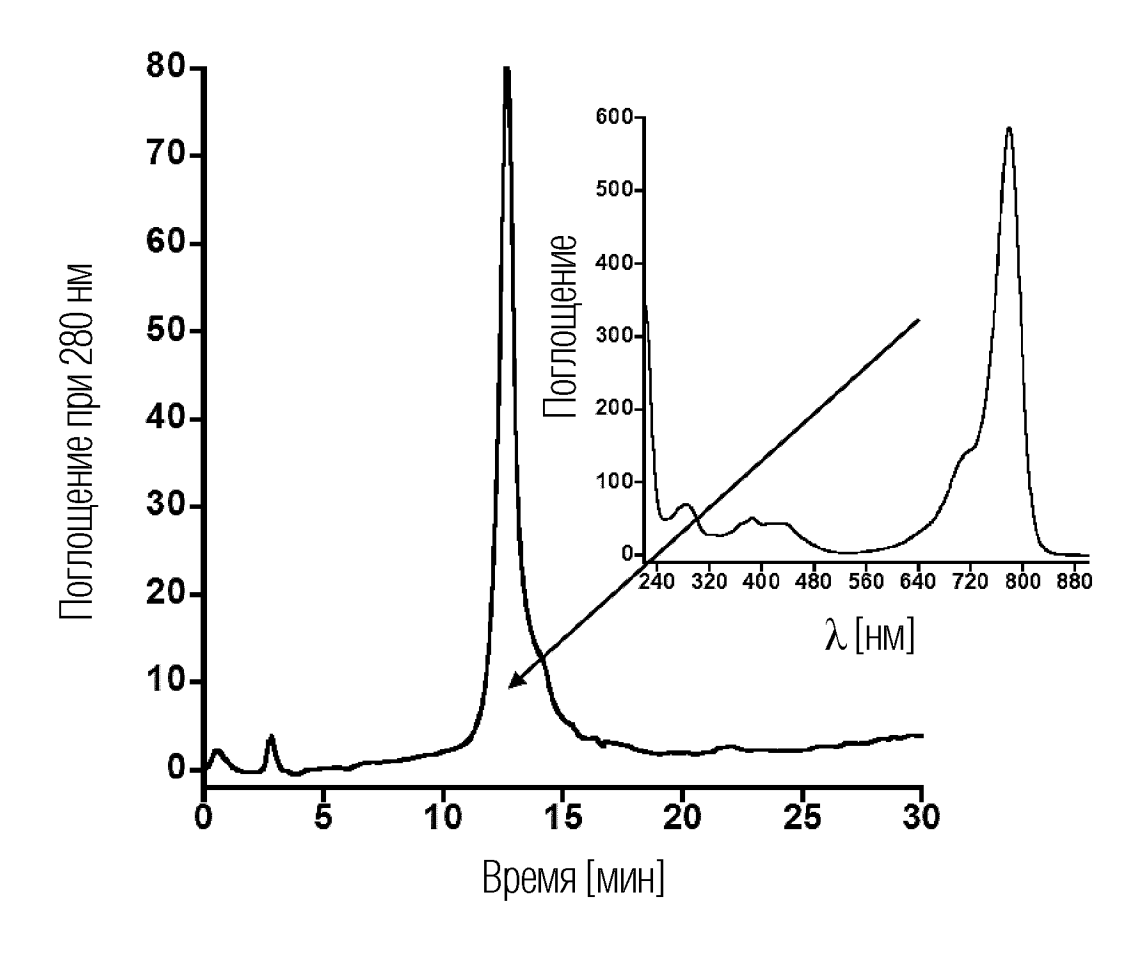


ФИГ. 16



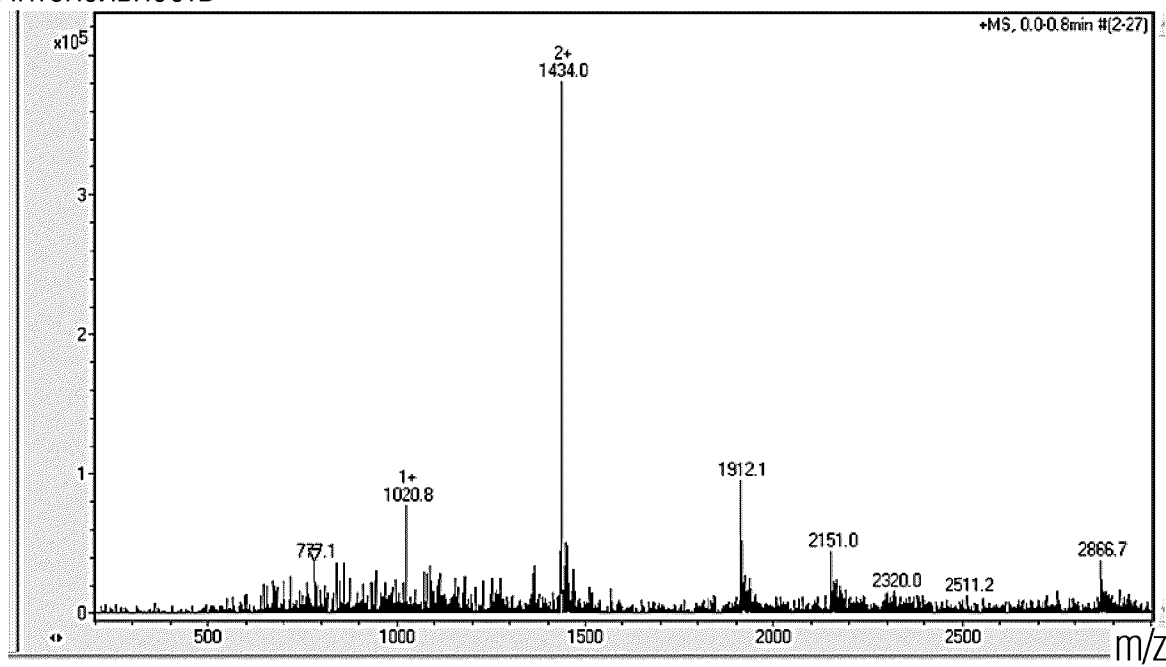
ФИГ. 17

ФИГ. 18А



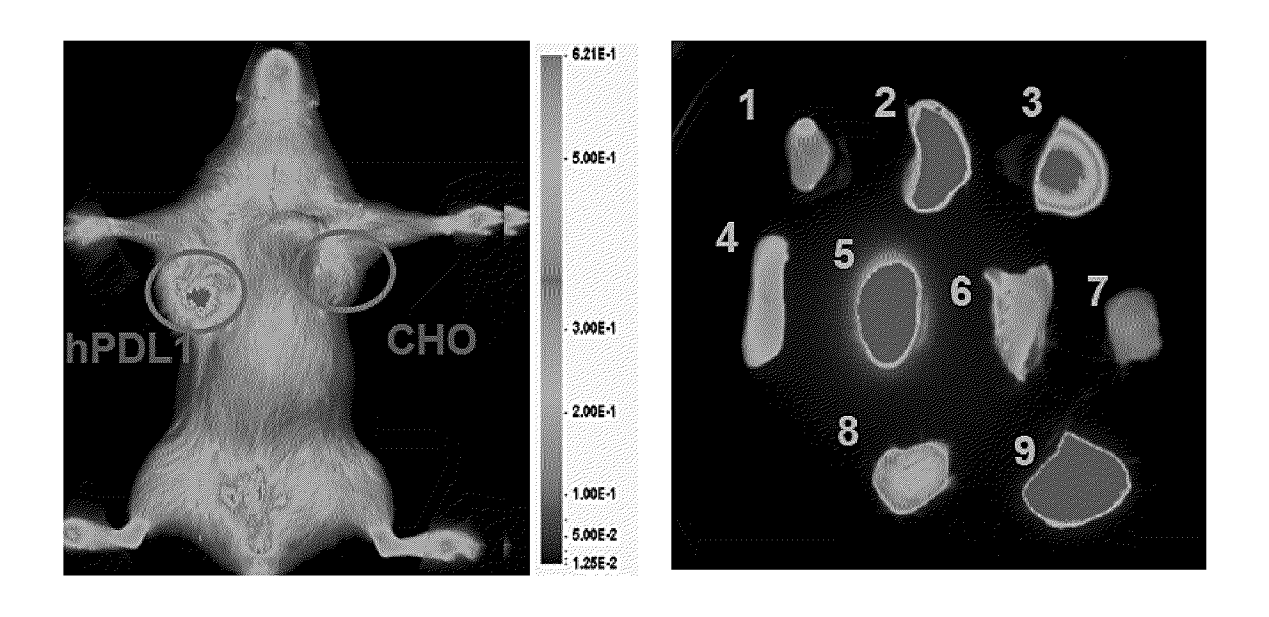
ФИГ. 18В

Интенсивность

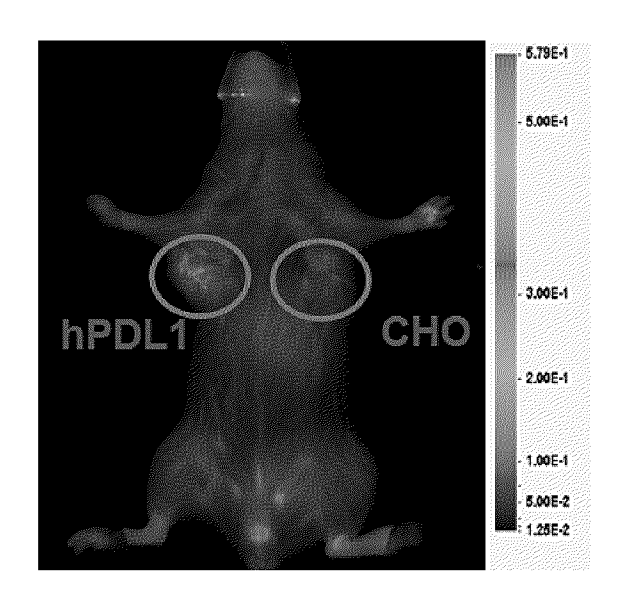


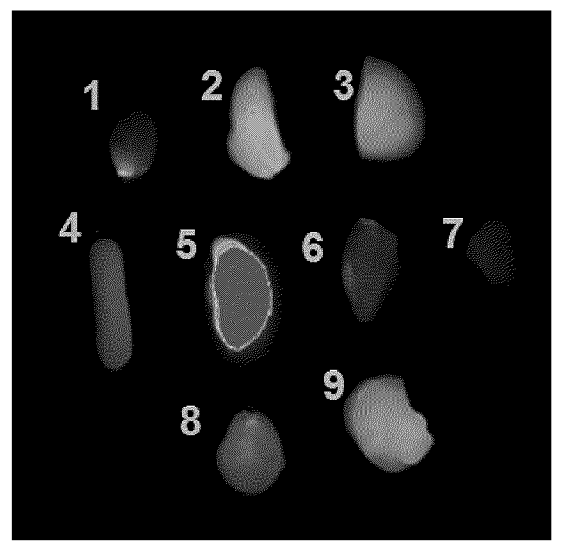
ФИГ. 18С

25/60

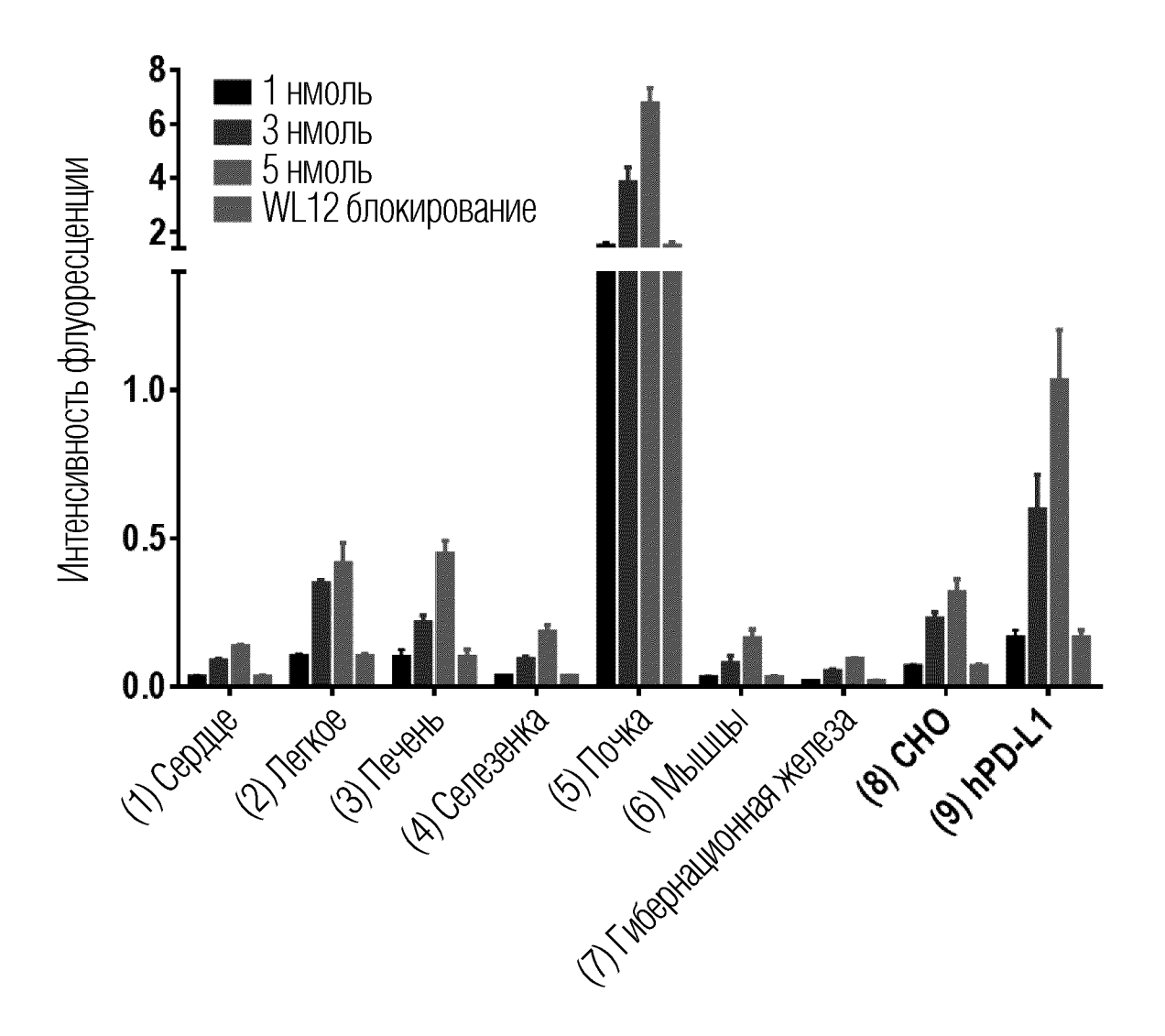


ФИГ. 19А

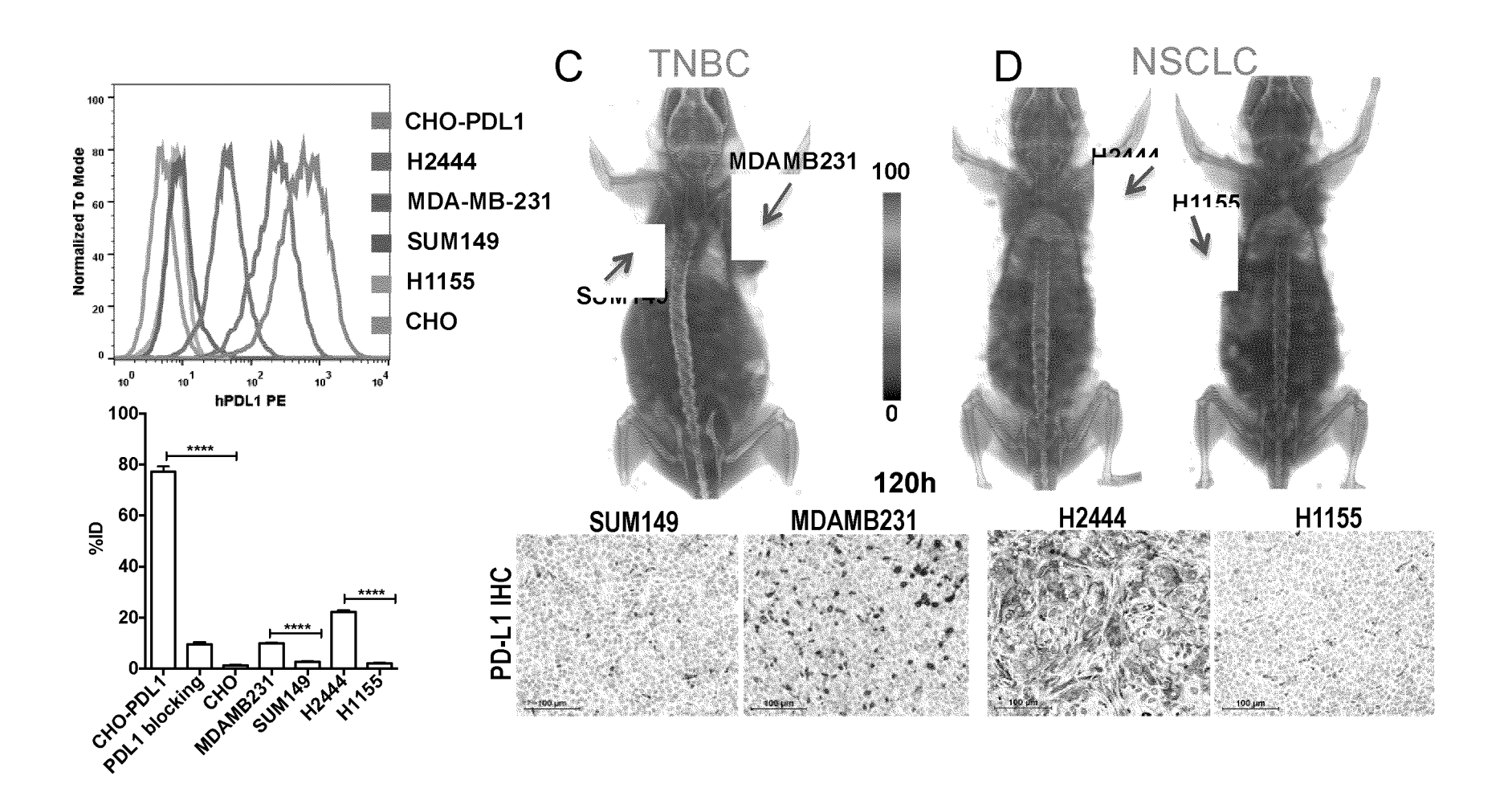




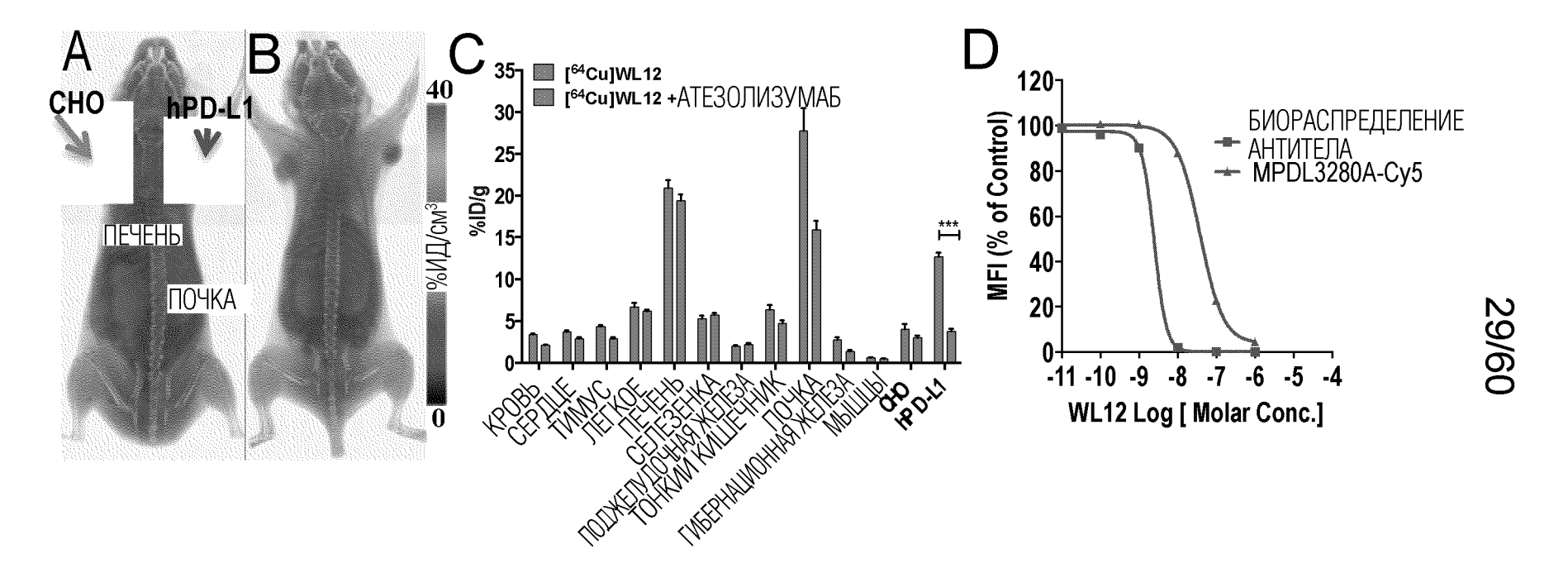
ФИГ. 19В



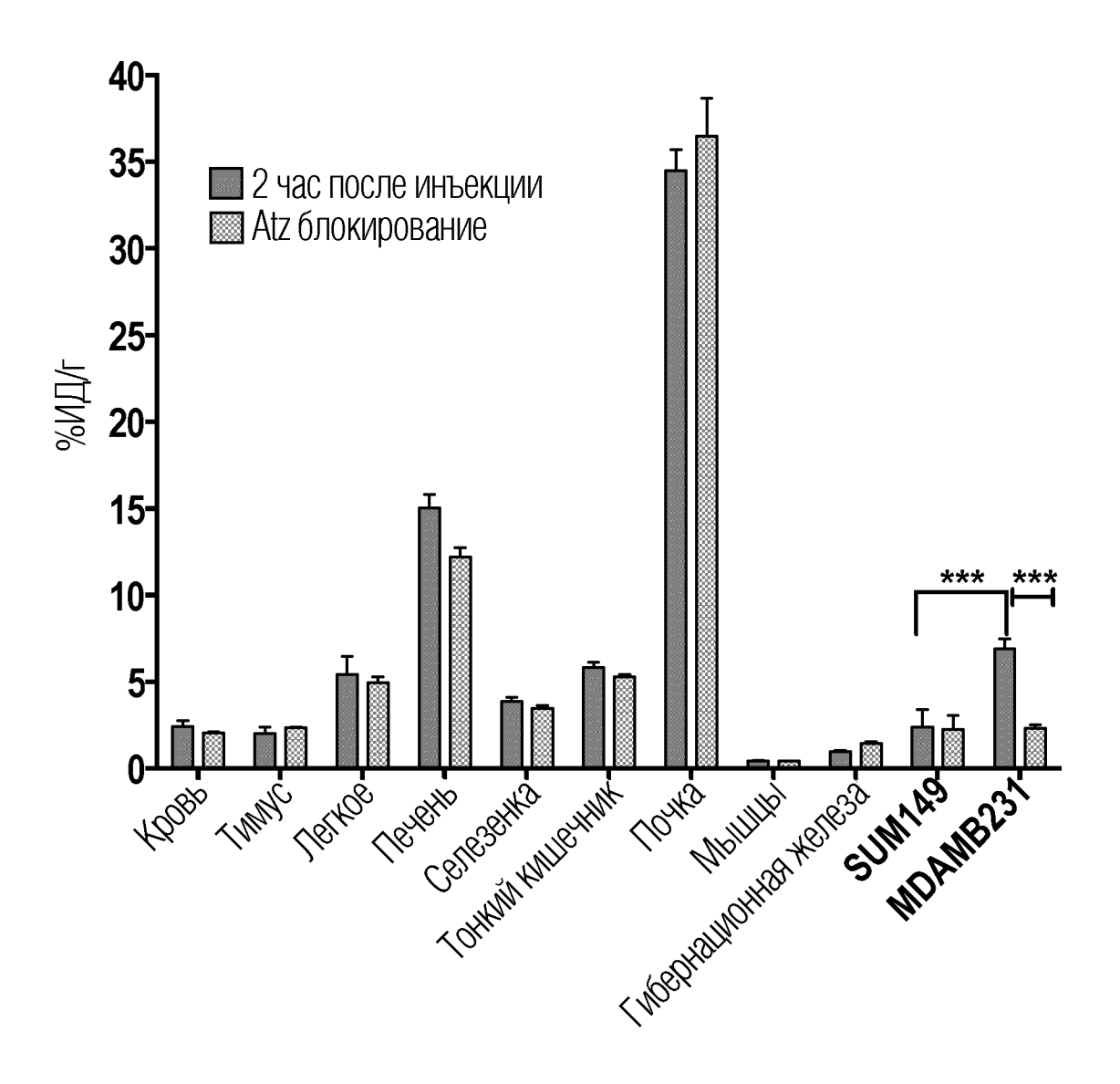
ФИГ. 19С



ФИГ. 20

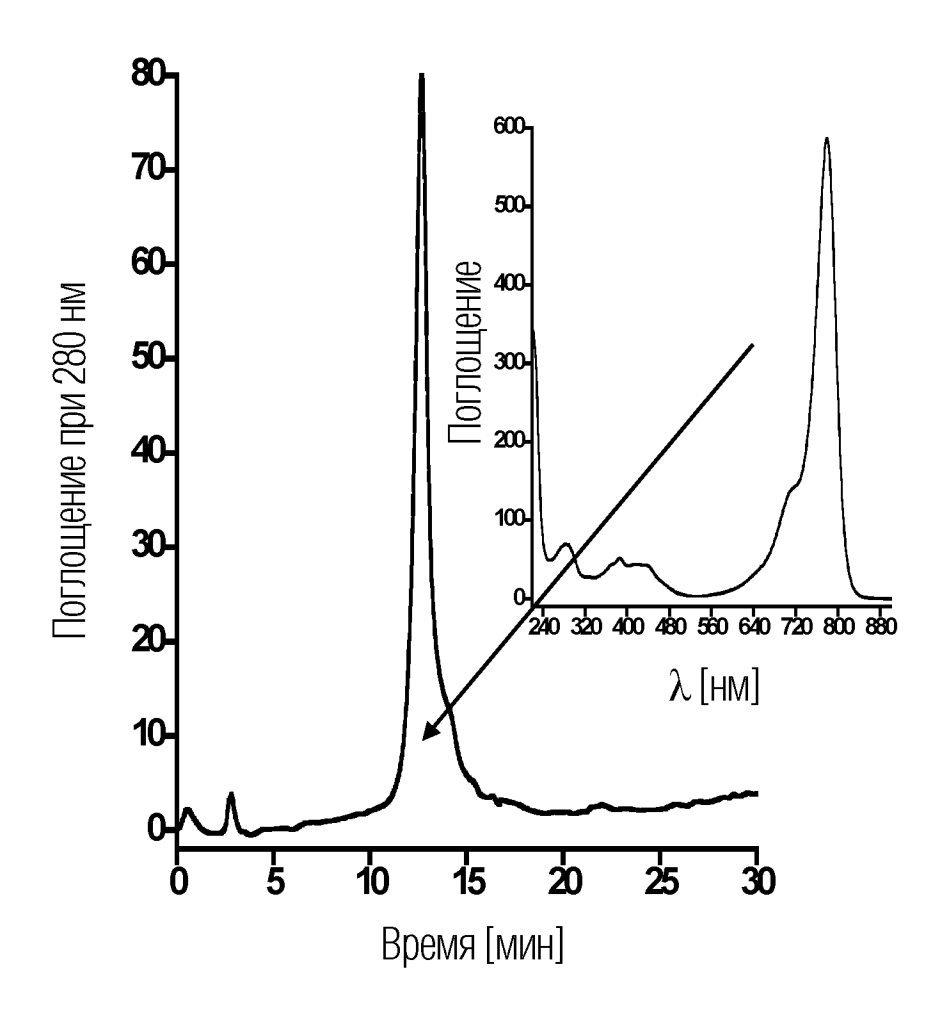


ФИГ. 21

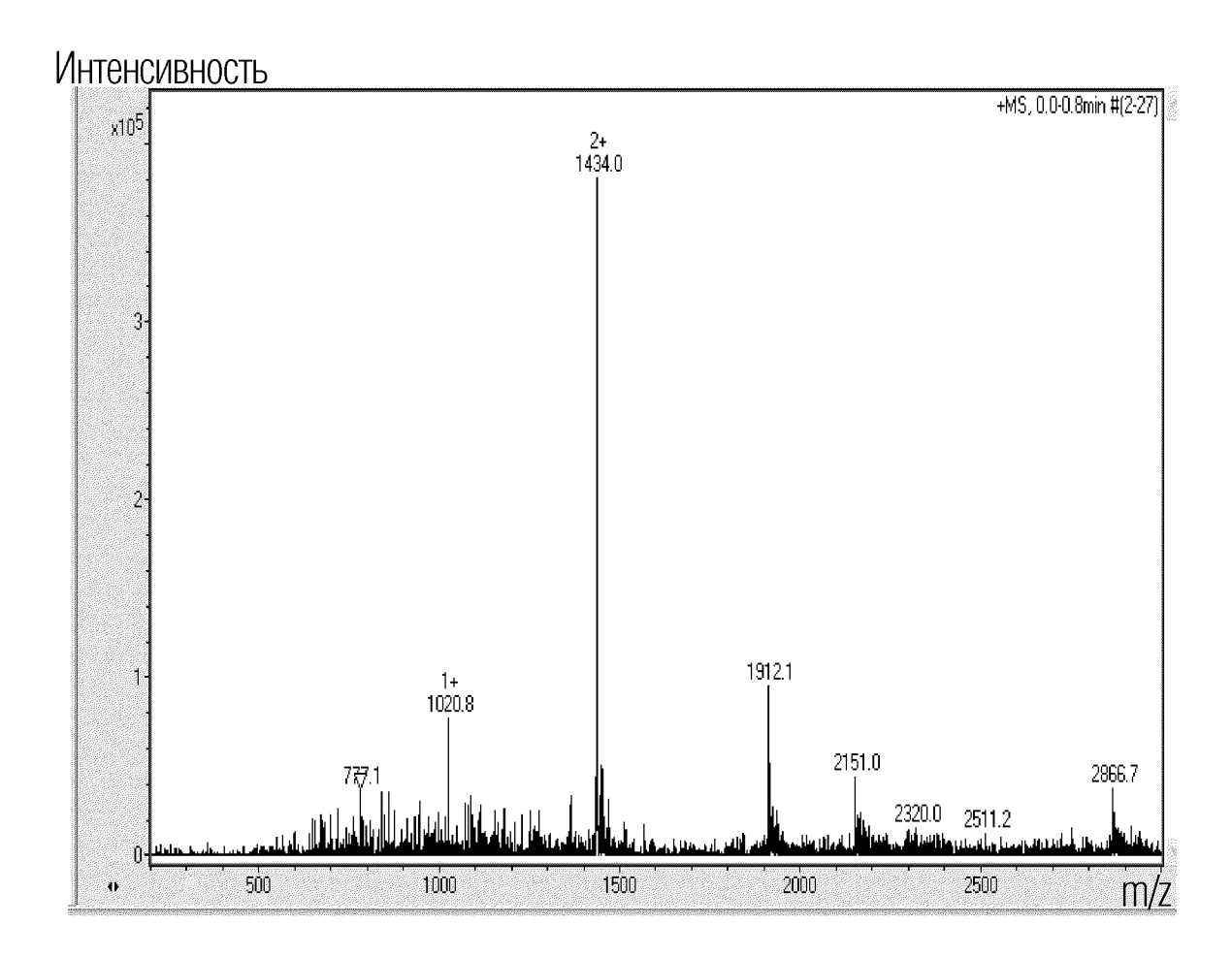


ФИГ. 22

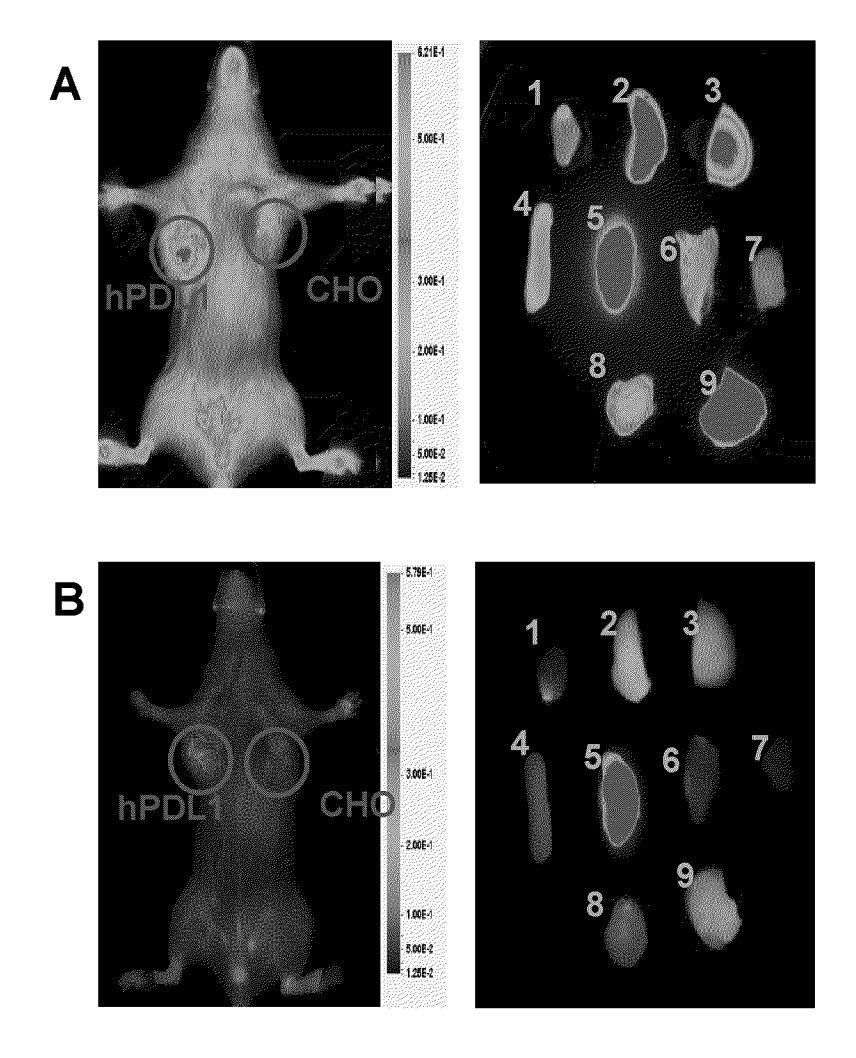
ФИГ. 23А



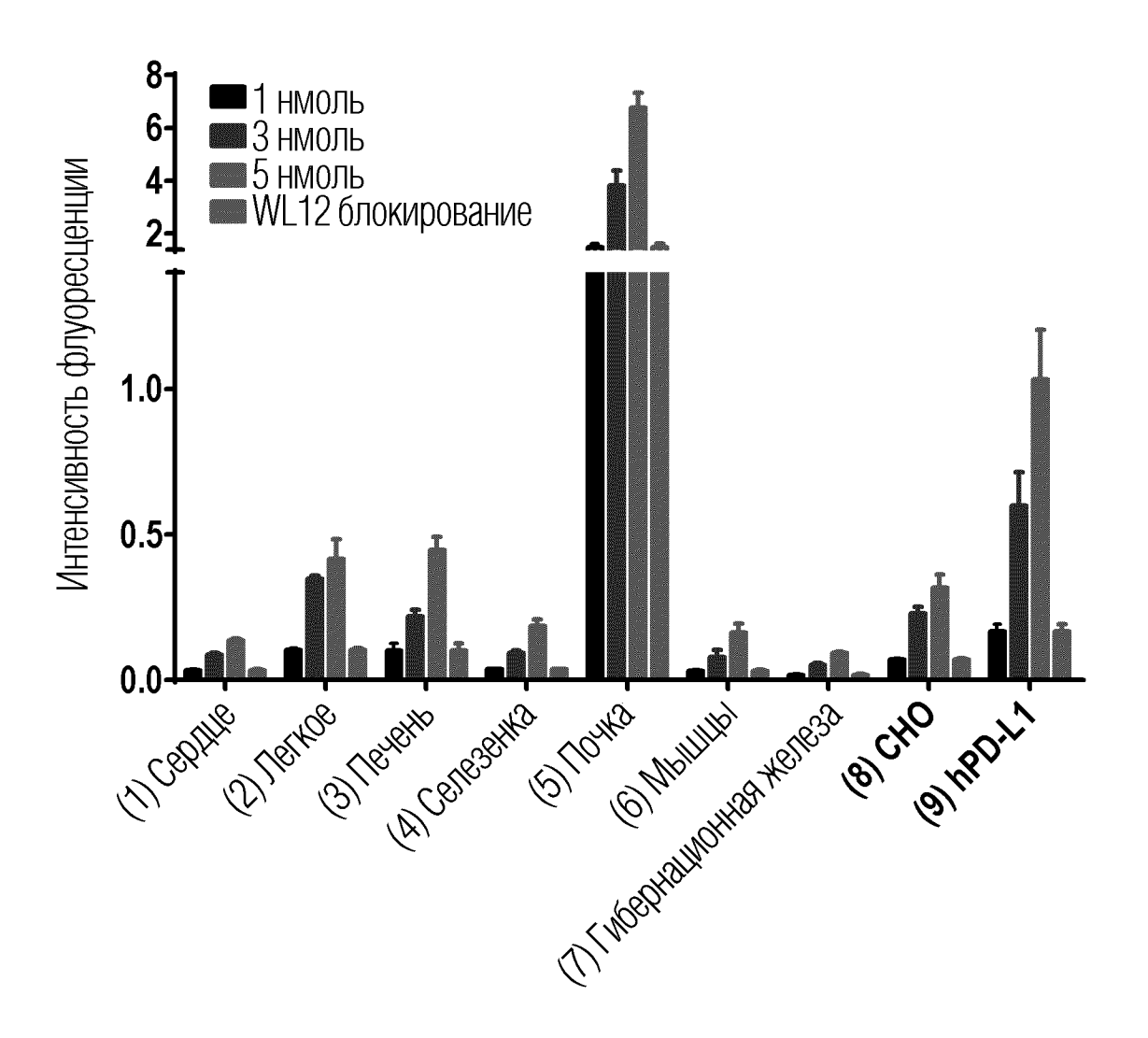
ФИГ. 23В



ФИГ. 23С

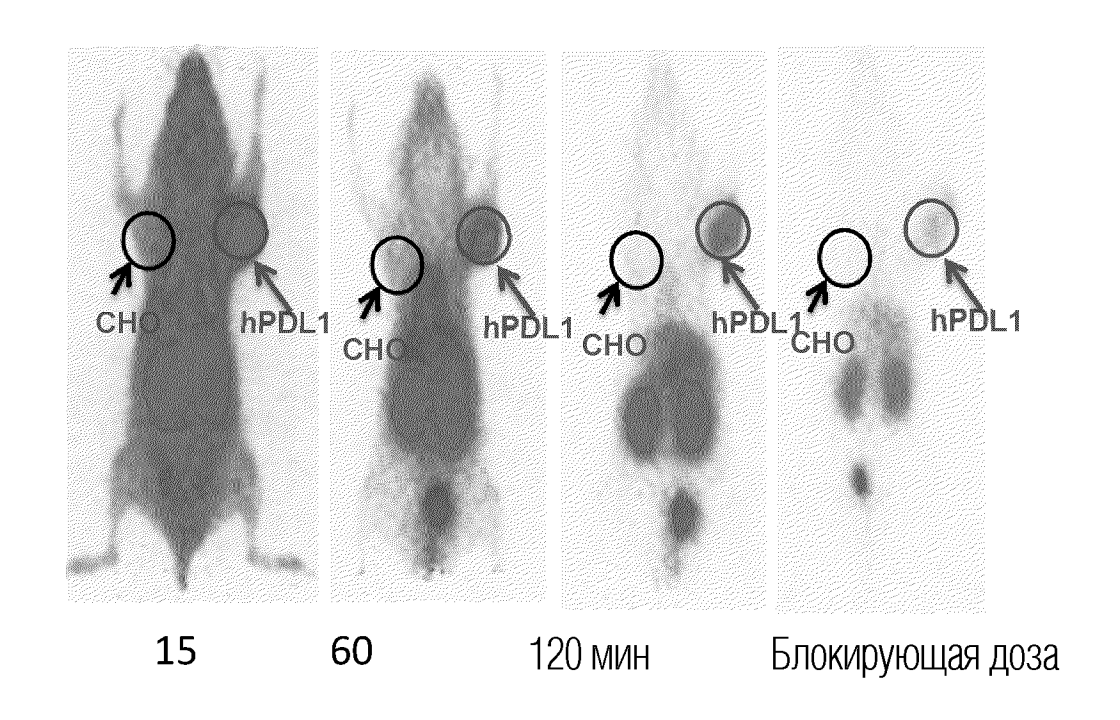


ФИГ. 24А и 24В

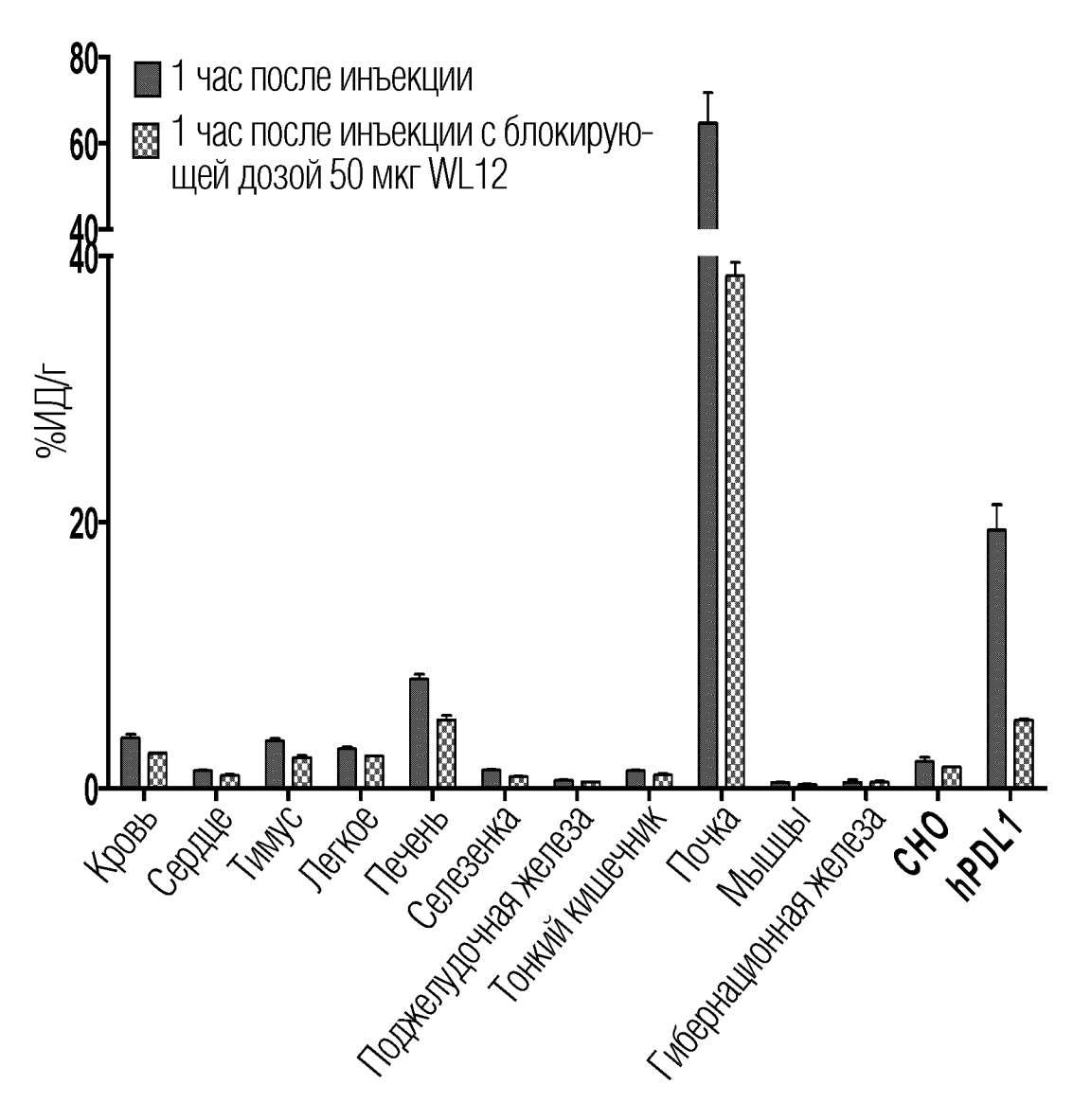


ФИГ. 24С

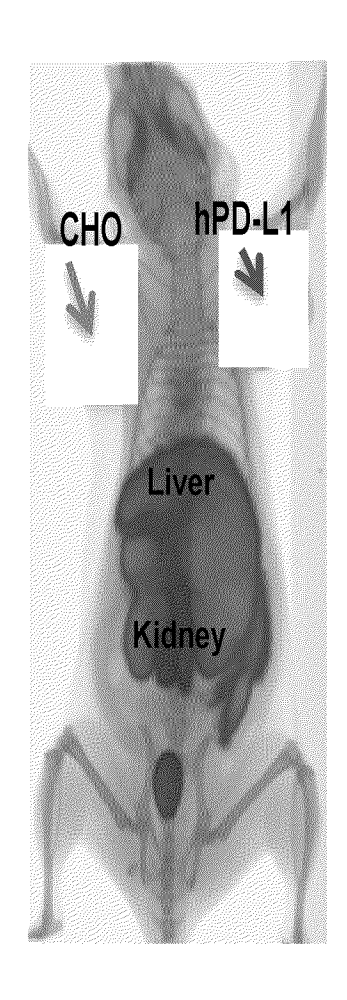
36/60



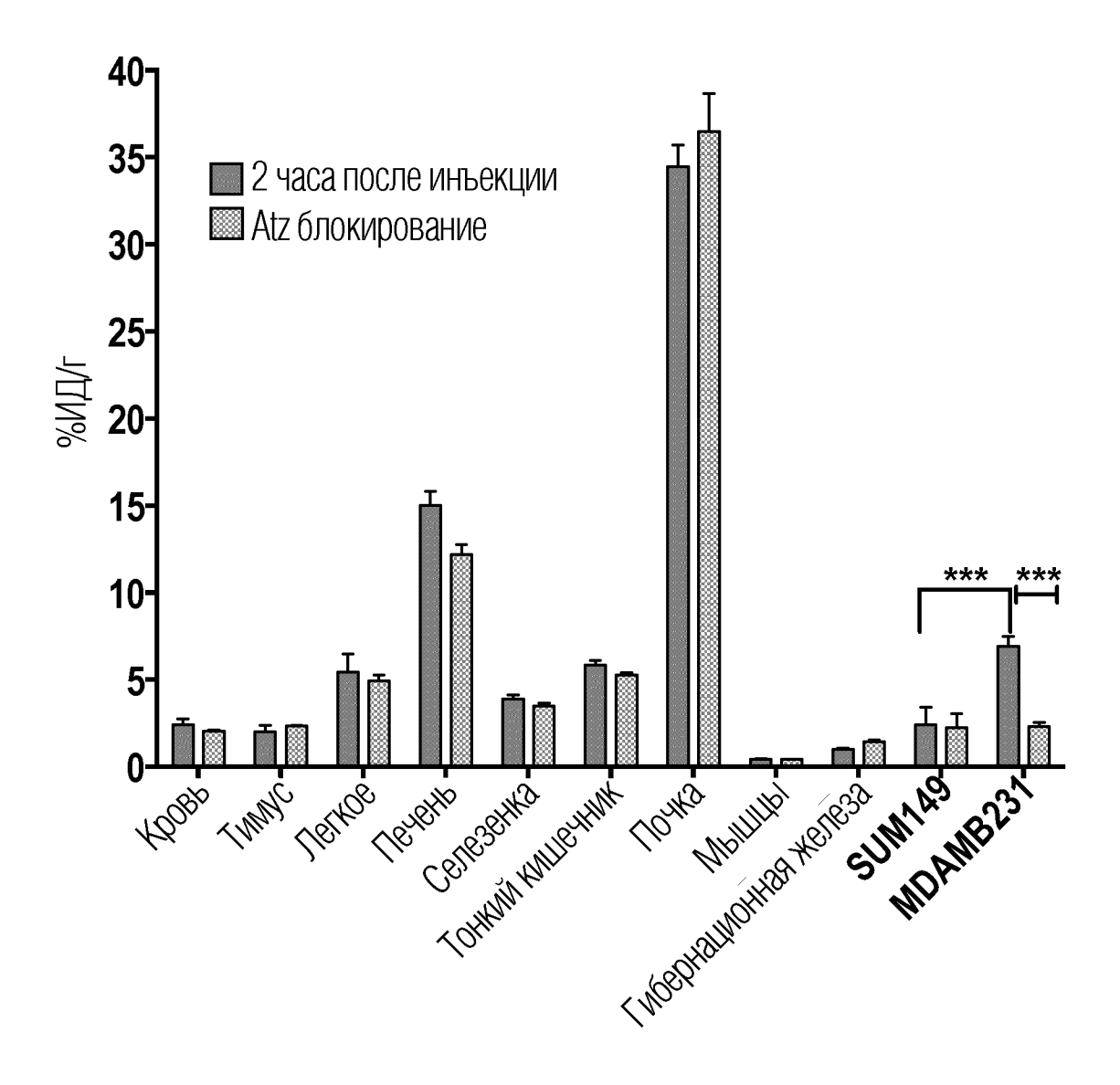
ФИГ. 25А



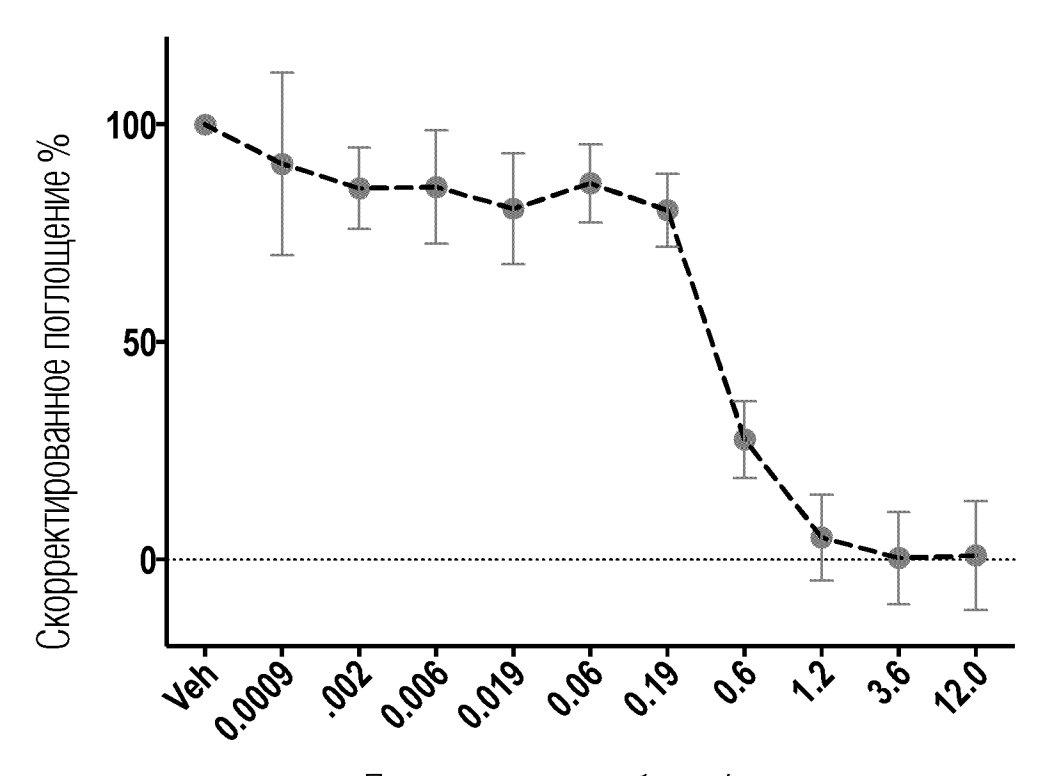
ФИГ. 25В



ФИГ. 26

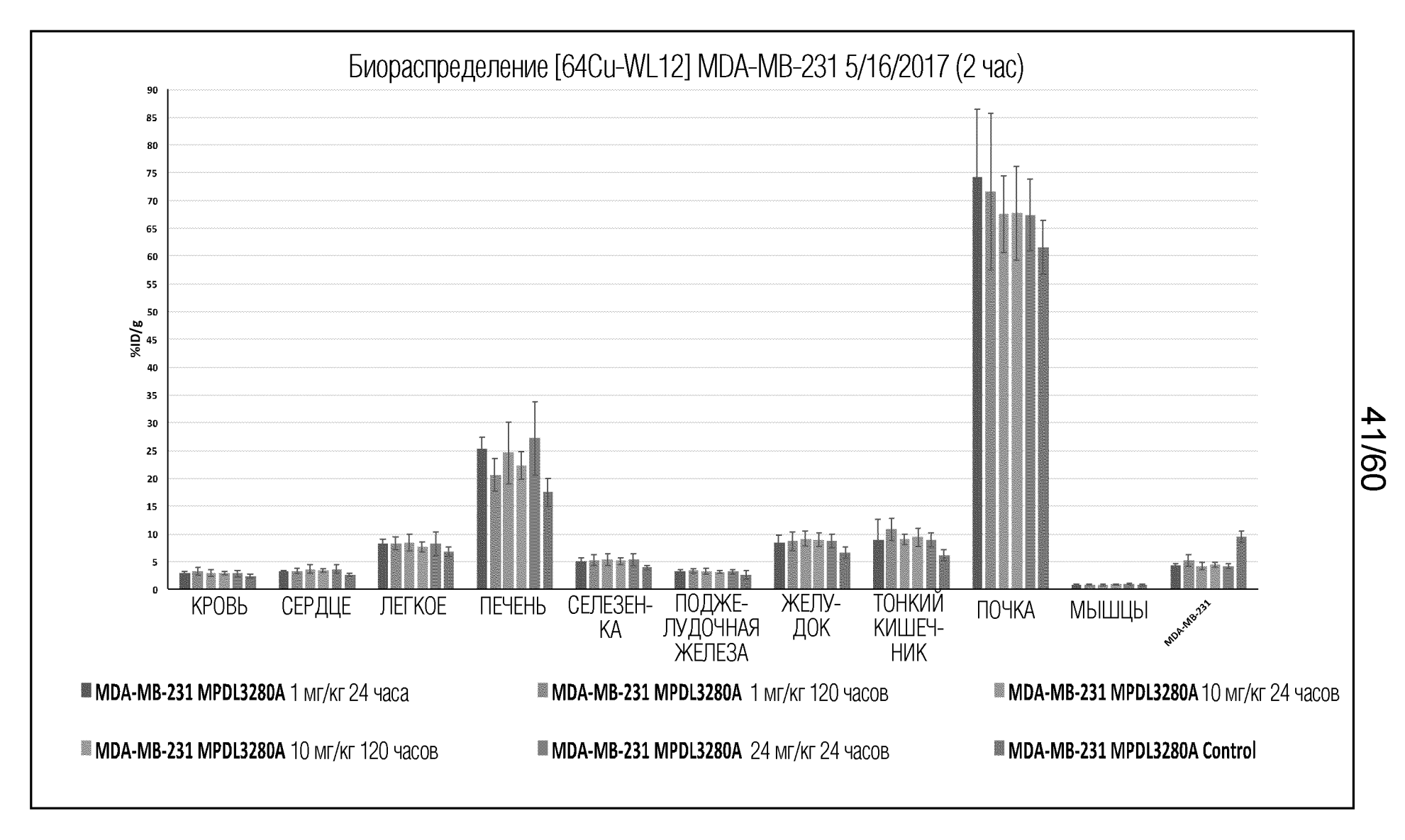


ФИГ. 27



Доза атезолизумаба, мг/кг

ФИГ. 28



ФИГ. 29

$$42/60$$

$$H_{2}N$$

$$H_{N}$$

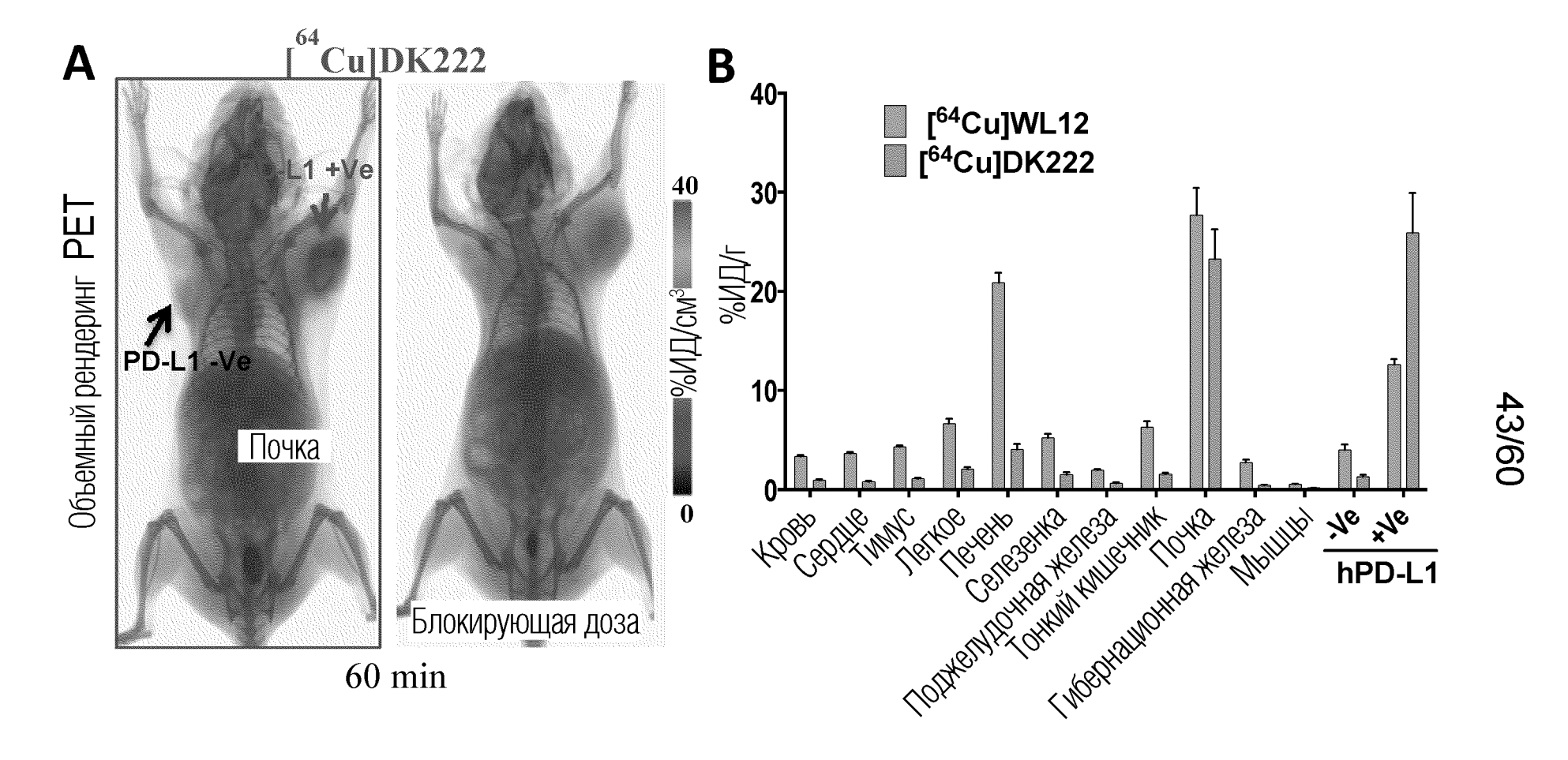
$$H_{$$

DK-A-221 Химическая формула: $C_{92}H_{126}N_{22}O_{24}S$ Молекулярная масса: 1956,21

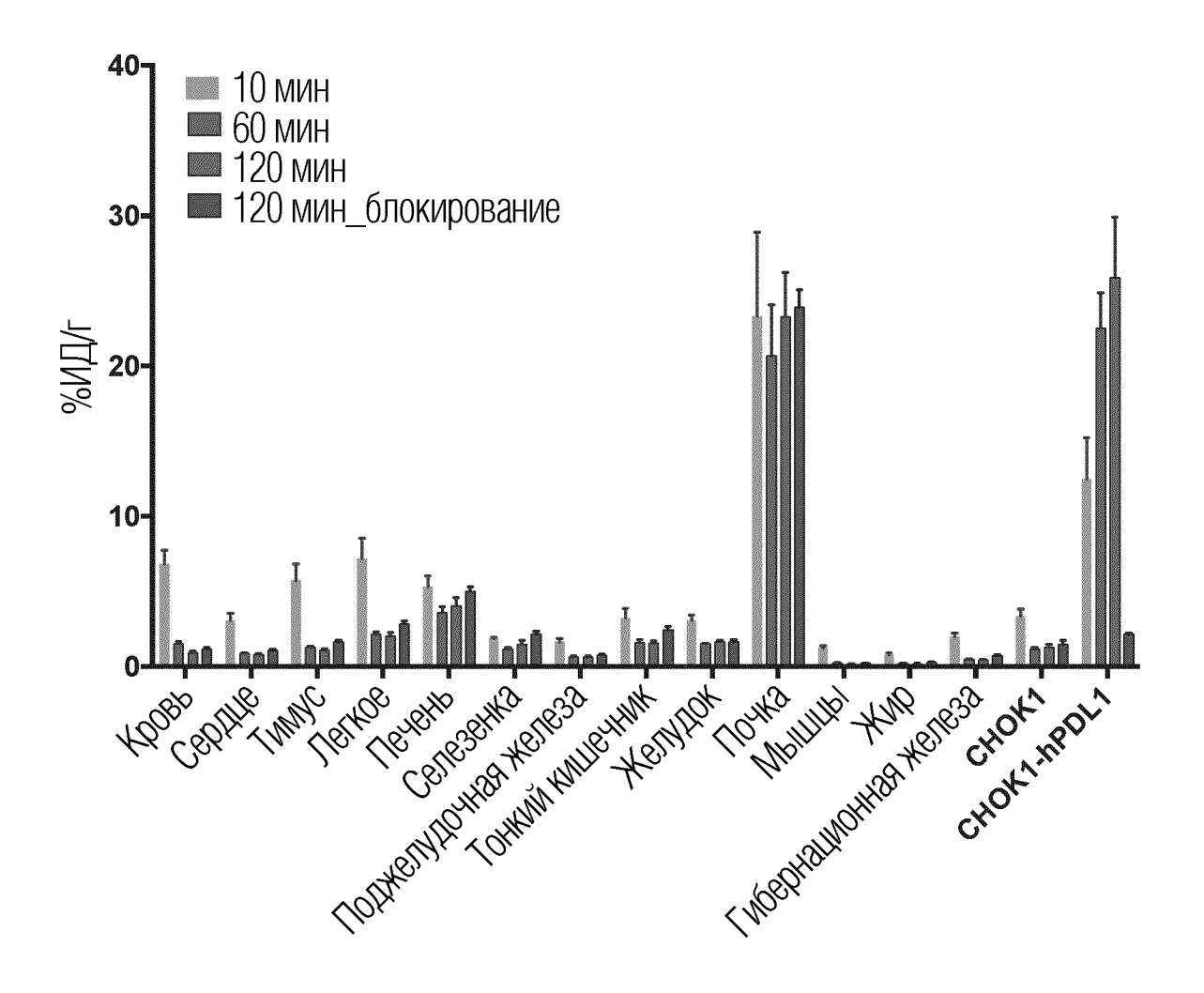
DK-A-222

Химическая формула: $C_{107}H_{149}N_{25}O_{31}S$ Молекулярная масса: 2313,57

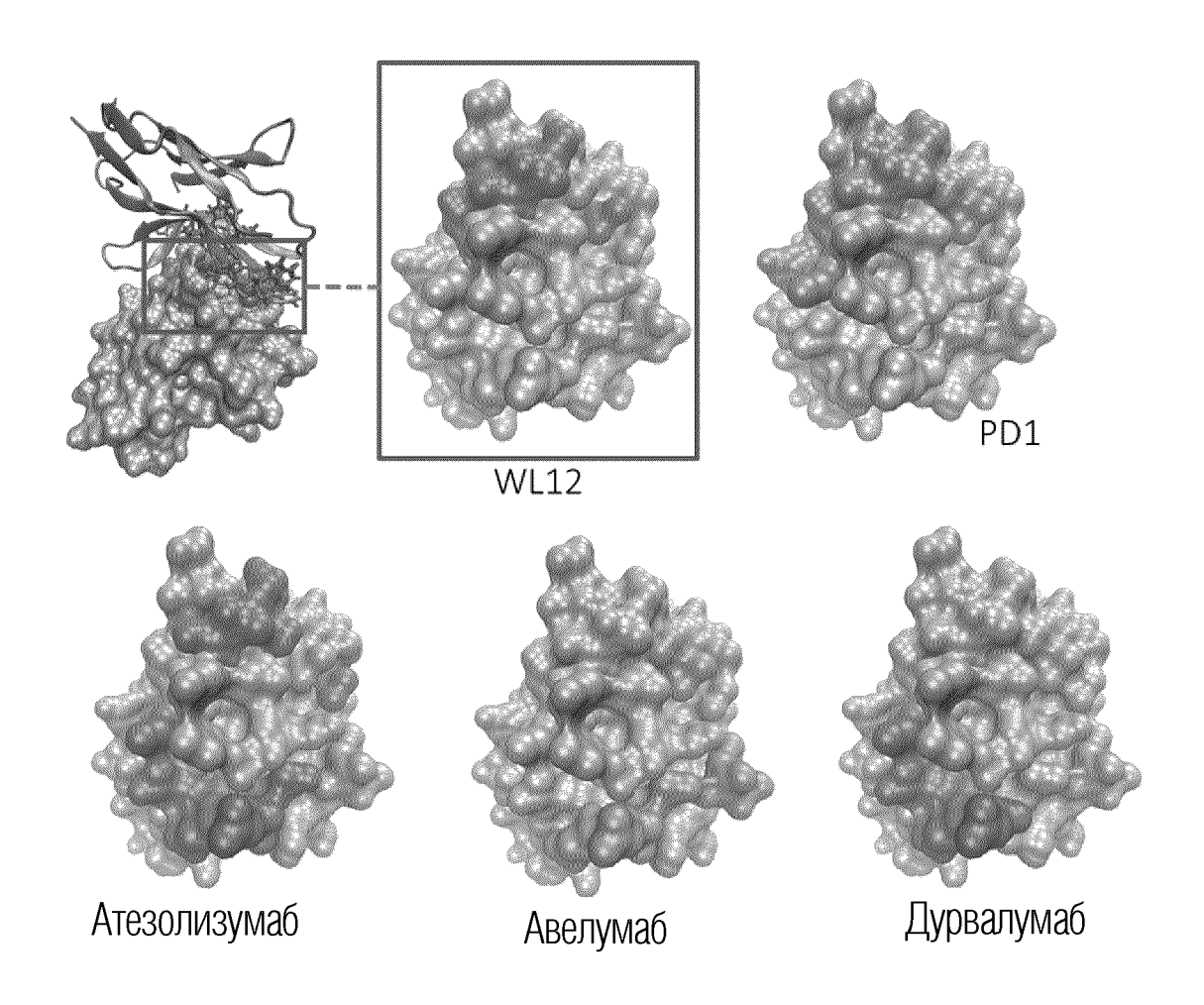
ФИГ. 30



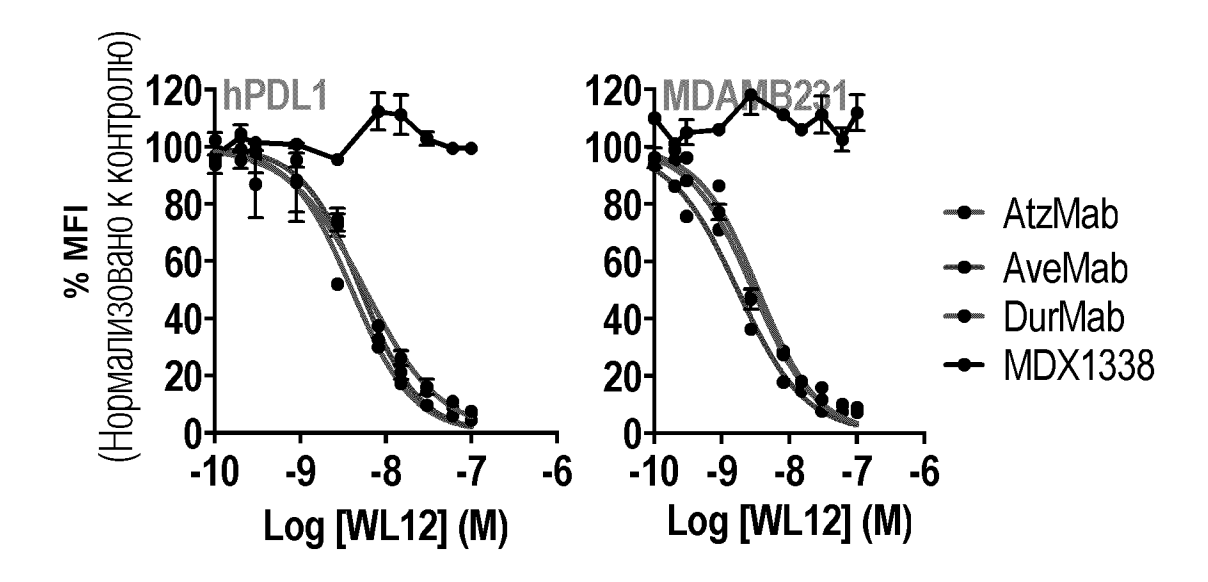
ФИГ. 31



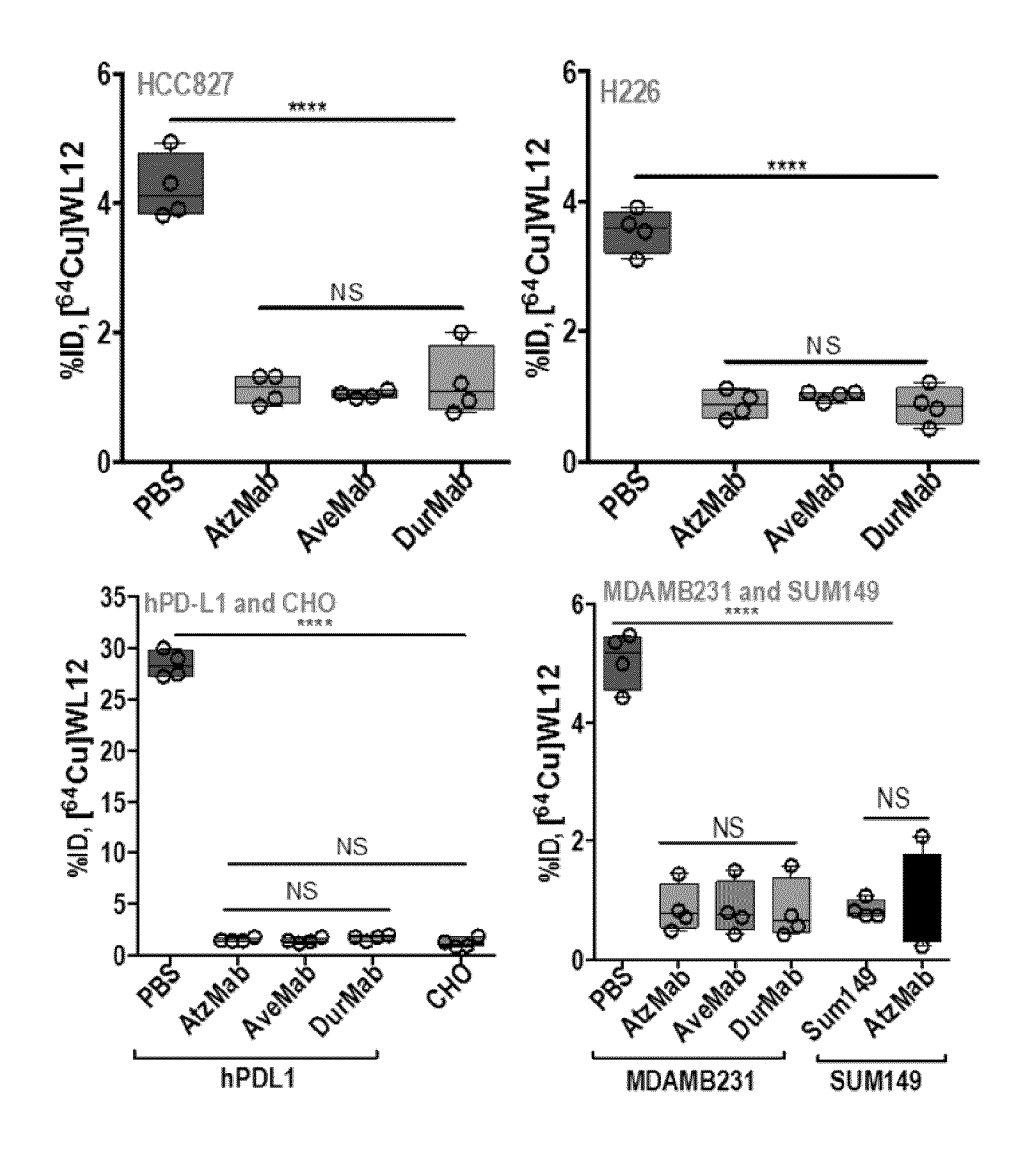
ФИГ. 32



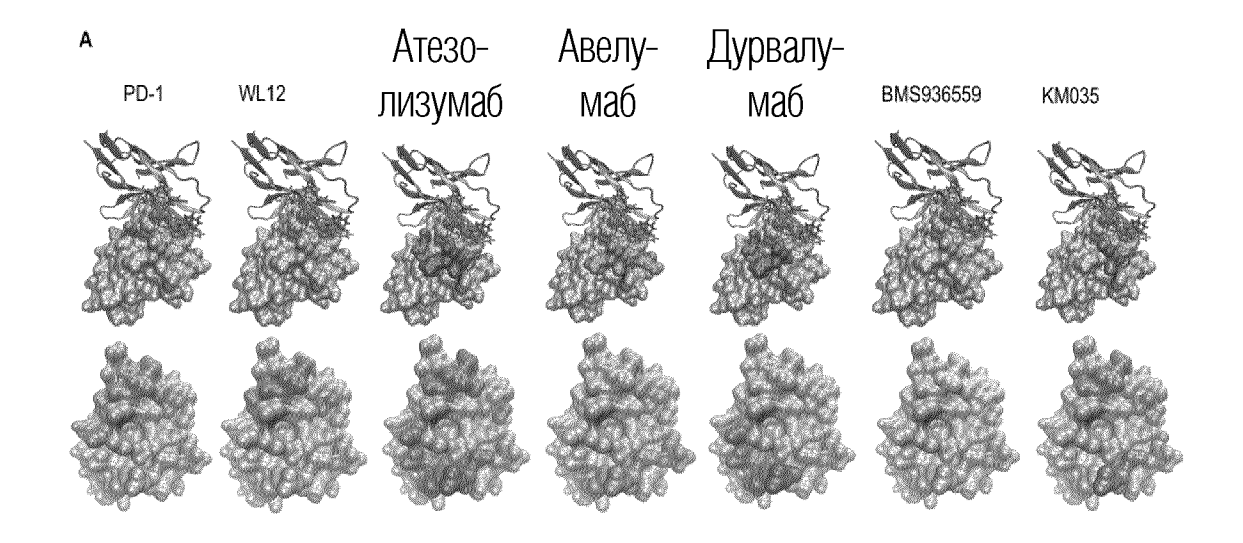
ФИГ. 33А



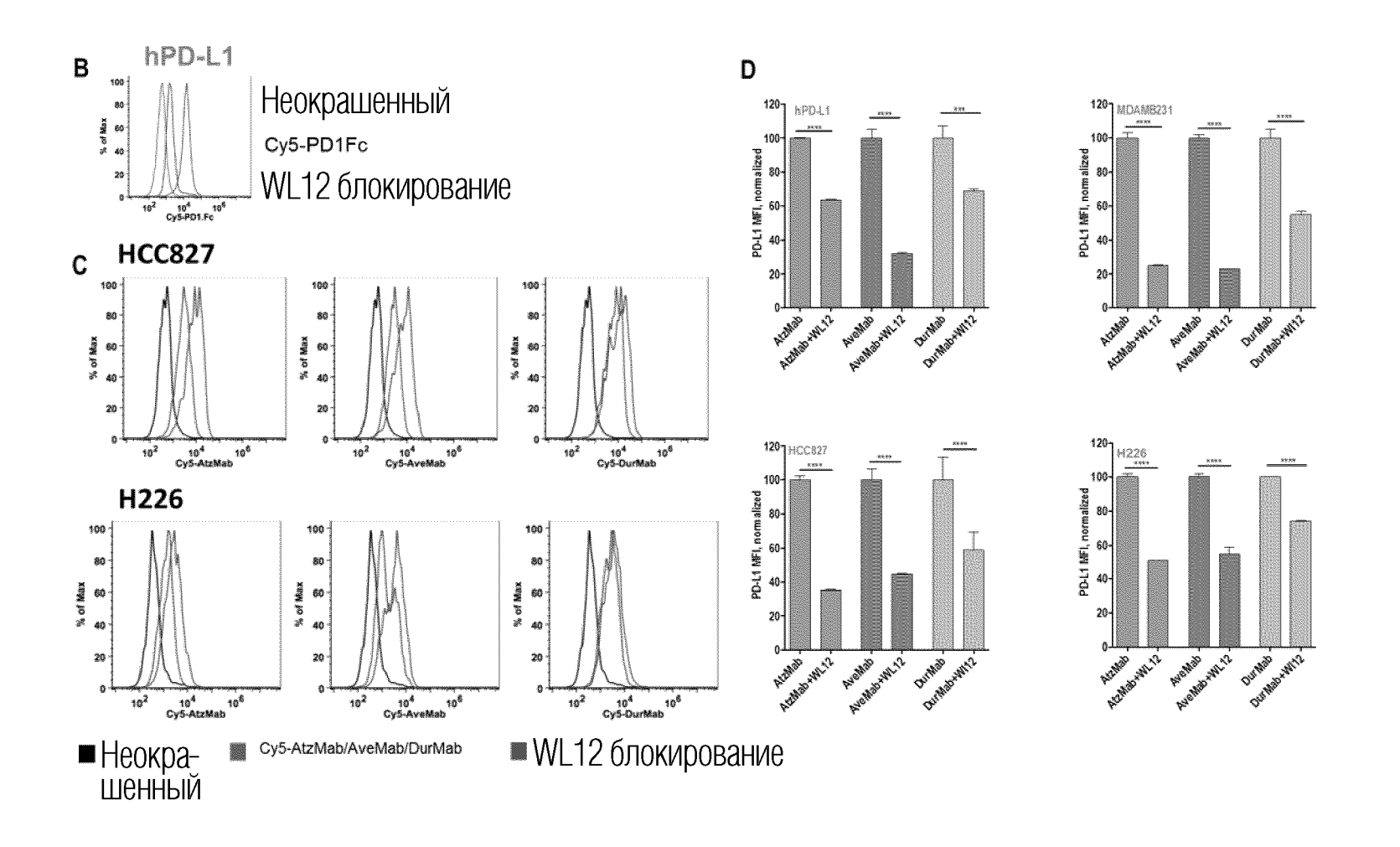
ФИГ. 33В



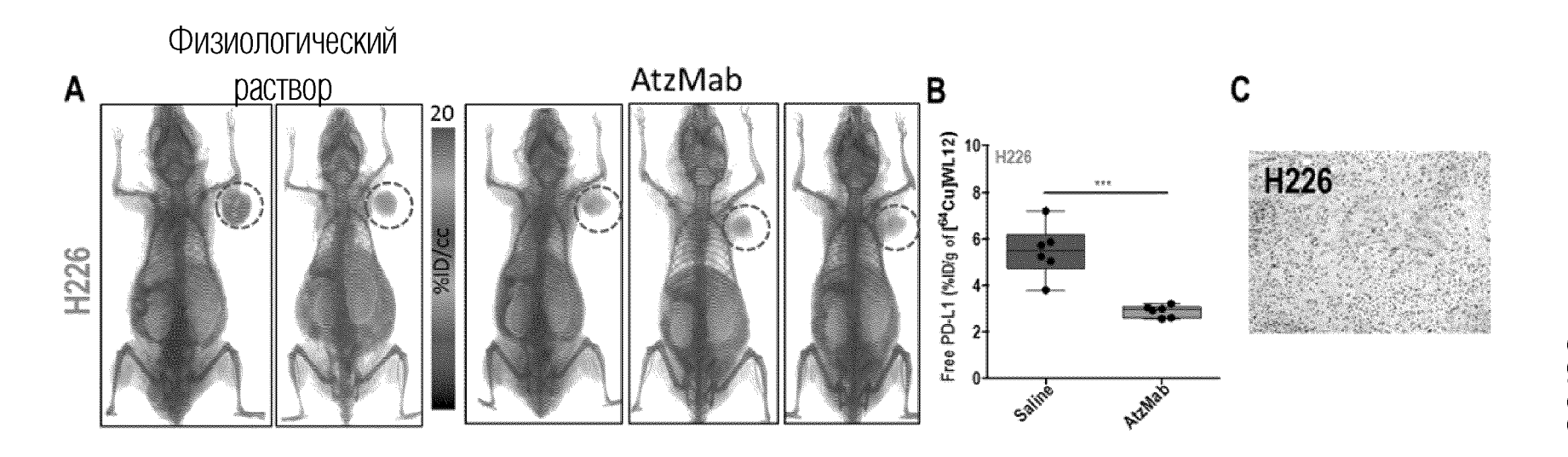
ФИГ. 33С



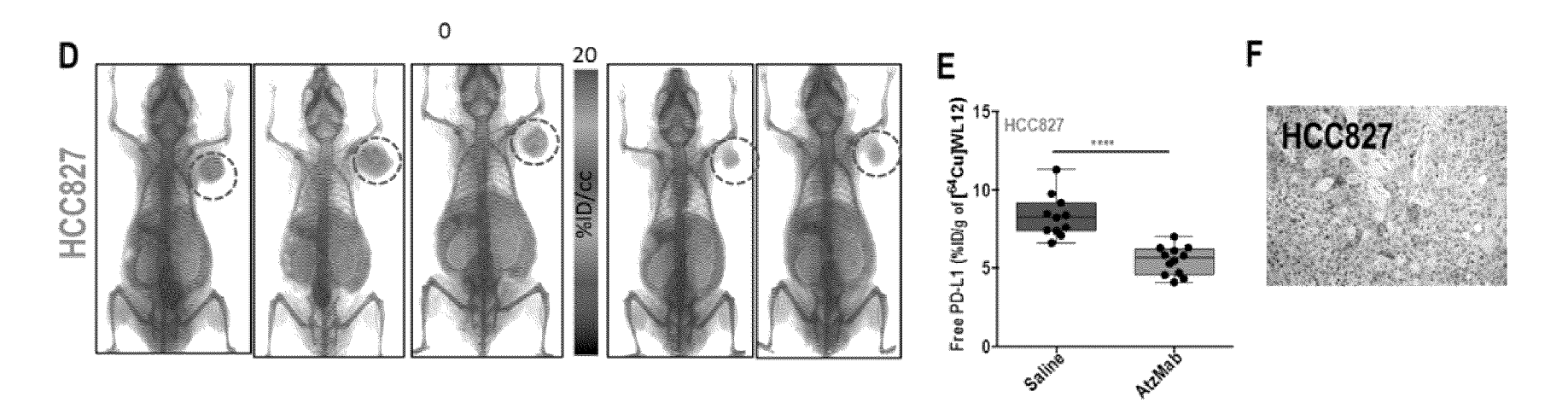
ФИГ. 34А



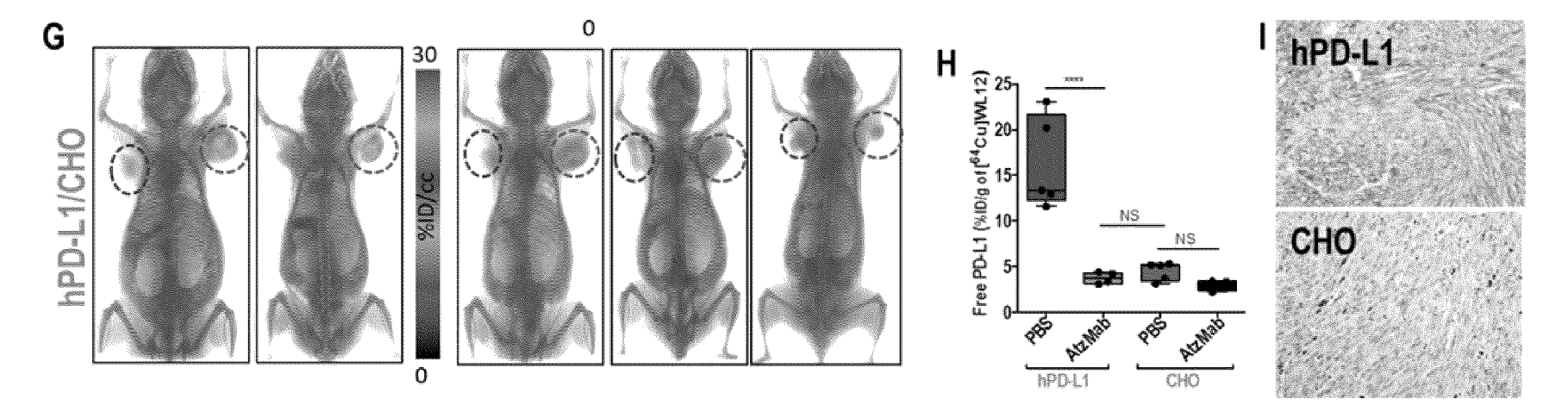
ФИГ. 34В, 34С и 34D



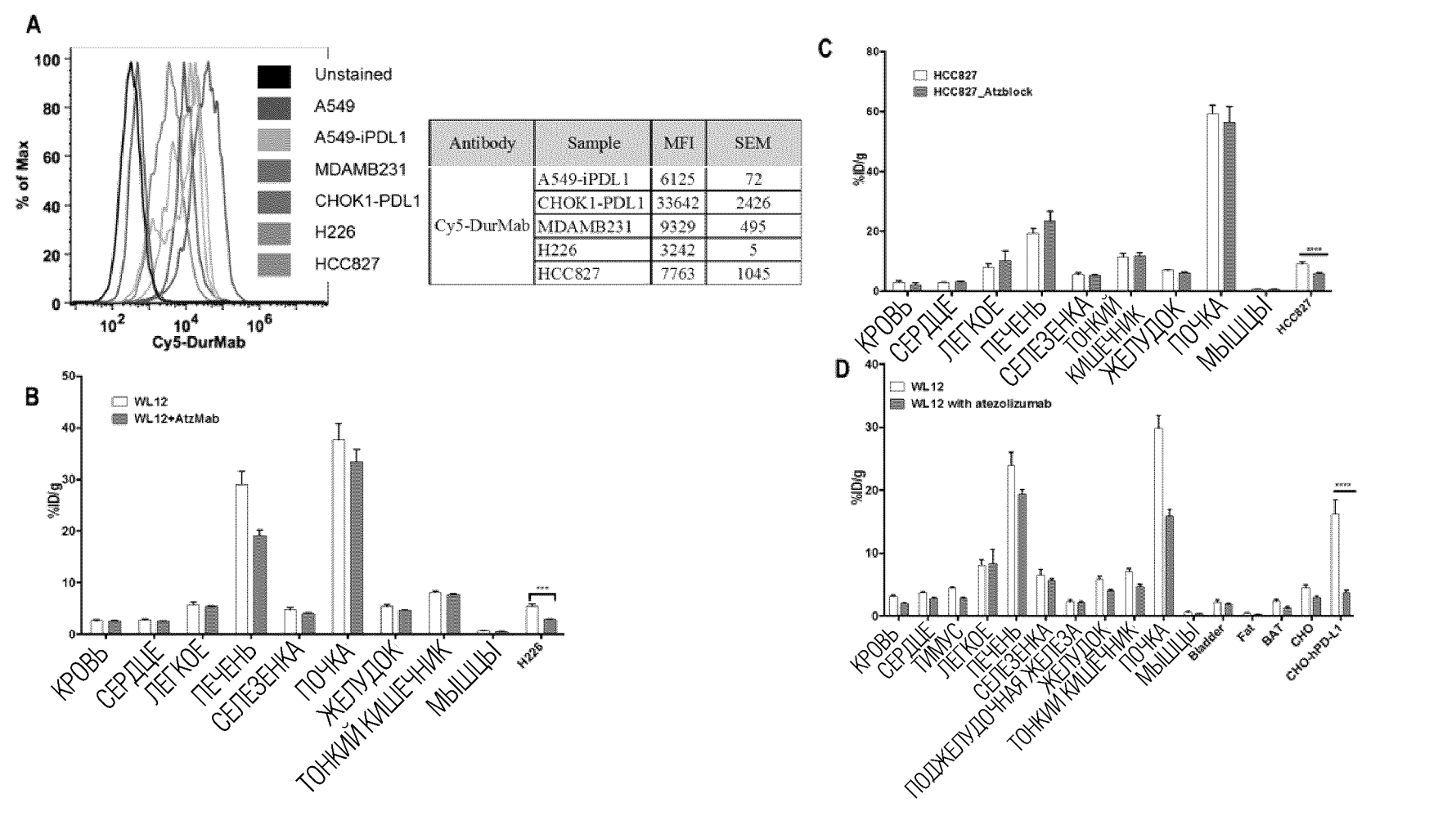
ФИГ. 35А, 35В и 35С



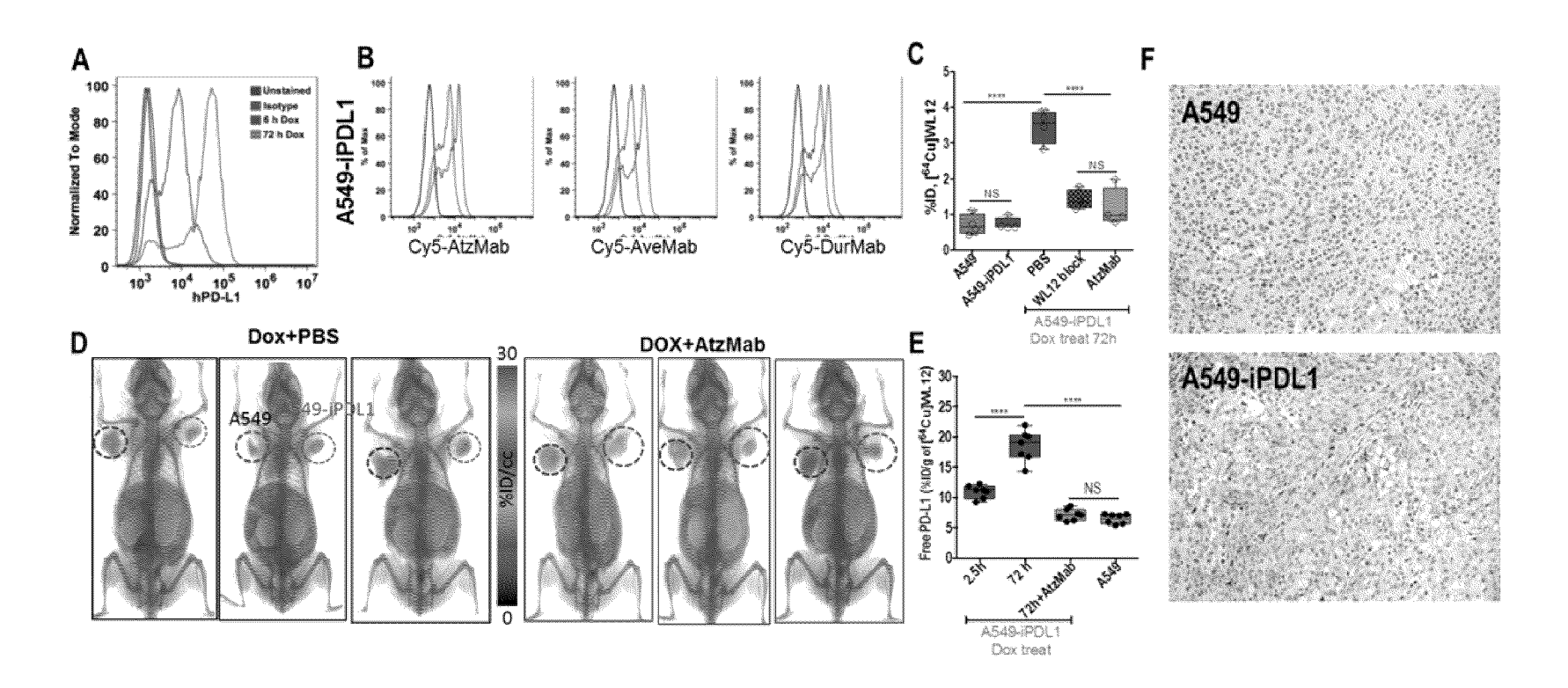
ФИГ. 35D, 35E и 35F



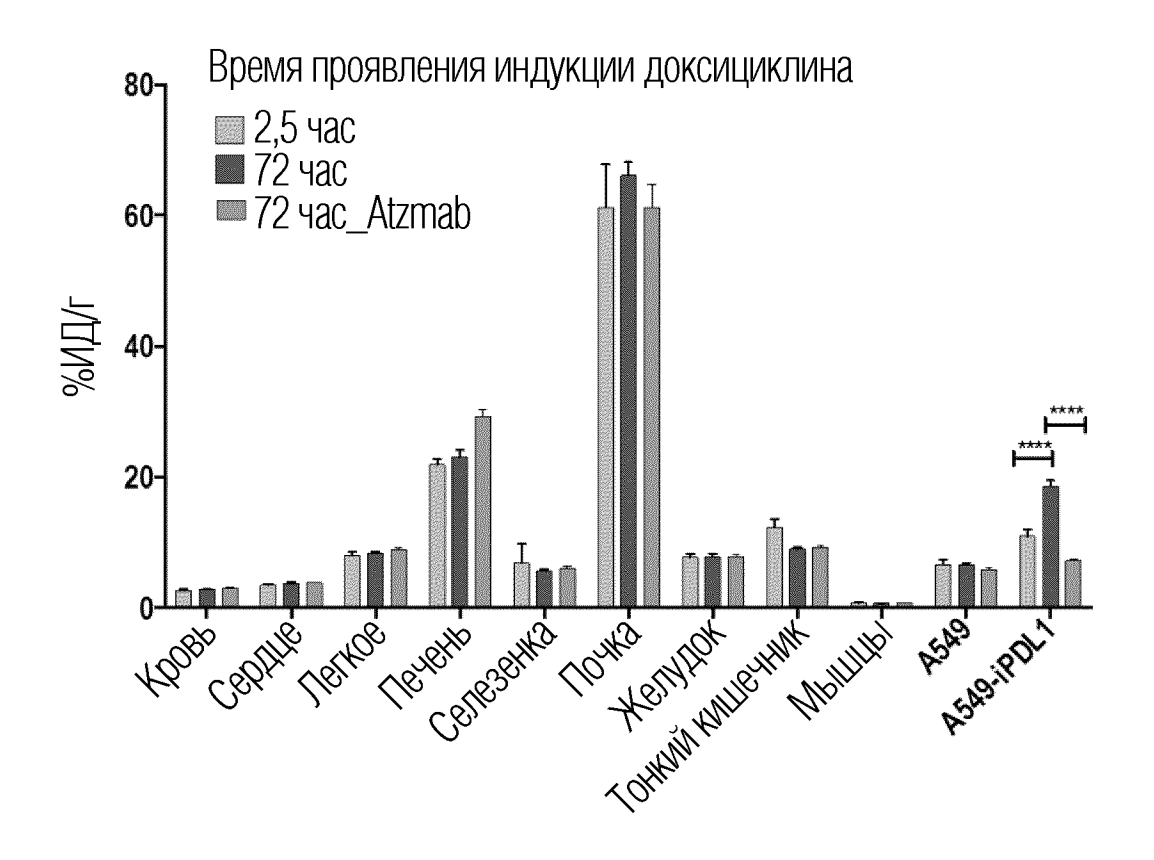
ФИГ. 35G, 35H и 35I



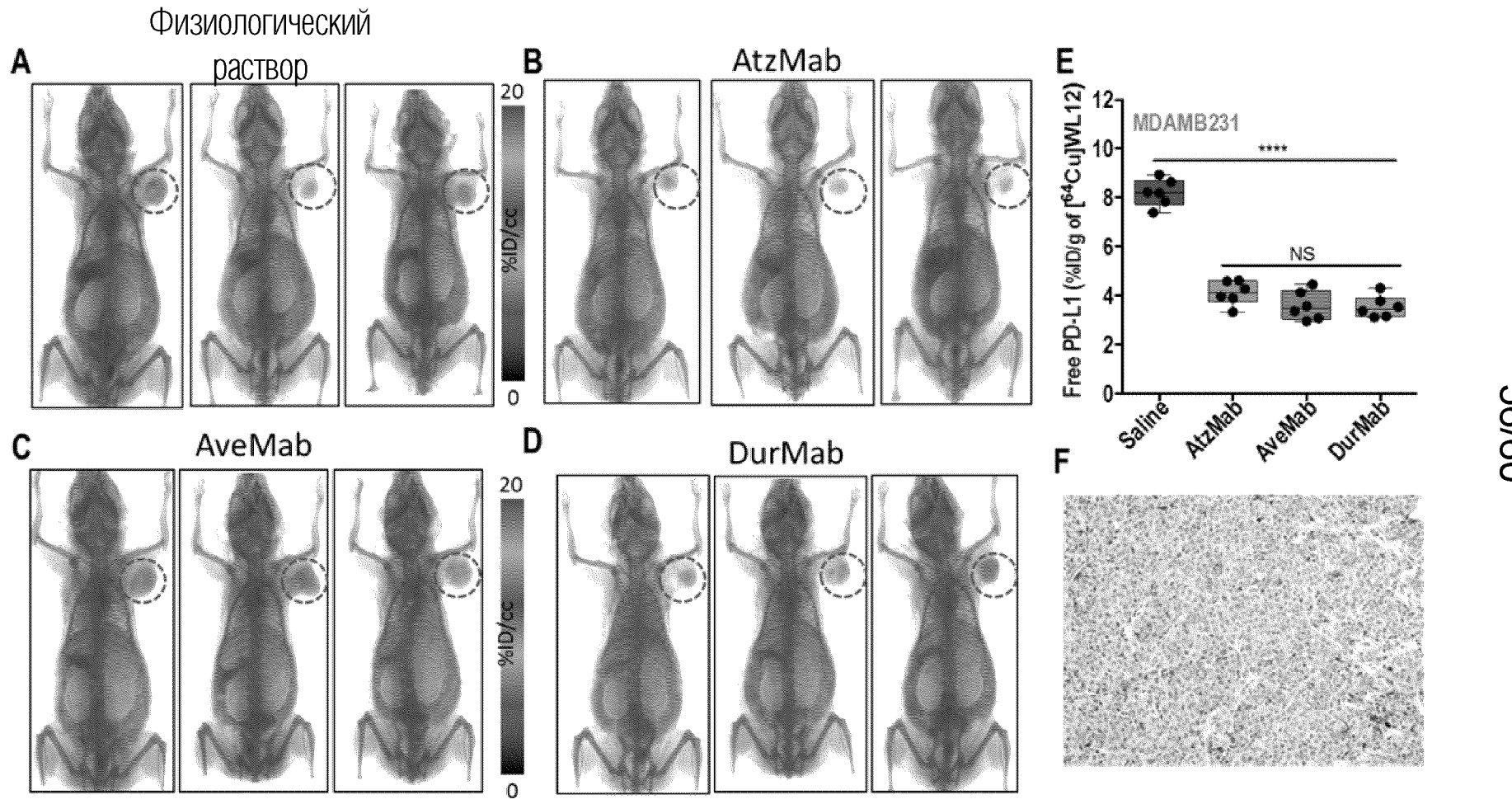
ФИГ. 36



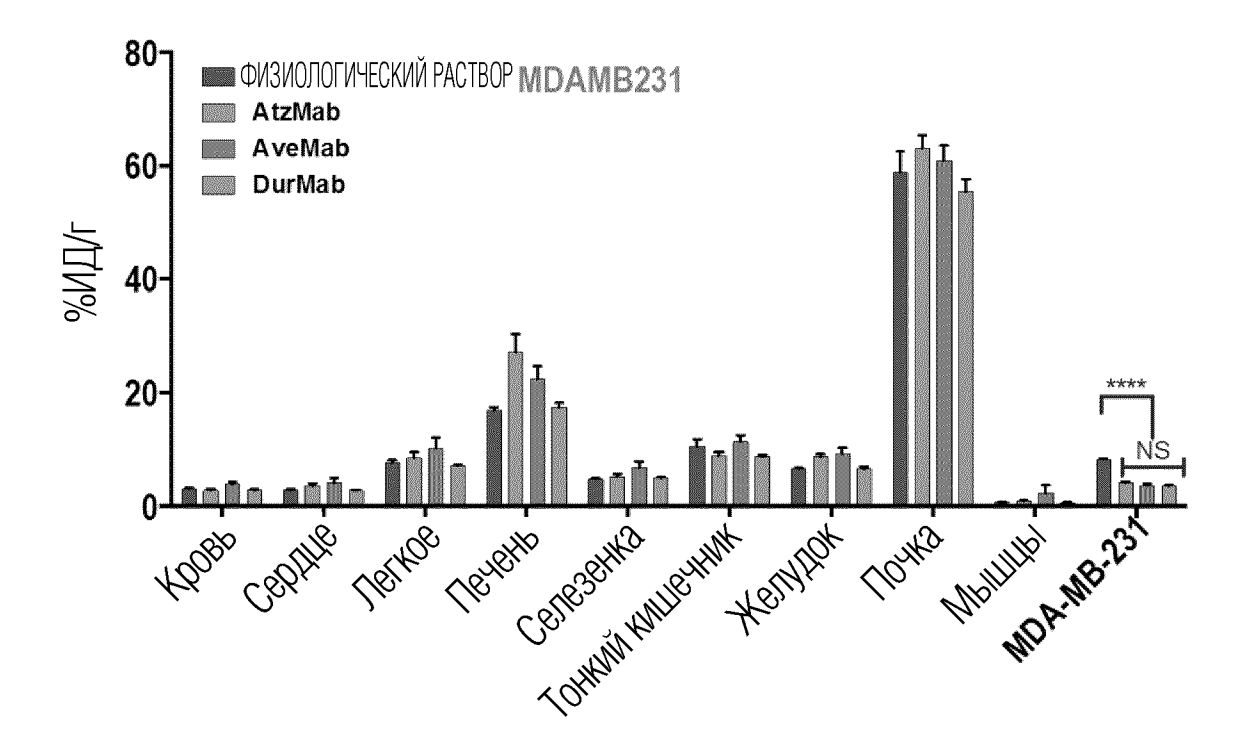
ФИГ. 37



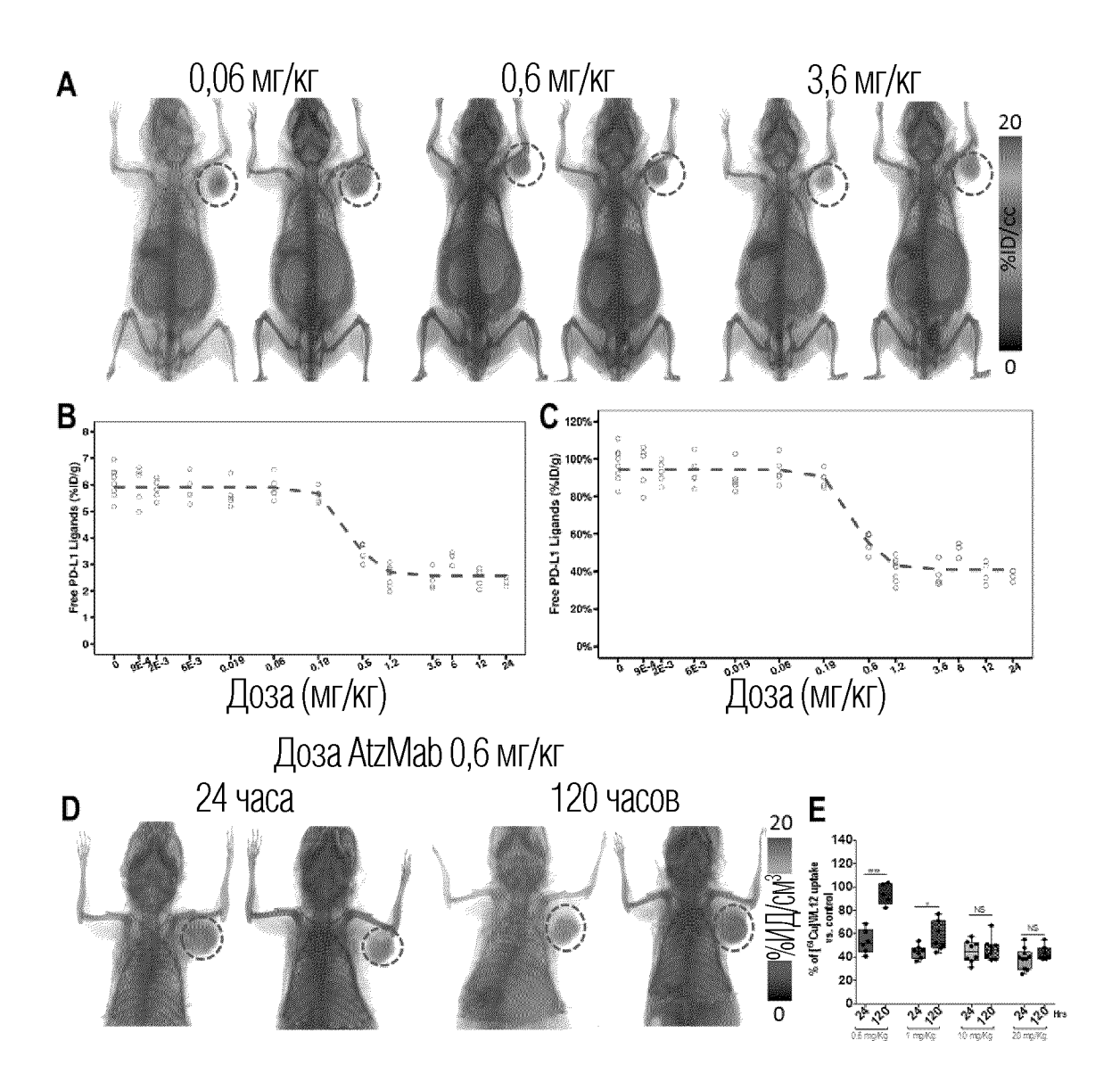
ФИГ. 38



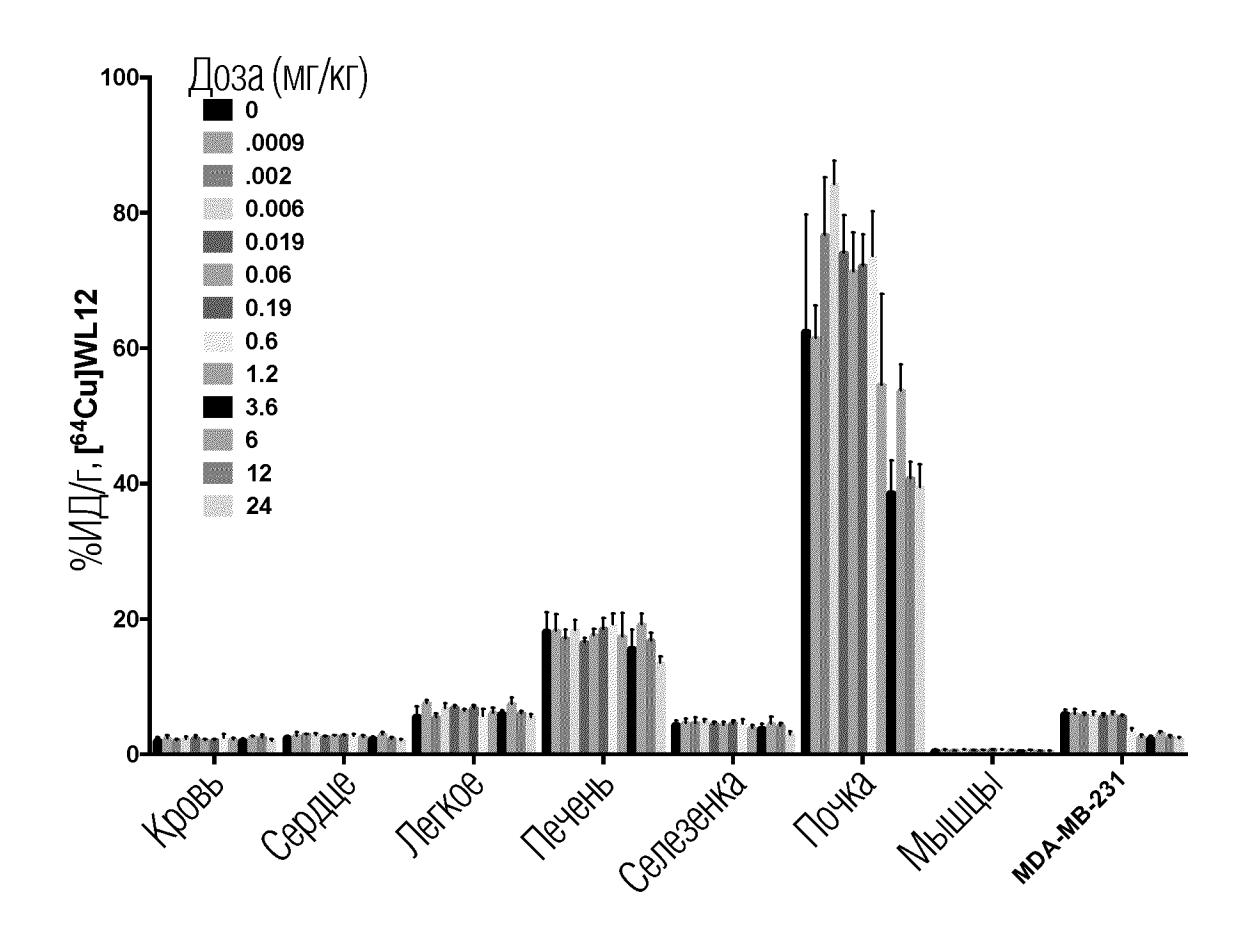
ФИГ. 39



ФИГ. 40



ФИГ. 41



ФИГ. 42

DK-A-221=Цикло-(-Ac-Tyr-NMeAla-Asn-Pro-His-Glu-Hyp-Trp-Ser-Trp(карбоксиметил)-NMeNle-NMeNle-Lys-Cys-)-Gly-NH2

ФИГ. 43